

# UCBL – L1 PCSI – UE Math 2

## Fonctions de plusieurs variables et champs de vecteurs

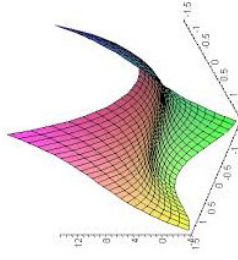
Alessandra Frabetti

Institut Camille Jordan,  
Département de Mathématiques  
Université Claude Bernard Lyon 1

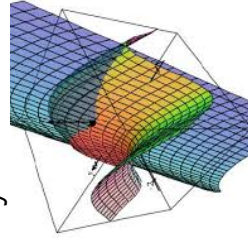
<http://math.univ-lyon1.fr/~frabetti/Math2/>

### But du cours:

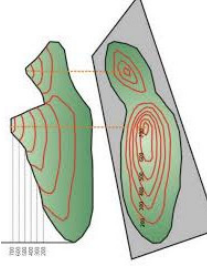
Graphe de fonction



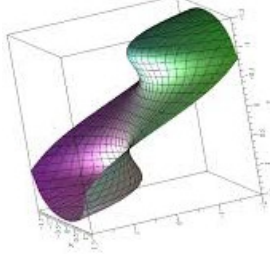
Taylor



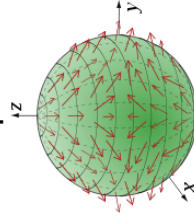
Lignes de niveau



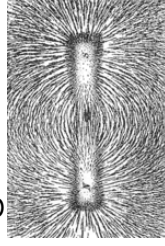
Extrema



Champs de vecteurs



Lignes de champ



# Programme et plan des cours

## Partie I : Fonctions de plusieurs variables

- CM 1 – Coordonnées, ensembles compacts
- CM 2 – Fonctions, graphes, opérations
- CM 3 – Dérivées partielles, gradient, différentielle
- CM 4 – Jacobienne, règle de la chaîne
- CM 5 – Dérivées secondes, Hessienne, Laplacien, Taylor, extrema
- CM 6 – Intégrales simples et doubles
- CM 7 – Intégrales triples. Aire, volume, centre de masse

## Partie II : Champs de vecteurs

- CM 8 – Champs scalaires et champs de vecteurs
- CM 9 – Champs conservatifs
- CM 10 – Champs incompressibles
- CM 11 – Courbes et circulation
- CM 12 – Surfaces et flux

## Prérequis

1. **Espaces vectoriels et vecteurs de  $\mathbb{R}^2$  et  $\mathbb{R}^3$**   
(produits scalaire, vectoriel et mixte).
2. **Applications linéaires et matrices**  
(produit, déterminant, matrice inverse).
3. **Géométrie cartésienne du plan et de l'espace**  
(droites, coniques, plans, quadriques).
4. **Dérivées et intégrales des fonctions d'une variable**  
(graphes, dérivées, points critiques, extrema, Taylor, primitives).
5. **Équations différentielles du 1er ordre.**

# Chapitre 1

## Fonctions de plusieurs variables

Dans ce chapitre:

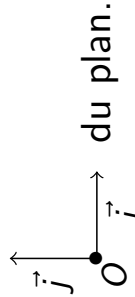
- 1.1 – Coordonnées cartésiennes, polaires, cylindriques et sphériques
- 1.2 – Ensembles ouverts, fermés, bornés et compacts
- 1.3 – Fonctions de deux ou trois variables
- 1.4 – Graphes et lignes de niveau
- 1.5 – Opérations, composition et changements de coordonnées

### 1.1 – Coordonnées polaires, cylindriques, sphériques

Dans cette section:

- Coordonnées cartésiennes et polaires du plan
- Coordonnées cartésiennes, cylindriques et sphériques de l'espace

# Coordonnées cartésiennes du plan

On note  $(O, \vec{i}, \vec{j})$  un repère  du plan.

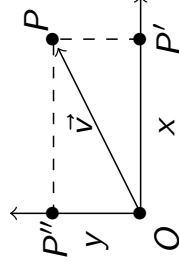
**Définition** – Soit  $P$  un point du plan.

- Le **coordonnées cartésiennes** de  $P$  sont le couple  $(x, y) \in \mathbb{R}^2$  tel que  $\vec{v} = \overrightarrow{OP} = x\vec{i} + y\vec{j} \equiv \begin{pmatrix} x \\ y \end{pmatrix}$ .

Autrement dit,

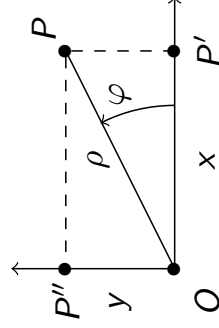
$$x = \|\overrightarrow{OP'}\| \quad \text{et} \quad y = \|\overrightarrow{OP''}\|$$

sont les longueurs des projections orthogonales de  $\vec{v}$  dans les directions  $\vec{i}$  et  $\vec{j}$ .



# Coordonnées polaires

- Les **coordonnées polaires** de  $P \neq O$  sont le couple  $(\rho, \varphi) \in \mathbb{R}^+ \times [0, 2\pi[$  tel que  $\begin{cases} x = \rho \cos \varphi \\ y = \rho \sin \varphi \end{cases}$



On a donc

$$\begin{cases} \rho = \|\overrightarrow{OP}\| = \sqrt{x^2 + y^2} \\ \varphi \text{ t.q. } \tan \varphi = \frac{y}{x} \text{ si } x \neq 0 \text{ ou } \cot \varphi = \frac{x}{y} \text{ si } y \neq 0 \\ \quad \quad \quad (\text{par ex. } \varphi = \arctan \frac{y}{x} \text{ si } x, y > 0) \end{cases}$$

## Exercice: coord. polaires $\longrightarrow$ cartésiennes

**Énoncé** – Pour les points suivants du plan, dont on connaît les coordonnées polaires, trouver les coordonnées cartésiennes :

$$A \begin{cases} \rho = 3 \\ \varphi = 5\pi/4 \end{cases} \quad B \begin{cases} \rho = \sqrt{2} \\ \varphi = 3\pi/4 \end{cases} \quad C \begin{cases} \rho = 0 \\ \varphi = 3\pi/2 \end{cases}$$

**Réponse** – On dessine chaque point sur un plan, ensuite on calcule les coordonnées cartésiennes avec les formules:

$$\bullet A \begin{cases} x = 3 \cos(5\pi/4) = -\frac{3\sqrt{2}}{2} \\ y = 3 \sin(5\pi/4) = -\frac{3\sqrt{2}}{2} \end{cases} \quad A \left( -\frac{3\sqrt{2}}{2}, -\frac{3\sqrt{2}}{2} \right)$$

$$\bullet B \begin{cases} x = \sqrt{2} \cos(3\pi/4) = \frac{-\sqrt{2}^2}{2} \\ y = \sqrt{2} \sin(3\pi/4) = \frac{\sqrt{2}^2}{2} \end{cases} \quad B(-1, 1)$$

$$\bullet C \begin{cases} x = 0 \cos(3\pi/2) = 0 \\ y = 0 \sin(3\pi/2) = 0 \end{cases} \quad C(0, 0)$$

## Exercice: coord. cartésiennes $\longrightarrow$ polaires

**Énoncé** – Pour les points suivants du plan en coordonnées cartésiennes, trouver les coordonnées polaires :

$$A(2, 3) \quad B(2, 0) \quad C(0, 3)$$

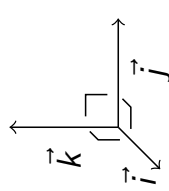
**Réponse** – On dessine chaque point sur un plan, ensuite on calcule les coordonnées cartésiennes avec les formules:

$$\bullet A \begin{cases} \rho = \sqrt{4+9} = \sqrt{13} \\ \cos \varphi = 2/\sqrt{13} \\ \sin \varphi = 3/\sqrt{13} \end{cases} \quad \begin{cases} \rho = \sqrt{13} \\ \varphi = \arctan\left(\frac{3}{2}\right) \end{cases}$$

$$\bullet B \begin{cases} \rho = \sqrt{4+0} = 2 \\ \cos \varphi = 2/2 = 1 \\ \sin \varphi = 0/2 = 0 \end{cases} \quad \begin{cases} \rho = 2 \\ \varphi = \arctan 0 = 0 \end{cases}$$

$$\bullet C \begin{cases} \rho = \sqrt{0+9} = 3 \\ \cos \varphi = \frac{0}{3} = 0 \\ \sin \varphi = \frac{3}{3} = 1 \end{cases} \quad \begin{cases} \rho = 3 \\ \varphi = \pi/2 \end{cases}$$

# Coordonnées cartésiennes de l'espace

On note  $(O, \vec{i}, \vec{j}, \vec{k})$  un repère  de l'espace.

**Définition** – Soit  $P$  un point de l'espace.

- Les **coordonnées cartésiennes** de  $P$  sont le triplet  $(x, y, z) \in \mathbb{R}^3$

$$\text{tel que } \vec{v} = \overrightarrow{OP} = x\vec{i} + y\vec{j} + z\vec{k} \equiv \begin{pmatrix} x \\ y \\ z \end{pmatrix}.$$

Autrement dit,

$$x = \|\overrightarrow{OP'}\|, \quad y = \|\overrightarrow{OP''}\| \quad \text{et} \quad z = \|\overrightarrow{OP'''}\|$$

sont les longueurs des projections orthogonales de  $\vec{v}$  dans les directions  $\vec{i}, \vec{j}$  et  $\vec{k}$ .

# Coordonnées cylindriques

- Les **coordonnées cylindriques** de  $P \neq O$  sont le triplet  $(\rho, \varphi, z) \in \mathbb{R}^+ \times [0, 2\pi[ \times \mathbb{R}$  tel que

$$\begin{cases} x = \rho \cos \varphi \\ y = \rho \sin \varphi \\ z = z \end{cases}$$

Si  $(x, y, z) \neq (0, 0, 0)$  on a donc

$$\begin{cases} \rho = \|\overrightarrow{OQ}\| = \sqrt{x^2 + y^2} \\ \varphi \text{ tel que } \begin{cases} \cos \varphi = \frac{x}{\rho} \\ \sin \varphi = \frac{y}{\rho} \end{cases} \\ z = z \end{cases}$$

## Coordonnées sphériques

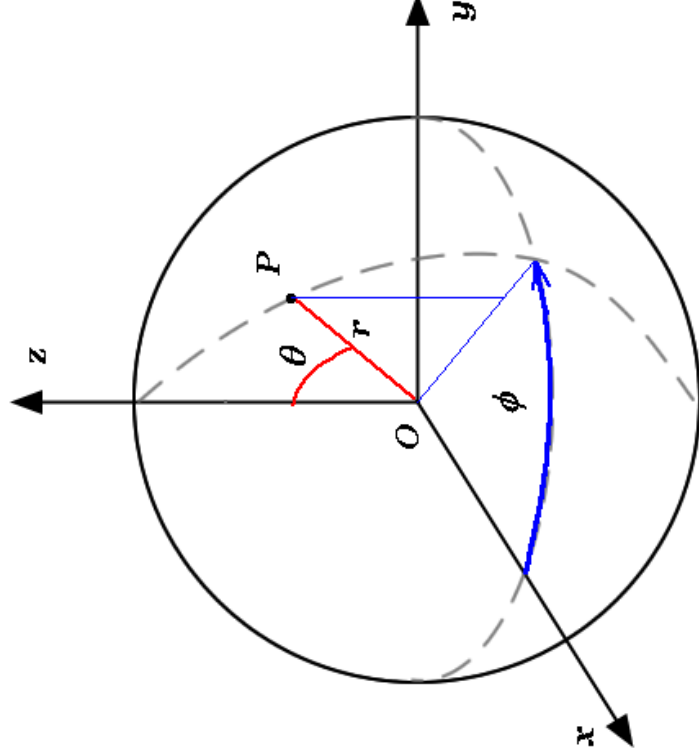
- Les **coordonnées sphériques** de  $P \neq O$  sont le triplet  $(r, \varphi, \theta) \in \mathbb{R}^+ \times [0, 2\pi[ \times ]0, \pi[$  tel que

$$\begin{cases} x = r \cos \varphi \sin \theta \\ y = r \sin \varphi \sin \theta \\ z = r \cos \theta \end{cases}$$

Si  $(x, y, z) \neq (0, 0, 0)$  on a donc

$$\begin{cases} r = \|\vec{OP}\| = \sqrt{x^2 + y^2 + z^2} \\ \varphi \text{ tel que } \begin{cases} \cos \varphi = \frac{x}{\sqrt{x^2 + y^2}} \\ \sin \varphi = \frac{y}{\sqrt{x^2 + y^2}} \end{cases} \\ \theta = \arccos \frac{z}{\sqrt{x^2 + y^2 + z^2}} \end{cases}$$

## Coordonnées de l'espace



## Exercice: coord. cylindriques $\longrightarrow$ cartésiennes

**Énoncé** – Pour les points suivants, dont on connaît les coordonnées cylindriques, trouver les coordonnées cartésiennes :

$$A \begin{cases} \rho = 3 \\ \varphi = \pi/3 \\ z = 2 \end{cases} \quad B \begin{cases} \rho = \sqrt{2} \\ \varphi = \pi/4 \\ z = -3 \end{cases}$$

**Réponse** – On dessine chaque point sur un plan, ensuite on calcule les coordonnées cartésiennes avec les formules:

$$\bullet A \begin{cases} x = 3 \cos(\pi/3) = \frac{3}{2} \\ y = 3 \sin(\pi/3) = \frac{3\sqrt{3}}{2} \\ z = 2 \end{cases} \quad A \left( \frac{3}{2}, \frac{3\sqrt{3}}{2}, 2 \right)$$

$$\bullet B \begin{cases} x = \sqrt{2} \cos(\pi/4) = \frac{\sqrt{2}}{2} = 1 \\ y = \sqrt{2} \sin(\pi/4) = \frac{\sqrt{2}}{2} = 1 \\ z = -3 \end{cases} \quad B(1, 1, -3)$$

## Exercice: coord. sphériques $\longrightarrow$ cartésiennes

**Énoncé** – Pour les points suivants, dont on connaît les coordonnées sphériques, trouver les coordonnées cartésiennes :

$$C \begin{cases} r = \sqrt{2} \\ \varphi = \pi/2 \\ \theta = 3\pi/4 \end{cases} \quad D \begin{cases} r = 1 \\ \varphi = \pi/3 \\ \theta = \pi/6 \end{cases}$$

**Réponse** – On dessine chaque point sur un plan, ensuite on applique les formules:

$$\bullet C \begin{cases} x = \sqrt{2} \cos(\pi/2) \sin(3\pi/4) = 0 \\ y = \sqrt{2} \sin(\pi/2) \sin(3\pi/4) = 1 \\ z = \sqrt{2} \cos(3\pi/4) = -1 \end{cases} \quad C(0, 1, -1)$$

$$\bullet D \begin{cases} x = \cos(\pi/3) \sin(\pi/6) = \frac{1}{4} \\ y = \sin(\pi/3) \sin(\pi/6) = \frac{\sqrt{3}}{4} \\ z = \cos(\pi/6) = \frac{\sqrt{3}}{2} \end{cases} \quad D\left(\frac{1}{4}, \frac{\sqrt{3}}{4}, \frac{\sqrt{3}}{2}\right)$$

## Exo: cartésiennes → cylindriques et sphériques

**Énoncé** – Pour les points suivants en coordonnées cartésiennes, trouver les coordonnées cylindriques et sphériques:

$$A = (-1, 1, 1) \quad B(3, 0, 0) \quad C(0, 1, 1)$$

**Réponse** –

$$\bullet A \quad \begin{cases} \rho = \sqrt{1+1} = \sqrt{2} \\ \tan \varphi = -1 \\ r = \sqrt{1+1+1} = \sqrt{3} \\ \cos \theta = \frac{1}{\sqrt{3}} = \frac{\sqrt{3}}{3} \end{cases} \quad \begin{cases} \rho = \sqrt{2} \\ \varphi = 3\pi/4 \\ z = 1 \end{cases} \quad \begin{cases} r = \sqrt{3} \\ \varphi = 3\pi/4 \\ \theta = \arccos \frac{\sqrt{3}}{3} \end{cases}$$

$$\bullet B \quad \begin{cases} \rho = \sqrt{9+0} = 3 \\ \tan \varphi = \frac{0}{3} = 0 \\ r = \sqrt{9+0+0} = 3 \\ \cos \theta = \frac{0}{3} = 0 \end{cases} \quad \begin{cases} \rho = 3 \\ \varphi = 0 \\ z = 0 \end{cases} \quad \begin{cases} r = 3 \\ \varphi = 0 \\ \theta = \pi/2 \end{cases}$$

$$\bullet C \quad \begin{cases} \rho = \sqrt{0+1} = 1 \\ \cos \varphi = 0 \\ \sin \varphi = 1 \\ r = \sqrt{0+1+1} = \sqrt{2} \\ \cos \theta = \frac{1}{\sqrt{2}} = \frac{\sqrt{2}}{2} \end{cases} \quad \begin{cases} \rho = 1 \\ \varphi = \pi/2 \\ z = 1 \end{cases} \quad \begin{cases} r = \sqrt{2} \\ \varphi = \pi/2 \\ \theta = \pi/4 \end{cases}$$

## Notations des points

**Conclusion** –

- Un point géométrique du plan ou de l'espace est noté  $P$ .
- Un point en coordonnées dans  $\mathbb{R}^2$  ou  $\mathbb{R}^3$  est noté  $\vec{x}$ .

Cela signifie donc  $(x, y)$ ,  $(\rho, \varphi)$ ,  $(x, y, z)$ ,  $(\rho, \varphi, z)$  ou  $(r, \varphi, \theta)$  selon le contexte.

Dans la suite  $\mathbb{R}^n$  est l'un des trois espaces  $\mathbb{R}$ ,  $\mathbb{R}^2$  ou  $\mathbb{R}^3$ .

## 1.2 – Ensembles ouverts, fermés, bornés, compacts

Dans cette section :

- Intervalles, disques, boules
- Bord d'un ensemble
- Ensembles ouverts et fermés
- Ensembles bornés et compacts

## Intervalles

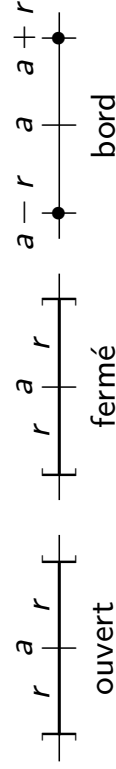
**Définitions –**

- Dans  $\mathbb{R}$ , on appelle

**intervalle ouvert**  $I_a(r) = ]a - r, a + r[$

**intervalle fermé**  $\bar{I}_a(r) = [a - r, a + r]$

**bord de l'intervalle**  $\partial I_a(r) = \{a - r, a + r\}$



## Disques

- Dans  $\mathbb{R}^2$ , on appelle

**disque ouvert**

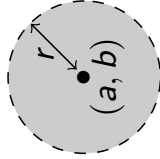
$$D_{(a,b)}(r) = \{(x, y) \mid (x - a)^2 + (y - b)^2 < r^2\}$$

**disque fermé**

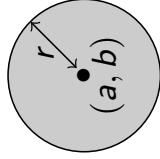
$$\overline{D}_{(a,b)}(r) = \{(x, y) \mid (x - a)^2 + (y - b)^2 \leq r^2\}$$

**bord du disque** (= cercle)

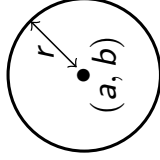
$$\partial D_{(a,b)}(r) = \{(x, y) \mid (x - a)^2 + (y - b)^2 = r^2\}$$



ouvert



fermé



bord

## Boules

- Dans  $\mathbb{R}^3$ , on appelle

**boule ouverte**

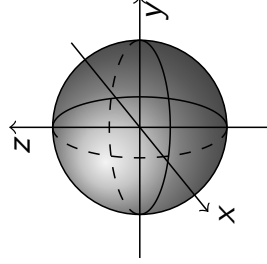
$$B_{(a,b,c)}(r) = \{(x, y, z) \mid (x - a)^2 + (y - b)^2 + (z - c)^2 < r^2\}$$

**boule fermée**

$$\overline{B}_{(a,b,c)}(r) = \{(x, y, z) \mid (x - a)^2 + (y - b)^2 + (z - c)^2 \leq r^2\}$$

**bord de la boule** (= sphère)

$$\partial B_{(a,b,c)}(r) = \{(x, y, z) \mid (x - a)^2 + (y - b)^2 + (z - c)^2 = r^2\}$$

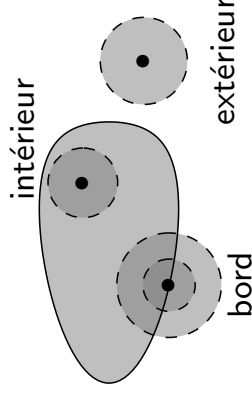


## Bord d'un ensemble

**Définition** – Soit  $D \subset \mathbb{R}^n$  un sous-ensemble.

- Un point  $P$  est un **point intérieur** à  $D$ , s'il existe une boule ouverte  $B_P$  contenue dans  $D$ .
- Un point  $P$  est un **point extérieur** à  $D$  il existe une boule ouverte  $B_P$  qui n'intersecte pas  $D$ .
- Un point  $P \in \mathbb{R}^n$  est un **point du bord** de  $D$  si toute boule ouverte  $B_P$  centrée en  $P$  contient à la fois des points de  $D$  et de son complémentaire  $\mathbb{R}^n \setminus D$ .
- Le **bord** de  $D$  est l'ensemble des points du bord, noté  $\partial D$ .

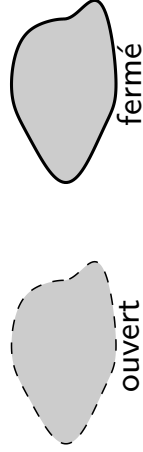
ATTENTION – Un point de  $\partial D$  peut être dans  $D$  ou non!



## Ensembles ouverts et fermés

**Définition** – Soit  $D \subset \mathbb{R}^n$  un sous-ensemble.

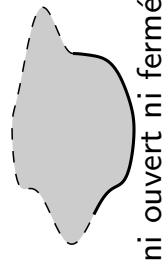
- $D$  est **ouvert** s'il ne contient aucun de ses points de bord.
- $D$  est **fermé** s'il contient tous ses points de bord.



**Propriété** – *Le complémentaire d'un ouvert est fermé, le complémentaire d'un fermé est ouvert.*

- Par convention, l'**ensemble vide**  $\emptyset$  et  $\mathbb{R}^n$  sont à la fois ouverts et fermés dans  $\mathbb{R}^n$ .

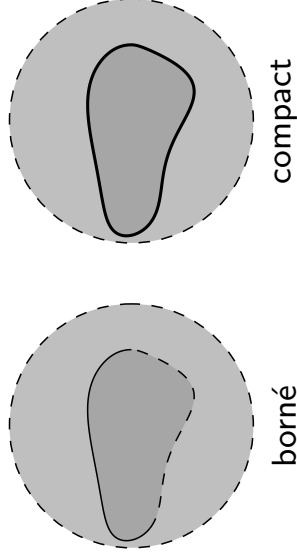
ATTENTION – Il existe des ensembles qui ne sont ni ouverts ni fermés!



# Ensembles bornés et compacts

**Définition** – Soit  $D \subset \mathbb{R}^n$  un sous-ensemble.

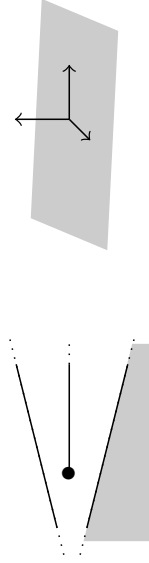
- $D$  est **borné** s'il existe un disque ouvert  $B$  qui le contient.
- $D$  est **compact** s'il est fermé et borné.



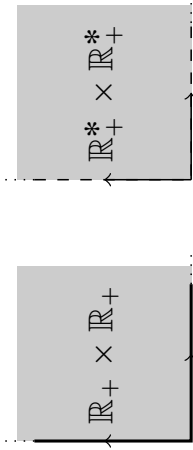
## Exemples: non bornés fermés et ouverts

### Exemples –

- Droites, demi-droites, plans et demi-plans sont non bornés. Les droites et les plans sont fermés. Les demi-droites et les demi-plans sont fermés s'ils contiennent leurs point ou droite extreme.

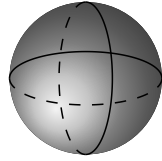


- Les quadrants  $\mathbb{R}_+ \times \mathbb{R}_+$  et  $\mathbb{R}_+^* \times \mathbb{R}_+^*$  sont non bornés. Le premier est aussi fermé. Le deuxième est ouvert dans  $\mathbb{R}^2$  mais ne l'est pas dans  $\mathbb{R}^3$  (car tout le quadrant est son propre bord dans  $\mathbb{R}^3$ ).

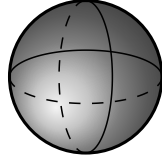


## Exemples: bornés ouverts et fermés

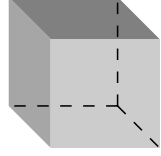
- Disques, boules, carrés et cubes pleins sont bornés. Ils sont fermés (et donc compacts) s'ils contiennent leur bord (cercle, sphère ou carré et cube).



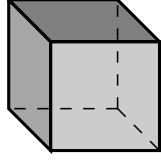
boule ouverte



boule fermée

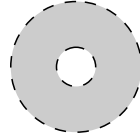


cube ouvert

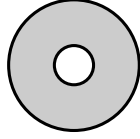


cube fermé

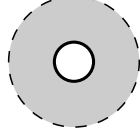
- Les couronnes circulaires sont bornées. Dans le plan, elles sont fermées (donc compactes) ou ouvertes selon qu'elles contiennent les cercles ou non.



couronne ouverte



couronne fermée



ni ouverte ni fermée

## Exercice

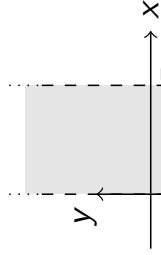
**Énoncé** – Dessiner les sous-ensembles suivants de  $\mathbb{R}^2$  et dire s'ils sont ouverts, fermés, bornés ou compacts :

$$A = \{(x, y) \in \mathbb{R}^2 \mid 0 < x < 5\}$$

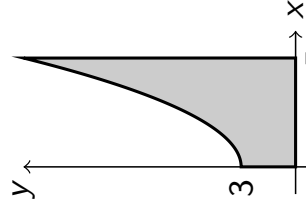
$$B = \{(x, y) \in \mathbb{R}^2 \mid 0 \leq x \leq 5, 0 \leq y \leq x^2 + 3\}$$

$$C = \{(x, y) \in \mathbb{R}^2 \mid 0 \leq x < 5, 0 \leq y < x^2 + 3\}$$

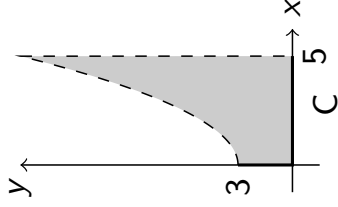
**Réponse** –



A  
ouvert non borné



B  
compact



C  
borné  
ni ouvert ni fermé

## 1.3 – Fonctions de deux ou trois variables

Dans cette section:

- Fonctions réelles et vectorielles de plusieurs variables
- Domaine et image

## Fonctions réelles et vectorielles

**Définition** – Une **fonction de plusieurs variables** est une loi

$$f : \mathbb{R}^n \longrightarrow \mathbb{R}^m, \quad \vec{x} \mapsto f(\vec{x})$$

qui associe à un point  $\vec{x} \in \mathbb{R}^n$  au plus une valeur  $f(\vec{x}) \in \mathbb{R}^m$ .

- Pour ce cours,  $n = 2$  ou  $3$  et  $m = 1, 2$  ou  $3$ .
- Si  $m = 1$ , la fonction  $f : \mathbb{R}^n \longrightarrow \mathbb{R}$  est dite **réelle**.
- Si  $m > 1$ , la fonction  $f$  est dite **vectorielle**.

## Exemples de fonctions de plusieurs variables

- **Fonctions réelles**

$$f : \mathbb{R}^2 \longrightarrow \mathbb{R}, (x, y) \mapsto f(x, y) = x^3 + \sin(xy) + 1$$

Pression =  $f(\text{Volume}, \text{Temperature})$

$$f : \mathbb{R}^3 \longrightarrow \mathbb{R}, (x, y, z) \mapsto f(x, y, z) = x^3z + xyz + \ln(z^2 + 1)$$

- **Fonctions vectorielles**

$$f : \mathbb{R}^2 \longrightarrow \mathbb{R}^3, (x, y) \mapsto f(x, y) = (x^2, x + y, y^3)$$

$$g : \mathbb{R}^3 \longrightarrow \mathbb{R}^2, (x, y, z) \mapsto g(x, y, z) = (x^2 + z, xz + y)$$

$$h : \mathbb{R}^2 \longrightarrow \mathbb{R}^2, (\rho, \varphi) \mapsto h(\rho, \varphi) = (\rho \cos \varphi, \rho \sin \varphi)$$

## Attention aux fonctions vectorielles et linéaires !

ATTENTION – Une fonction vectorielle n'est pas linéaire en général !

Une fonction  $f : \mathbb{R}^n \longrightarrow \mathbb{R}^m$  est linéaire si et seulement si, en coordonnée cartésiennes, ses composantes sont des polynômes de degré 1 sans termes constants.

Par exemple:

- $f(x, y, z) = (2z - x, 0, 3y + 5x - z)$  est linéaire
- $g(x, y, z) = (xz + 5, 3, \sin(y))$  n'est pas linéaire,

car contient un polynôme de degré 2 ( $xz$ ),  
deux termes constants non nuls (5 et 3)  
et une fonction non-polynomiale ( $\sin(y)$ ).

# Domaine et image

**Définition** – Soit  $f : \mathbb{R}^n \longrightarrow \mathbb{R}^m$  une fonction.

- Le **domaine (de définition)** de  $f$  est l'ensemble des points de  $\mathbb{R}^n$  pour lesquels  $f$  est bien définie:

$$D_f = \{ \vec{x} \in \mathbb{R}^n \mid \text{il existe } f(\vec{x}) \in \mathbb{R}^m \}$$

- L'**image** de  $f$  est l'ensemble des valeurs de  $f$  :

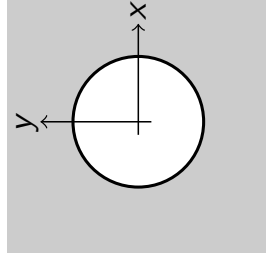
$$I_f = f(D_f) = \{ \vec{y} \in \mathbb{R}^m \mid \text{il existe } \vec{x} \in \mathbb{R}^n \text{ tel que } \vec{y} = f(\vec{x}) \}$$

## Exemples: domaine et image

- $f : \mathbb{R}^2 \longrightarrow \mathbb{R}, \quad (x, y) \mapsto f(x, y) = \sqrt{x^2 + y^2} - 1$

$$D_f = \{ (x, y) \in \mathbb{R}^2 \mid x^2 + y^2 \geq 1 \}$$

= complémentaire du disque  $D_{O(1)}$   
(fermé non borné)

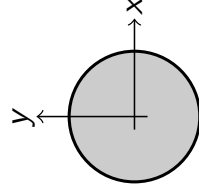


$$I_f = [0, +\infty[ = \mathbb{R}_+$$

- $f : \mathbb{R}^2 \longrightarrow \mathbb{R}, \quad (x, y) \mapsto f(x, y) = \sqrt{1 - x^2 - y^2}$

$$D_f = \{ (x, y) \in \mathbb{R}^2 \mid x^2 + y^2 \leq 1 \}$$

= disque fermé  $\overline{D}_{O(1)}$  (compact)



$$I_f = [0, 1]$$

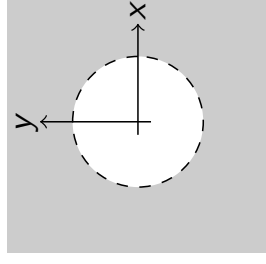
car  $x^2 + y^2 \geq 0 \iff 0 \leq 1 - x^2 - y^2 \leq 1$   
 $\iff 0 \leq \sqrt{1 - x^2 - y^2} = f(x, y) \leq 1$

## Exemples: domaine et image

- $f : \mathbb{R}^2 \longrightarrow \mathbb{R}, \quad (x, y) \mapsto f(x, y) = \ln(x^2 + y^2 - 1)$

$$D_f = \{(x, y) \in \mathbb{R}^2 \mid x^2 + y^2 > 1\}$$

= complémentaire du disque  $\overline{D_O(1)}$   
(ouvert non borné)

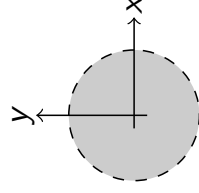


$$I_f = \mathbb{R}$$

- $f : \mathbb{R}^2 \longrightarrow \mathbb{R}, \quad (x, y) \mapsto f(x, y) = \ln(1 - x^2 - y^2)$

$$D_f = \{(x, y) \in \mathbb{R}^2 \mid x^2 + y^2 < 1\}$$

= disque ouvert  $D_O(1)$   
(ouvert borné)



$$I_f = \ln]0, 1[ = ] - \infty, 0[ = \mathbb{R}^-$$

## Exemples: domaine et image

- $f : \mathbb{R}^2 \longrightarrow \mathbb{R}^2, \quad (x, y) \mapsto f(x, y) = \left( \frac{1}{x^2}, -\frac{1}{y^2} \right)$

$$D_f = \{(x, y) \in \mathbb{R}^2 \mid x \neq 0, y \neq 0\}$$

= plan privé des deux axes de coordonnées  
(ouvert non borné)

$$I_f = \mathbb{R}_0^+ \times \mathbb{R}_0^- = 4^{\text{eme}} \text{ quadrant privé de son bord}$$

- $f : \mathbb{R}^3 \longrightarrow \mathbb{R}^2,$   
 $(x, y, z) \mapsto f(x, y, z) = \left( \sqrt{x^2 - z^2}, -\sqrt{y^2 + z^2} \right)$

$$D_f = \{(x, y, z) \in \mathbb{R}^3 \mid x^2 - z^2 \geq 0\}$$

= cône délimité par les deux plans  $z = \pm x$   
(fermé non borné)

$$I_f = \mathbb{R}^+ \times \mathbb{R}^- = 4^{\text{eme}} \text{ quadrant}$$

## Exercices

**Énoncé** – Dessiner le domaine de définition et l'image des fonctions suivantes et déterminer la nature du domaine (ouvert, fermé, borné, compact).

$$\bullet f : \mathbb{R}^2 \longrightarrow \mathbb{R}, \quad (x, y) \mapsto f(x, y) = \frac{\ln(x^2 + y^2 + 1)}{x^2 + y^2}.$$

**Réponse** :  $D_f = \{(x, y) \in \mathbb{R}^3 \mid x^2 + y^2 + 1 > 0, x^2 + y^2 \neq 0\}$   
 $= \mathbb{R}^2 \setminus \{(0, 0)\}$  = plan moins l'origine (ouvert non borné)

La condition  $x^2 + y^2 + 1 > 0$  est vérifiée pour tout  $(x, y) \in \mathbb{R}^2$  et la condition  $x^2 + y^2 \neq 0$  est vérifiée si  $(x, y) \neq (0, 0)$ .

$$I_f = \mathbb{R}_+^* = ]0, +\infty[ \quad (\text{ouvert non borné})$$

car  $x^2 + y^2 > 0$  implique  $x^2 + y^2 + 1 > 1$  et par conséquent  $\ln(x^2 + y^2 + 1) > 0$ , et le quotient de deux nombres positifs est positif.

## Exercices

$$\bullet g : \mathbb{R}^2 \longrightarrow \mathbb{R}^2, \quad (x, y) \mapsto g(x, y) = \left( \frac{\ln(x^2 + 1)}{y^2}, \frac{\ln(y^2 + 1)}{x^2} \right)$$

**Réponse** :

$$D_g = \{(x, y) \in \mathbb{R}^2 \mid x^2 + 1 > 0, y \neq 0, y^2 + 1 > 0, x \neq 0\}$$
$$= \mathbb{R}^* \times \mathbb{R}^* = \text{plan privé des deux axes de coordonnées}$$

(ouvert non borné).

En effet, les conditions  $x^2 + 1 > 0$  et  $y^2 + 1 > 0$  sont vérifiées pour tout  $(x, y) \in \mathbb{R}^2$

$$I_g = \mathbb{R}_+^* \times \mathbb{R}_+^* = 1^{\text{er}} \text{ quadrant privé de son bord}$$

(ouvert non borné)

Les conditions  $x \neq 0$  et  $y \neq 0$  impliquent  $x^2 > 0$  et  $y^2 > 0$ , et par conséquent  $\ln(x^2 + 1) > 0$  et  $\ln(y^2 + 1) > 0$ .

## 1.4 – Graphes et lignes de niveau

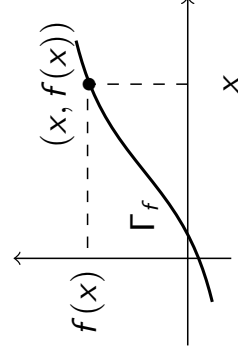
Dans cette section:

- Graphe des fonctions d'une variable (rappel)
- Graphe des fonctions de plusieurs variables
- Lignes de niveau

### Graphes des fonctions d'une variable

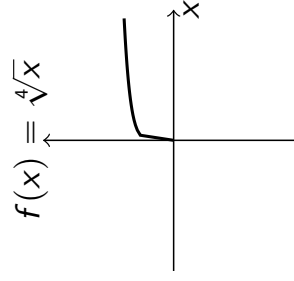
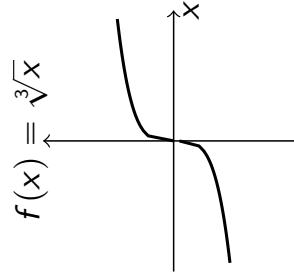
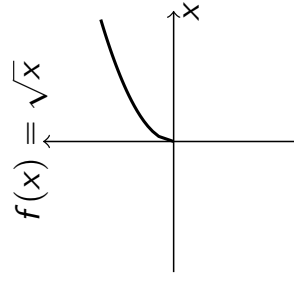
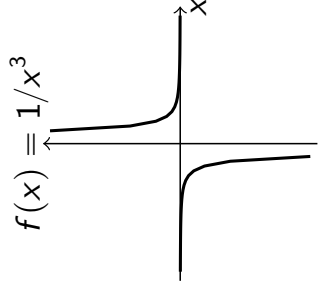
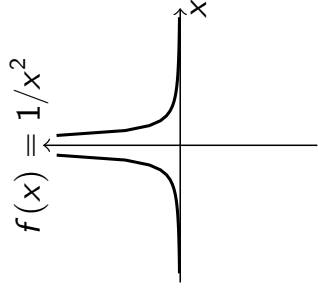
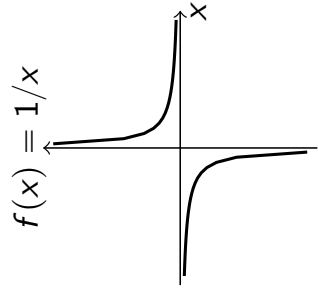
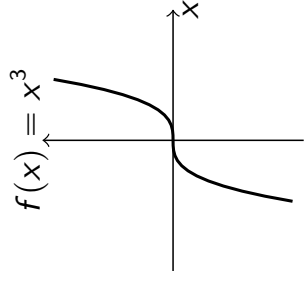
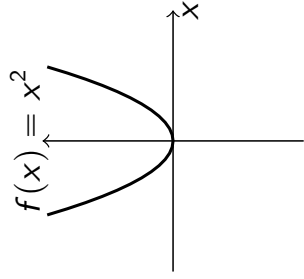
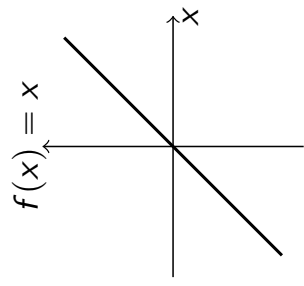
**Rappel** – Le **graphe de**  $f : \mathbb{R} \longrightarrow \mathbb{R}$  est l'ensemble

$$\Gamma_f = \left\{ (x, y) \in \mathbb{R}^2 \mid x \in D_f, y = f(x) \right\} \subset \mathbb{R}^2.$$

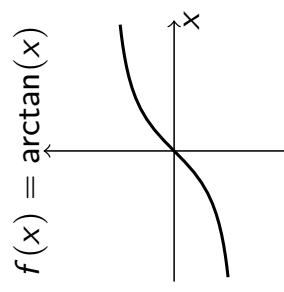
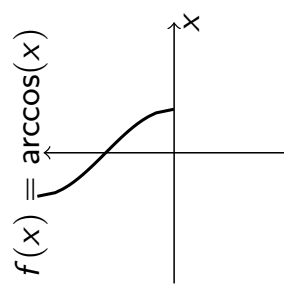
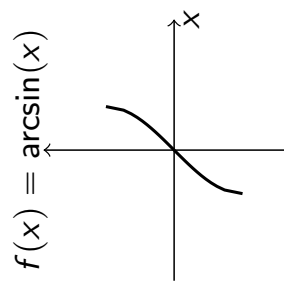
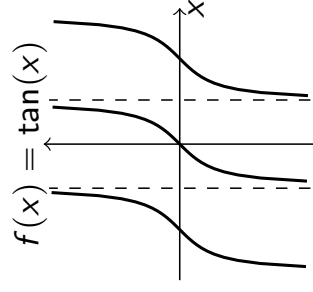
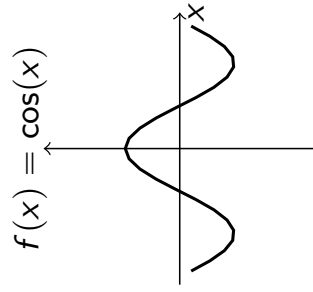
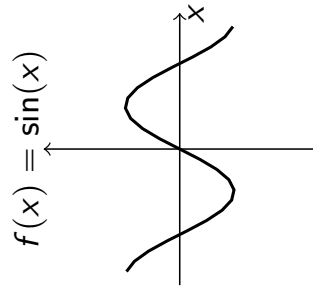
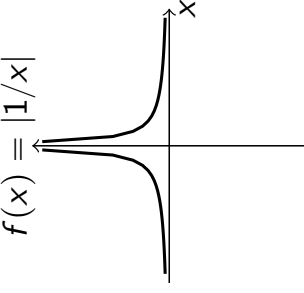
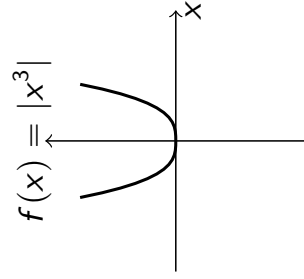
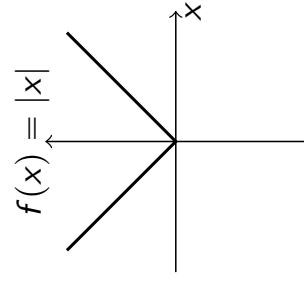


Le graphe des fonctions usuelles d'une variable est à connaître par cœur.

## Graphes à connaître !

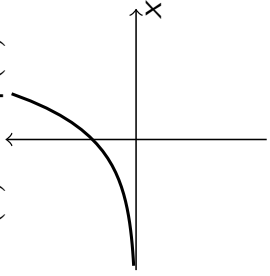


## D'autres graphes à connaître !

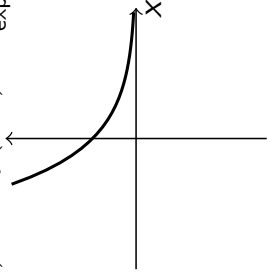


D'autres encore... ouf !

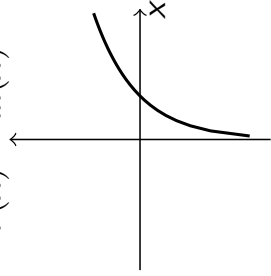
$$f(x) = \exp(x)$$



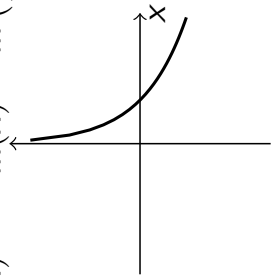
$$f(x) = \exp(-x) = \frac{1}{\exp(x)}$$



$$f(x) = \ln(x)$$



$$f(x) = -\ln(x) = \ln\left(\frac{1}{x}\right)$$

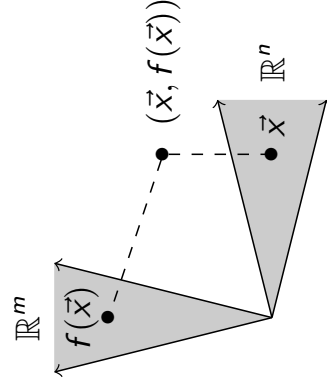


## Graphes des fonctions de plusieurs variables

**Définition** – Le **graphe** de  $f : \mathbb{R}^n \rightarrow \mathbb{R}^m$  est l'ensemble

$$\Gamma_f = \left\{ (\vec{x}, \vec{y}) \in \mathbb{R}^{n+m} \mid \vec{x} \in D_f, \vec{y} = f(\vec{x}) \right\} \subset \mathbb{R}^{n+m}.$$

**PROBLÈME** – Ce graphe est difficile à dessiner si  $n + m > 3$  !

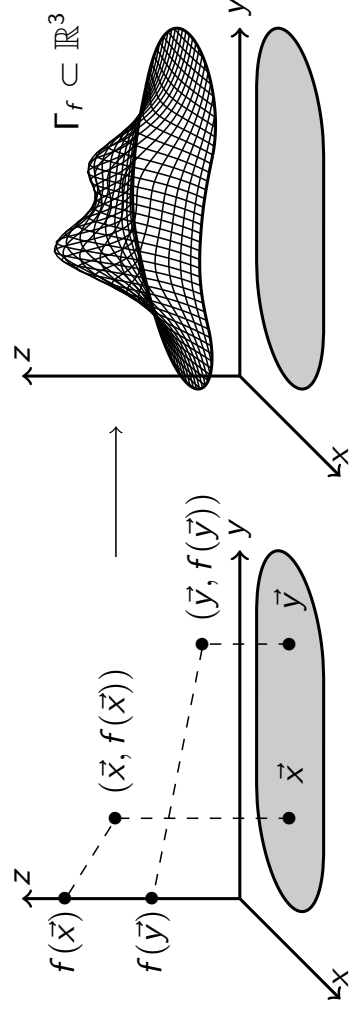


Regardons  $n = 2$  et  $m = 1$ .

# Graphe des fonctions réelles de deux variables

Le graphe de  $f : \mathbb{R}^2 \rightarrow \mathbb{R}$  est l'ensemble

$$\Gamma_f = \left\{ (x, y, z) \in \mathbb{R}^3 \mid (x, y) \in D_f, z = f(x, y) \right\} \subset \mathbb{R}^3.$$



Exemple: graphe d'une fonction de deux variables

**Exemple –**

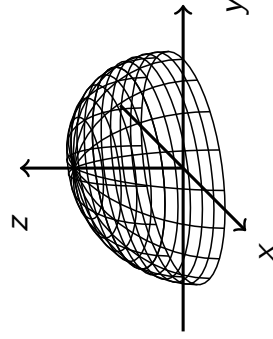
- $f(x, y) = \sqrt{1 - x^2 - y^2} = z$

$$\implies D_f = \overline{D}_0(1) \text{ et } I_f = [0, 1]$$

Notons que

$$z^2 = 1 - x^2 - y^2, \text{ c.-à-d. } x^2 + y^2 + z^2 = 1, \text{ et } z \geq 0.$$

Ainsi  $\Gamma_f =$  demi-sphère



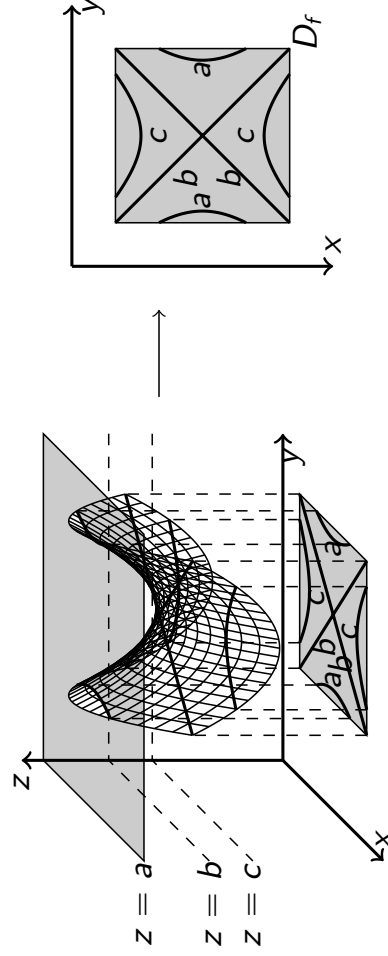
## Lignes de niveau

Soit  $f : \mathbb{R}^2 \rightarrow \mathbb{R}$  de domaine  $D_f \subset \mathbb{R}^2$  et d'image  $I_f \subset \mathbb{R}$ .

**Définition** – Pour tout  $a \in \mathbb{R}$ , la **ligne de niveau**  $a$  est la projection sur  $D_f$  de  $\Gamma_f \cap \{z = a\}$ , c'est-à-dire

$$L_a(f) = \{(x, y) \in D_f \mid f(x, y) = a\}.$$

À noter que  $L_a(f) = \emptyset$  si  $a \notin I_f$ .



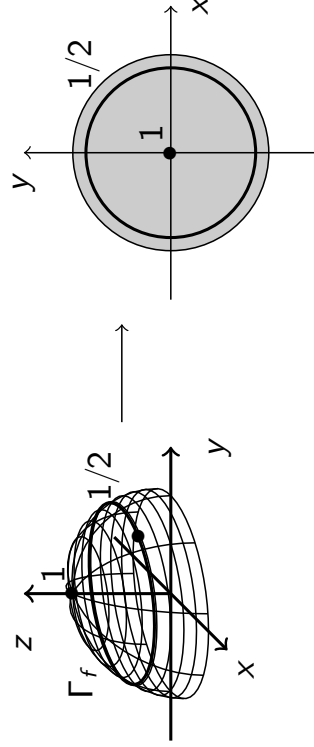
## Exemple: lignes de niveau

**Exemple** –

- $f(x, y) = \sqrt{1 - x^2 - y^2} = z$ ,  $D_f = \overline{D}_0(1)$ ,  $I_f = [0, 1]$

Pour tout  $a \in [0, 1]$  on a

$$L_a(f) = \{(x, y) \in \overline{D}_0(1) \mid \sqrt{1 - x^2 - y^2} = a\} \\ = \text{cercle centré en } (0, 0) \text{ de rayon } \sqrt{1 - a^2}$$



## Exercice

**Énoncé** – Trouver le domaine, l'image et la nature des lignes de niveau de la fonction

$$f(x, y) = \frac{x - y}{x + y}.$$

Dessiner les lignes de niveau pour les valeurs  $a = -2, -1, 0, 1, 2$ .  
En déduire le graphe de  $f$ .

**Réponse** –

$D_f = \{(x, y) \in \mathbb{R}^2 \mid y \neq -x\} = \mathbb{R}^2 \setminus$  la bissectrice  
du 2<sup>ème</sup> quadrant

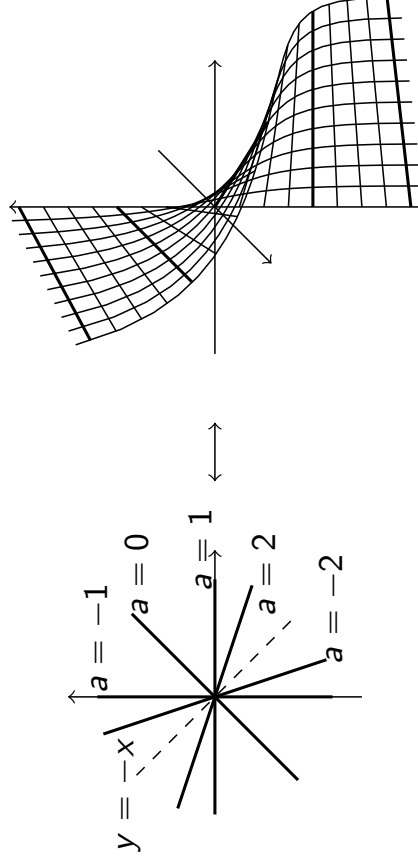
$I_f = \mathbb{R}$ , alors pour tout  $a \in \mathbb{R}$  on a

$$L_a(f) = \left\{ (x, y) \in D_f \mid \frac{x - y}{x + y} = a \right\} \\ = \text{droite d'équation } (a - 1)x + (a + 1)y = 0$$

## Exercice

$$L_a(f) = \text{droite d'équation } (a - 1)x + (a + 1)y = 0 \\ \begin{aligned} a = 0 &\implies y = x \\ a = 1 &\implies y = 0 \\ a = 2 &\implies y = -\frac{1}{3}x \end{aligned} \quad \begin{aligned} a = -1 &\implies x = 0 \\ a = -2 &\implies y = -3x \end{aligned}$$

$$\Gamma_f = \left\{ (x, y, z) \in \mathbb{R}^3 \mid y \neq x, z = \frac{x - y}{x + y} \right\} \\ = \text{union de droites tournantes (sans l'axe Oz)}$$



## 1.5 – Opérations, composition et changement de coordonnées

Dans cette section:

- Somme et produit de fonctions
- Composition de fonctions
- Changement de coordonnées

### Somme et produit de fonctions

**Définition** – Soient  $f, g : \mathbb{R}^n \rightarrow \mathbb{R}^m$  deux fonctions et  $\lambda \in \mathbb{R}$ .  
On définit les fonctions suivantes:

**somme:**  $(f + g)(\vec{x}) = f(\vec{x}) + g(\vec{x}), \quad D_{f+g} = D_f \cap D_g;$

**zéro:**  $0(\vec{x}) = (0, \dots, 0), \quad D_0 = \mathbb{R}^n;$

**opposée de  $f$ :**  $(-f)(\vec{x}) = -f(\vec{x}), \quad D_{-f} = D_f;$

**produit de  $f$  par  $\lambda$ :**  $(\lambda f)(\vec{x}) = \lambda f(\vec{x}), \quad D_{\lambda f} = D_f.$

Si  $f$  et  $g$  sont des fonctions réelles ( $m = 1$ ):

**produit:**  $(fg)(\vec{x}) = f(\vec{x})g(\vec{x}), \quad D_{fg} = D_f \cap D_g;$

**un:**  $1(\vec{x}) = 1, \quad D_1 = \mathbb{R}^n;$

**inverse de  $f$ :**  $\left(\frac{1}{f}\right)(\vec{x}) = \frac{1}{f(\vec{x})}, \quad D_{1/f} = \left\{ \vec{x} \in D_f \mid f(\vec{x}) \neq 0 \right\}.$

## Exemples: somme et produit de fonctions

**Exemple** –

Si  $f(x, y) = x^2 - y^2$ ,  $g(x, y) = x^2 + y^2$  et  $\lambda = 3$ ,  
on a :

$$(f + g)(x, y) = x^2 - y^2 + x^2 + y^2 = 2x^2$$

$$(3f)(x, y) = 3(x^2 - y^2)$$

$$(fg)(x, y) = (x^2 - y^2)(x^2 + y^2) = x^4 - y^4$$

$$\frac{1}{f}(x, y) = \frac{1}{x^2 - y^2} \quad \text{si } x \neq \pm y.$$

## Propriétés des opérations

**Proposition** – *Les opérations d'addition, produit par scalaire et multiplication entre fonctions à plusieurs variables ont les mêmes propriétés que leurs analogues entre fonctions à une variable (elles sont commutatives, associatives et distributives).*

En particulier, l'ensemble des fonctions à plusieurs variables  $\mathcal{F}(\mathbb{R}^n, \mathbb{R}^m)$  muni de l'addition et du produit par scalaire est un espace vectoriel sur  $\mathbb{R}$  de dimension infinie.

# Composition de fonctions

**Définition** – Données deux fonctions

$$f : \mathbb{R}^n \longrightarrow \mathbb{R}^m \quad \text{et} \quad g : \mathbb{R}^m \longrightarrow \mathbb{R}^p$$

on définit la **composée de  $f$  et  $g$**  comme la fonction

$$g \circ f : \mathbb{R}^n \longrightarrow \mathbb{R}^p$$

obtenue en calculant  $g$  sur les valeurs obtenues par  $f$ :

$$\begin{aligned} \mathbb{R}^n &\xrightarrow{f} \mathbb{R}^m \xrightarrow{g} \mathbb{R}^p \\ \vec{x} &\mapsto f(\vec{x}) \mapsto (g \circ f)(\vec{x}) = g(f(\vec{x})) \end{aligned}$$

Le domaine de  $g \circ f$  est l'ensemble

$$D_{g \circ f} = \left\{ \vec{x} \in D_f \mid f(\vec{x}) \in D_g \right\}.$$

## Exemples: cas usuels de fonctions composées

Fixons  $f : \mathbb{R}^2 \rightarrow \mathbb{R}, (x, y) \mapsto f(x, y) = x^2 - y$ .

• Si  $g : \mathbb{R} \rightarrow \mathbb{R}, z \mapsto g(z) = \exp z$

alors  $g \circ f : \mathbb{R}^2 \rightarrow \mathbb{R}$  se trouve en posant  $z = f(x, y)$ :

$$(g \circ f)(x, y) = g(f(x, y)) = g(x^2 - y) = \exp(x^2 - y)$$

• Si  $h : \mathbb{R}^2 \rightarrow \mathbb{R}^2, (u, v) \mapsto h(u, v) = (h_1(u, v), h_2(u, v)) = (2u, u + v)$

alors  $f \circ h : \mathbb{R}^2 \rightarrow \mathbb{R}$  se trouve en posant  $\begin{cases} x = h_1(u, v) \\ y = h_2(u, v) \end{cases}$ :

$$(f \circ h)(u, v) = f(h(u, v)) = f(2u, u + v) = 4u^2 - (u + v)$$

• Si  $\gamma : \mathbb{R} \rightarrow \mathbb{R}^2, t \mapsto (\gamma_1(t), \gamma_2(t)) = (\cos t, \sin t)$

alors  $f \circ \gamma : \mathbb{R} \rightarrow \mathbb{R}$  se trouve en posant  $\begin{cases} x = \gamma_1(t) \\ y = \gamma_2(t) \end{cases}$ :

$$(f \circ \gamma)(t) = f(\gamma(t)) = f(\cos t, \sin t) = \cos^2 t - \sin t$$

# Changement de variables

Un changement de variable s'écrit comme une composée !

**Proposition** – Si  $\vec{y} = f(\vec{x})$  est une fonction des variables  $\vec{x} = (x_1, \dots, x_n)$ , son expression comme fonction de nouvelles variables  $\vec{u} = (u_1, \dots, u_n)$  est donnée par la fonction composée

$$\tilde{f} = f \circ h,$$

où

$$h : \mathbb{R}^n \longrightarrow \mathbb{R}^n, \quad \vec{u} \mapsto h(\vec{u}) = \vec{x}$$

est l'application qui décrit le changement de variables des  $(x_1, \dots, x_n)$  vers les  $(u_1, \dots, u_n)$ .

Autrement dit, on a

$$\vec{y} = f(\vec{x}) = f(h(\vec{u})) = \tilde{f}(\vec{u}).$$

## Changements en polaires, cylindriques, sphériques

- **Changement en coordonnées polaires:**

$$f(x, y) = f(h(\rho, \varphi)) = \tilde{f}(\rho, \varphi)$$

avec  $h : [0, \infty[ \times [0, 2\pi[ \longrightarrow \mathbb{R}^2, \quad h(\rho, \varphi) = (\rho \cos \varphi, \rho \sin \varphi)$

- **Changement en coordonnées cylindriques:**

$$f(x, y, z) = f(h(\rho, \varphi, z)) = \tilde{f}(\rho, \varphi, z)$$

avec  $h : [0, \infty[ \times [0, 2\pi[ \times \mathbb{R} \longrightarrow \mathbb{R}^3$

$$h(\rho, \varphi, z) = (\rho \cos \varphi, \rho \sin \varphi, z)$$

- **Changement en coordonnées sphériques:**

$$f(x, y, z) = f(h(r, \varphi, \theta)) = \tilde{f}(r, \varphi, \theta)$$

avec  $h : [0, \infty[ \times [0, 2\pi[ \times [0, \pi] \longrightarrow \mathbb{R}^3$

$$h(r, \varphi, \theta) = (r \cos \varphi \sin \theta, r \sin \varphi \sin \theta, r \cos \theta)$$

## Exemple: passage en coordonnées polaire

**Exemple** – On veut exprimer la fonction

$$f : \mathbb{R}^2 \longrightarrow \mathbb{R}, \quad (x, y) \longmapsto f(x, y) = x^2 + y^2 + 2x$$

en coordonnées polaires.

Pour cela il suffit de faire la composée  $f \circ h$  où

$$h(\rho, \varphi) = (\rho \cos \varphi, \rho \sin \varphi)$$

c'est-à-dire à remplacer  $x$  et  $y$  dans  $f$  par  $\rho \cos \varphi$  et  $\rho \sin \varphi$ .

On obtient

$$\begin{aligned} \tilde{f}(\rho, \varphi) &= f(\rho \cos \varphi, \rho \sin \varphi) \\ &= (\rho \cos \varphi)^2 + (\rho \sin \varphi)^2 + 2\rho \cos \varphi \\ &= \rho^2 + 2\rho \cos \varphi. \end{aligned}$$

## Exercice

**Énoncé** – Exprimer la fonction

$$f(x, y, z) = (\sqrt{x^2 + y^2}, z^2)$$

en coordonnées cylindriques et sphériques.

**Réponse** – En coordonnées cylindriques :

$$\tilde{f}(\rho, \varphi, z) = f(\rho \cos \varphi, \rho \sin \varphi, z) = (\rho, z^2)$$

En coordonnées sphériques :

$$\begin{aligned} \tilde{\tilde{f}}(r, \varphi, \theta) &= f(r \cos \varphi \sin \theta, r \sin \varphi \sin \theta, r \cos \theta) \\ &= (r \sin \theta, r^2 \cos^2 \theta) \end{aligned}$$

## Chapitre 2

### Dérivées, Taylor, extrema locaux

Dans ce chapitre:

- 2.1 – Limites et continuité
- 2.2 – Dérivées partielles
- 2.3 – Dérivée directionnelle
- 2.4 – Gradient
- 2.5 – Différentielle
- 2.6 – Jacobienne
- 2.7 – Résumé sur les dérivées
- 2.8 – Règle de la chaîne
- 2.9 – Hessienne
- 2.10 – Taylor
- 2.11 – Extrema locaux

### 2.1 – Limites et continuité

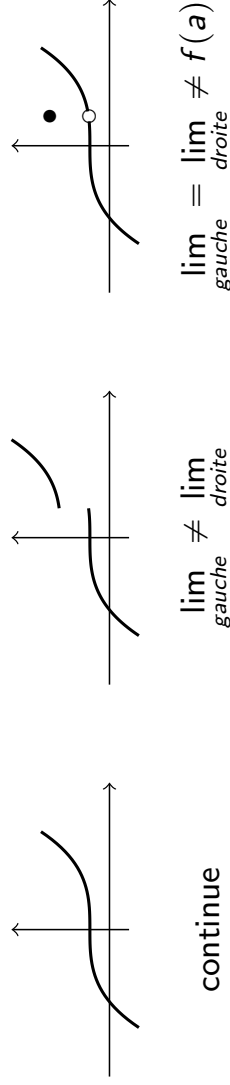
Dans cette section:

- Rappels sur les fonctions d'une variable
- Limites de fonctions
- Fonctions continues

## Rappels sur les fonctions d'une variable

**Rappel** – Si  $f : \mathbb{R} \rightarrow \mathbb{R}$  est une fonction d'une variable, avec domaine  $D_f$ , on dit que:

- la **limite de  $f$  en un point**  $a \in D_f \cup \partial D_f$  est la valeur  $\lim_{x \rightarrow a} f(x)$  à laquelle tend  $f(x)$  quand  $x$  s'approche de  $a$ ;
- $f$  est **continue** en un point  $a \in D_f$  si  $\lim_{x \rightarrow a} f(x) = f(a)$ .



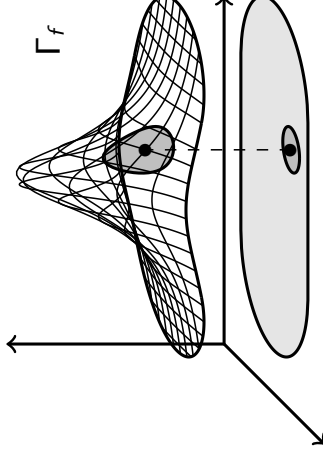
## Limites des fonctions

**Définition** – Soit  $f : \mathbb{R}^n \rightarrow \mathbb{R}^m$  une fonction de plusieurs variables, de domaine  $D_f$ .

- La **limite de  $f$  en un point**  $\vec{a} \in D_f \cup \partial D_f$  est la valeur à laquelle tend  $f(\vec{x})$  quand  $\vec{x}$  s'approche de  $\vec{a}$  par tous les chemins possibles dans  $D_f$ .

On la note

$$\lim_{\vec{x} \rightarrow \vec{a}} f(\vec{x}).$$



La limite peut ne pas exister, mais si elle existe elle est unique.

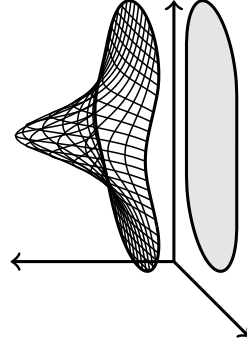
## Fonctions continues

- La fonction  $f$  est continue en  $\vec{a} \in D_f$  si

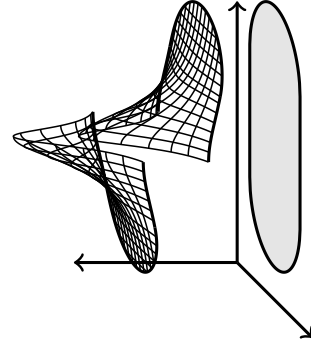
$$\lim_{\vec{x} \rightarrow \vec{a}} f(\vec{x}) = f(\vec{a}).$$

- La fonction  $f$  est continue sur le sous-ensemble  $D \subset D_f$  si  $f$  est continue en tout point de  $D$ .

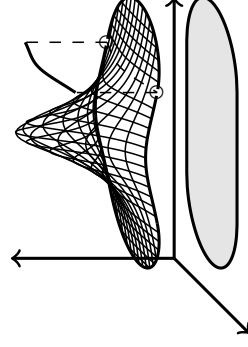
Le graphe d'une fonction continue n'a pas de "sauts" !



continue



non continue



non continue

## Quelles fonctions sont-elles continues ?

**Théorème** – *Toutes les fonctions de plusieurs variables obtenues comme somme, produit ou composée de fonctions continues d'une variable sont continues.*

### Quelques fonctions continues –

- Les fonctions polynomiales de plusieurs variables sont continues sur  $\mathbb{R}^n$ .
- Les fractions rationnelles, les racines, les exponentielles et les logarithmes, les fonctions circulaires, les fonctions hyperboliques et leurs réciproques sont continues sur leur domaine de définition.

## 2.2 – Dérivées partielles

Dans cette section:

- Rappels sur les fonctions d'une variable
- dérivées partielles
- fonctions (continûment) différentiables

### Rappels sur les fonctions d'une variable

**Rappel** – Si  $f : \mathbb{R} \rightarrow \mathbb{R}$  est une fonction d'une variable, la **dérivée** de  $f$  en  $x \in D_f$  est la limite

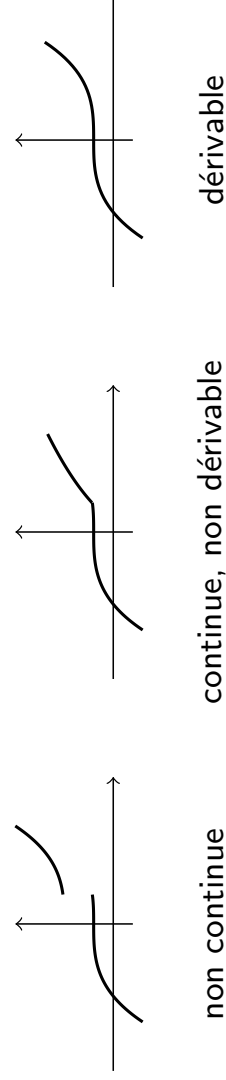
$$f'(x) := \lim_{h \rightarrow 0} \frac{f(x+h) - f(x)}{h}$$

si elle existe et est finie. Dans ce cas,  $f$  est **dérivable en**  $x$ .

La fonction  $f$  est **dérivable sur**  $D \subset D_f$  si elle est dérivable en tout point  $x \in D$ .

**Propriété** – Une fonction dérivable est continue.

Le contraire est faux:



# Dérivées partielles

**Définition** – Soit  $f : \mathbb{R}^n \longrightarrow \mathbb{R}^m$  une fonction.

- Les **dérivées partielles de  $f$  en  $\vec{x} \in D_f$**  sont les limites

$$\frac{\partial f}{\partial x_i}(x_1, \dots, x_n) = \lim_{h \rightarrow 0} \frac{f(x_1, \dots, x_i + h, \dots, x_n) - f(x_1, \dots, x_n)}{h}$$

pour  $i = 1, \dots, n$  (si ces limites existent).

- Les **dérivées partielles de  $f$**  sont les fonctions

$$\frac{\partial f}{\partial x_i} : \mathbb{R}^n \longrightarrow \mathbb{R}^m : \vec{x} \mapsto \frac{\partial f}{\partial x_i}(\vec{x}) \quad \text{pour } i = 1, \dots, n$$

définies sur l'ensemble de points  $\vec{x}$  où les dérivées  $\frac{\partial f}{\partial x_i}(\vec{x})$  existent.

## Fonctions (continûment) différentiables

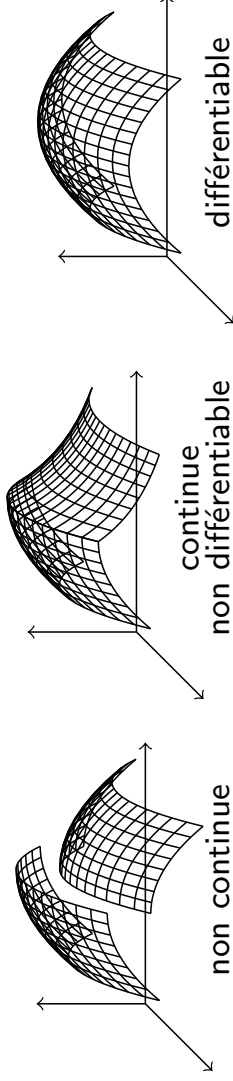
- La fonction  $f$  est **(continûment) différentiable sur  $D \subset D_f$** , ou de **classe  $C^1$  sur  $D$** , si toutes les dérivées partielles

$$\frac{\partial f}{\partial x_i} : D \subset \mathbb{R}^n \longrightarrow \mathbb{R}^m$$

existent et sont des fonctions continues en tout point  $\vec{x} \in D$ .

**Propriété** – Une *fonction différentiable est continue*.

Le contraire est faux: le graphe d'une fonction différentiable n'a pas de "sauts" et en plus ne change pas son allure "brusquement"!



## Exemples de fonctions différentiables

### Exemples –

- Pour  $f(x, y) = xy^2 + 3x$  on a

$$\frac{\partial f}{\partial x}(x, y) = y^2 + 3 \quad \text{et} \quad \frac{\partial f}{\partial y}(x, y) = 2xy$$

qui sont continues sur  $\mathbb{R}^2$ , donc  $f$  est  $C^1$  sur  $\mathbb{R}^2$ .

- Pour  $g(x, y, z) = \left( \frac{xy^2 + 3x}{z^2} \right)$  on a

$$\frac{\partial g}{\partial x} = \begin{pmatrix} y^2 + 3 \\ 0 \end{pmatrix}, \quad \frac{\partial g}{\partial y} = \begin{pmatrix} 2xy \\ 0 \end{pmatrix} \quad \text{et} \quad \frac{\partial g}{\partial z} = \begin{pmatrix} 0 \\ 2z \end{pmatrix}$$

donc  $g$  est  $C^1$  sur  $\mathbb{R}^3$ .

- Pour  $h(r, \varphi, \theta) = \varphi^2 + r \sin \theta$  on a

$$\frac{\partial f}{\partial r} = \sin \theta, \quad \frac{\partial f}{\partial \varphi} = 2\varphi \quad \text{et} \quad \frac{\partial f}{\partial \theta} = r \cos \theta$$

donc  $h$  est  $C^1$  sur  $[0, \infty[ \times [0, 2\pi[ \times [0, \pi]$ .

## 2.3 – Dérivées directionnelles

Dans cette section:

- Dérivées directionnelles
- Croissance et décroissance des fonctions réelles

## Dérivées directionnelles

Soit  $f : \mathbb{R}^n \longrightarrow \mathbb{R}^m$  différentiable sur un ensemble  $D \subset \mathbb{R}^n$ .

**Définition** – Pour tout vecteur  $\vec{v} = (v_1, \dots, v_n) \in \mathbb{R}^n$ , on appelle **dérivée directionnelle de  $f$  dans la direction  $\vec{v}$**  la fonction

$$\begin{aligned} \partial_{\vec{v}} f : D &\longrightarrow \mathbb{R}^m \\ \vec{x} &\longmapsto \partial_{\vec{v}} f(\vec{x}) = v_1 \frac{\partial f}{\partial x_1}(\vec{x}) + \dots + v_n \frac{\partial f}{\partial x_n}(\vec{x}) \end{aligned}$$

**Nota** –

Dérivées partielles = dérivées directionnelles dans la direction des vecteurs

$$\vec{e}_i = (0, \dots, 1, \dots, 0),$$

où 1 est en  $i$ ème position,

$$\frac{\partial f}{\partial x_i} = \partial_{\vec{e}_i} f.$$

c'est-à-dire

## Exemples de dérivées directionnelles

**Exemples** – Cherchons la dérivée directionnelle des fonctions suivantes, dans la direction d'un vecteur générique  $\vec{v}$ .

- $f(x, y) = xy^2 + 3x$

La fonction  $f : \mathbb{R}^2 \longrightarrow \mathbb{R}$  a dérivées partielles

$$\frac{\partial f}{\partial x}(x, y) = y^2 + 3 \quad \text{et} \quad \frac{\partial f}{\partial y}(x, y) = 2xy.$$

Alors, pour tout vecteur de direction  $\vec{v} = (u, v) \in \mathbb{R}^2$ , la dérivée directionnelle de  $f$  est la fonction

$$\partial_{\vec{v}} f : \mathbb{R}^2 \longrightarrow \mathbb{R}$$

qui vaut, au point  $(x, y) \in \mathbb{R}^2$ ,

$$\partial_{\vec{v}} f(x, y) = (y^2 + 3)u + 2xyv.$$

## Exemples (suite)

- $g(x, y, z) = (xy^2 + 3x, yz^2)$

La fonction  $g : \mathbb{R}^3 \longrightarrow \mathbb{R}^2$  a dérivées partielles

$$\frac{\partial g}{\partial x} = \begin{pmatrix} y^2 + 3 \\ 0 \end{pmatrix}, \quad \frac{\partial g}{\partial x} = \begin{pmatrix} 2xy \\ z^2 \end{pmatrix} \quad \text{et} \quad \frac{\partial g}{\partial z} = \begin{pmatrix} 0 \\ 2yz \end{pmatrix}.$$

Pour tout  $\vec{v} = (u, v, w) \in \mathbb{R}^3$ , la dérivée directionnelle  $\partial_{\vec{v}}g : \mathbb{R}^3 \longrightarrow \mathbb{R}^2$  vaut donc

$$\begin{aligned} \partial_{\vec{v}}g(x, y, z) &= \begin{pmatrix} y^2 + 3 \\ 0 \end{pmatrix} u + \begin{pmatrix} 2xy \\ z^2 \end{pmatrix} v + \begin{pmatrix} 0 \\ 2yz \end{pmatrix} w \\ &= \begin{pmatrix} (y^2 + 3)u + 2xyv \\ z^2v + 2yzw \end{pmatrix}. \end{aligned}$$

À noter que si on écrit  $g = (g_1, g_2)$ , on a

$$\partial_{\vec{v}}g = (\partial_{\vec{v}}g_1, \partial_{\vec{v}}g_2) : \mathbb{R}^3 \longrightarrow \mathbb{R}^2.$$

## Exemples (suite)

- $h(r, \varphi, \theta) = \varphi^2 + r \sin \theta$

La fonction  $h : [0, \infty[ \times [0, 2\pi[ \times [0, \pi] \longrightarrow \mathbb{R}$  a dérivées partielles

$$\frac{\partial h}{\partial r} = \sin \theta, \quad \frac{\partial h}{\partial \varphi} = 2\varphi \quad \text{et} \quad \frac{\partial h}{\partial \theta} = r \cos \theta,$$

donc pour tout  $\vec{v} = (u, v, w) \in \mathbb{R}^3$ , la dérivée directionnelle de  $h$  est la fonction

$$\partial_{\vec{v}}h : [0, \infty[ \times [0, 2\pi[ \times [0, \pi] \longrightarrow \mathbb{R}$$

qui vaut

$$\partial_{\vec{v}}h(r, \varphi, \theta) = \sin \theta u + 2\varphi v + r \cos \theta w.$$

# Croissance et décroissance des fonctions réelles

**Théorème** – Soit  $f : \mathbb{R}^n \longrightarrow \mathbb{R}$  une fonction réelle de classe  $C^1$  sur  $D \subset \mathbb{R}^n$ . Pour tout  $\vec{x} \in D$  et tout  $\vec{v} \in \mathbb{R}^n$ , on a :

- Si  $\partial_{\vec{v}}f(\vec{x}) > 0$  alors  $f$  est croissante au point  $\vec{x}$  dans la direction de  $\vec{v}$ .
- Si  $\partial_{\vec{v}}f(\vec{x}) < 0$  alors  $f$  est décroissante au point  $\vec{x}$  dans la direction de  $\vec{v}$ .

De plus:

- forte croissance  $\iff$  grande dérivée positive
- forte décroissance  $\iff$  grande dérivée négative

**Nota** – On ne peut rien dire sur la croissance de  $f$  si  $\partial_{\vec{v}}f(\vec{x}) = 0$  !

## Exercice

**Énoncé** – La fonction  $f(x, y) = xy^2 + 3x$  est-elle croissante ou décroissante au point  $(3, 1)$ , dans les directions  $(1, 1)$ ,  $(1, 2)$ ,  $(1, -1)$  et  $(1, -2)$  ?

**Réponse** – Pour tout vecteur  $\vec{v} = (u, v)$ , on a

$$\partial_{\vec{v}}f(x, y) = (y^2 + 3)u + 2xyv$$

et donc

$$\partial_{\vec{v}}f(3, 1) = 4u + 6v$$

d'où

- $\partial_{(1,1)}f(3, 1) = 10 \implies f$  croissante en direction  $(1, 1)$
- $\partial_{(1,2)}f(3, 1) = 16 \implies f$  croissante en direction  $(1, 2)$
- $\partial_{(1,-1)}f(3, 1) = -2 \implies f$  décroissante en dir.  $(1, -1)$
- $\partial_{(1,-2)}f(3, 1) = -8 \implies f$  décroissante en dir.  $(1, -2)$

## Exercice

**Énoncé (suite)** – Parmi ces quatre directions, quelle est celle de plus forte croissance et celle de plus forte décroissance ?

**Réponse** – Pour comparer la croissance d'une fonction en différentes directions, il faut calculer les différentes dérivées directionnelles avec des vecteurs ayant tous la même longueur, par exemple 1.

*Directions croissantes* –

$$\bullet \|(1, 1)\| = \sqrt{2} \Rightarrow \partial_{\frac{1}{\sqrt{2}}(1,1)} f(3, 1) = \frac{10}{\sqrt{2}}$$

$$\bullet \|(1, 2)\| = \sqrt{5} \Rightarrow \partial_{\frac{1}{\sqrt{5}}(1,2)} f(3, 1) = \frac{16}{\sqrt{5}}$$

$$\text{Or } \frac{10}{\sqrt{2}} < \frac{16}{\sqrt{5}} \text{ car } (10\sqrt{5})^2 = 500 < (16\sqrt{2})^2 = 512.$$

Ainsi, au point  $(3, 1)$ , le fonction  $f$  croit plus rapidement dans la direction  $(1, 2)$ .

## Exercice

*Directions décroissantes* –

$$\bullet \|(1, -1)\| = \sqrt{2} \Rightarrow \partial_{\frac{1}{\sqrt{2}}(1,-1)} f(3, 1) = -\frac{2}{\sqrt{2}}$$

$$\bullet \|(1, -2)\| = \sqrt{5} \Rightarrow \partial_{\frac{1}{\sqrt{5}}(1,-2)} f(3, 1) = -\frac{8}{\sqrt{5}}$$

$$\text{On a } -\frac{2}{\sqrt{2}} > -\frac{8}{\sqrt{5}} \text{ car ceci se vérifie ssi } \frac{2}{\sqrt{2}} < \frac{8}{\sqrt{5}},$$

$$\text{ce qui est vrai car } (2\sqrt{5})^2 = 20 < (8\sqrt{2})^2 = 128.$$

Ainsi, au point  $(3, 1)$ , le fonction  $f$  décroît plus rapidement dans la direction  $(1, -2)$ .

## 2.4 – Gradient

Dans cette section:

- Gradient des fonctions réelles
- Interprétation géométrique du gradient

### Gradient d'une fonction réelle

**Définition** – Soit  $f : \mathbb{R}^n \rightarrow \mathbb{R}$  une fonction réelle différentiable sur  $D \subset D_f$ .

- Le **gradient de  $f$  en un point  $\vec{x} \in D$**  est le vecteur de  $\mathbb{R}^n$

$$\vec{\text{grad}} f(\vec{x}) \equiv \vec{\nabla} f(\vec{x}) = \frac{\partial f}{\partial x_1}(\vec{x}) \vec{e}_1 + \cdots + \frac{\partial f}{\partial x_n}(\vec{x}) \vec{e}_n = \begin{pmatrix} \frac{\partial f}{\partial x_1}(\vec{x}) \\ \vdots \\ \frac{\partial f}{\partial x_n}(\vec{x}) \end{pmatrix}$$

où le symbole  $\vec{\nabla}$  se lit **nabla**.

- Le **gradient de  $f$**  est la fonction vectorielle

$$\vec{\text{grad}} f \equiv \vec{\nabla} f = \begin{pmatrix} \frac{\partial f}{\partial x_1} \\ \vdots \\ \frac{\partial f}{\partial x_n} \end{pmatrix} : D \subset \mathbb{R}^n \rightarrow \mathbb{R}^n$$

Pour tout  $\vec{v} \in \mathbb{R}^n$  on a alors

$$\partial_{\vec{v}} f = \langle \vec{\nabla} f, \vec{v} \rangle = \vec{\nabla} f \cdot \vec{v}$$

## Exemples de gradient

Exemples –

$$\bullet f(x, y) = xy^2 + 3x \quad \Rightarrow \quad \vec{\nabla} f(x, y) = \begin{pmatrix} y^2 + 3 \\ 2xy \end{pmatrix}$$

$$\text{Par exemple: } \vec{\nabla} f(0, 0) = \begin{pmatrix} 3 \\ 0 \end{pmatrix} \quad \text{et} \quad \vec{\nabla} f(3, 2) = \begin{pmatrix} 7 \\ 12 \end{pmatrix}.$$

$$\bullet f(x, y, z) = \sin(xy) + \ln(x^2 + z^2) \quad \Rightarrow$$

$$\vec{\nabla} f(x, y, z) = \begin{pmatrix} y \cos(xy) + \frac{2x}{x^2+z^2} \\ x \cos(xy) \\ \frac{2z}{x^2+z^2} \end{pmatrix}.$$

$$\text{Par exemple: } \vec{\nabla} f(0, \pi, 1) = \begin{pmatrix} -\pi \\ 0 \\ 2 \end{pmatrix}.$$

## Interprétation géométrique du gradient

**Théorème** – Soit  $f : \mathbb{R}^2 \rightarrow \mathbb{R}$  une fonction de deux variables, différentiable sur  $D \subset \mathbb{R}^2$ . Pour tout  $\vec{x} \in D$  on a alors:

- Le gradient  $\vec{\nabla} f(\vec{x})$  est orthogonal à la ligne de niveau  $L_a(f)$  avec  $a = f(\vec{x})$ .
- Le gradient  $\vec{\nabla} f(\vec{x})$  indique la direction de la pente de plus forte croissante du graphe  $\Gamma_f$  en  $\vec{x}$ .

## Exemple: interpretation géométrique du gradient

**Exemple** –  $f(x, y) = \sqrt{1 - x^2 - y^2} \implies$

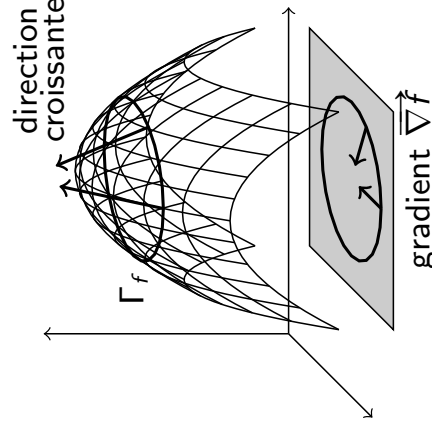
domaine  $D_f = \bar{D}_O(1) =$  disque unitaire fermé

ligne de niveau  $L_a(f) =$  cercle de rayon  $\sqrt{1 - a^2}$ , où  $a \in [0, 1]$

$f$  est différentiable sur  $D = D_O(1) =$  disque unitaire ouvert, et

$$\vec{\nabla} f(x, y) = \begin{pmatrix} \frac{-x}{\sqrt{1-x^2-y^2}} \\ \frac{-y}{\sqrt{1-x^2-y^2}} \end{pmatrix} = -\frac{1}{a}(x, y).$$

Pour tout  $a \in ]0, 1[$ , ce vecteur est orthogonal au cercle  $L_a(f)$  au point  $(x, y)$  et est dirigé vers le centre du cercle.



## 2.5 – Différentielle

Dans cette section:

- Différentielle des fonctions
- Différentielle des fonctions réelles:  $dx$ ,  $dy$  et  $dz$
- Différentielle des coordonnées cylindriques et sphériques:  $d\rho$ ,  $d\varphi$ ,  $dr$  et  $d\theta$

## Différentielle d'une fonction en un point

Soit  $f : \mathbb{R}^n \rightarrow \mathbb{R}^m$  une fonction différentiable sur l'ensemble  $D \subset \mathbb{R}^n$ . Par définition, pour tout  $\vec{x} \in D$ , l'application

$$\begin{aligned} \partial \bullet f(x) : \mathbb{R}^n &\longrightarrow \mathbb{R}^m \\ \vec{v} &\longmapsto \partial_{\vec{v}} f(\vec{x}) = \frac{\partial f}{\partial x_1}(\vec{x}) v_1 + \dots + \frac{\partial f}{\partial x_n}(\vec{x}) v_n \end{aligned}$$

est linéaire dans la variable  $\vec{v}$ .

**Définition** – Cette application linéaire de  $\mathbb{R}^n$  vers  $\mathbb{R}^m$  s'appelle **différentielle de  $f$  au point  $\vec{x}$** .

Il est d'usage de la noter  $df_{\vec{x}} : \mathbb{R}^n \rightarrow \mathbb{R}^m$ .

En somme, pour tout  $\vec{v} = (v_1, \dots, v_n) \in \mathbb{R}^n$ , on a donc

$$df_{\vec{x}}(\vec{v}) = \frac{\partial f}{\partial x_1}(\vec{x}) v_1 + \dots + \frac{\partial f}{\partial x_n}(\vec{x}) v_n = \partial_{\vec{v}} f(\vec{x}).$$

## Différentielle en un point: cas particuliers

**Cas particuliers** –

- Si  $f : \mathbb{R}^n \rightarrow \mathbb{R}$  est une fonction réelle, la différentielle  $df_{\vec{x}} : \mathbb{R}^n \rightarrow \mathbb{R}$  s'écrit au moyen du gradient de  $f$ :

$$\forall \vec{v} \in \mathbb{R}^n, \quad df_{\vec{x}}(\vec{v}) = \langle \vec{\nabla} f(x), \vec{v} \rangle$$

- Si  $f = (f_1, \dots, f_m) : \mathbb{R} \rightarrow \mathbb{R}^m$  est une fonction d'une seule variable  $x$ , la différentielle  $df_x : \mathbb{R} \rightarrow \mathbb{R}^m$  vaut:

$$\forall v \in \mathbb{R}, \quad df_x(v) = (f'_1(x) v, \dots, f'_m(x) v)$$

## Exemples de différentielles

### Exemples –

$$\begin{aligned} \bullet f(x) = x^2 - x^5 &\Rightarrow f : \mathbb{R} \rightarrow \mathbb{R} \\ \Rightarrow df_x : \mathbb{R} \rightarrow \mathbb{R} &\text{ est donnée par } df_x(v) = (2x - 5x^4) v. \end{aligned}$$

$$\begin{aligned} \bullet f(x, y) = x^2y^3 - 7y &\Rightarrow f : \mathbb{R}^2 \rightarrow \mathbb{R} \\ \Rightarrow df_{(x,y)} : \mathbb{R}^2 \rightarrow \mathbb{R} &\text{ est donnée par} \\ df_{(x,y)}(u, v) = 2xy^3 u + (3x^2y^2 - 7) v. \end{aligned}$$

Par exemple:

$$\begin{aligned} df_{(x,y)}(2, 1) &= 4xy^3 + 3x^2y^2 - 7 \\ df_{(1,1)}(u, v) &= 2u - 4v \\ df_{(1,1)}(2, 1) &= 0 \quad (\text{quelle coincidence !}) \end{aligned}$$

## Exemples de différentielles (suite)

$$\begin{aligned} \bullet f(x, y) = \begin{pmatrix} xy^2 \\ y \\ x^2 - y^2 \end{pmatrix} &\Rightarrow f : \mathbb{R}^2 \rightarrow \mathbb{R}^3 \\ df_{(x,y)} : \mathbb{R}^2 &\rightarrow \mathbb{R}^3 \\ df_{(x,y)}(u, v) = u \begin{pmatrix} y^2 \\ 0 \\ 2x \end{pmatrix} + v \begin{pmatrix} 2xy \\ 1 \\ -2y \end{pmatrix} &= \begin{pmatrix} y^2 u + 2xy v \\ v \\ 2x u - 2y v \end{pmatrix} \end{aligned}$$

$$\begin{aligned} \bullet f(x, y, z) = \begin{pmatrix} xy^2 \\ yz^3 \end{pmatrix} &\Rightarrow f : \mathbb{R}^3 \rightarrow \mathbb{R}^2 \\ df_{(x,y,z)} : \mathbb{R}^3 &\rightarrow \mathbb{R}^2 \\ df_{(x,y,z)}(u, v, w) = u \begin{pmatrix} y^2 \\ 0 \end{pmatrix} + v \begin{pmatrix} 2xy \\ z^3 \end{pmatrix} + w \begin{pmatrix} 0 \\ 3yz^2 \end{pmatrix} \\ &= \begin{pmatrix} y^2 u + 2xy v \\ z^3 v + 3yz^2 w \end{pmatrix} \end{aligned}$$

# Applications linéaires élémentaires

Remarque –

- Les  $n$  applications linéaires (pour  $i = 1, \dots, n$ )

$$dx_i : \mathbb{R}^n \longrightarrow \mathbb{R}, \vec{v} = (v_1, \dots, v_n) \longmapsto dx_i(\vec{v}) = v_i$$

formant une base de l'espace vectoriel  $\mathcal{L}(\mathbb{R}^n, \mathbb{R})$ .

- Par conséquent, toute application linéaire  $L : \mathbb{R}^n \longrightarrow \mathbb{R}$  s'écrit comme *combinaison linéaire* des  $dx_i$ :

$$L = a_1 dx_1 + \dots + a_n dx_n \quad \text{avec } a_j \in \mathbb{R}.$$

- Il n'y a pas  $n$  applications linéaires

$$"dx_i'' : \mathbb{R}^n \longrightarrow \mathbb{R}^m \quad (\text{pour } i = 1, \dots, n)$$

qui forment une base de l'espace vectoriel  $\mathcal{L}(\mathbb{R}^n, \mathbb{R}^m)$ , parce que cet espace a dimension  $n \times m$  !

## Différentielle

**Définition** – Soit  $f : \mathbb{R}^n \longrightarrow \mathbb{R}^m$  une fonction différentiable sur  $D \subset \mathbb{R}^n$ . L'application

$$D \subset \mathbb{R}^n \quad ! \longrightarrow \mathcal{L}(\mathbb{R}^n, \mathbb{R}^m) \\ \vec{x} \longmapsto df_{\vec{x}}$$

s'appelle **différentielle** de  $f$  et est notée  $df$ .

**Corollaire** – Si  $f : \mathbb{R}^n \longrightarrow \mathbb{R}$  est une fonction réelle, alors:

- La différentielle  $df_{\vec{x}} : \mathbb{R}^n \longrightarrow \mathbb{R}$  en  $\vec{x} \in D$  s'écrit

$$df_{\vec{x}} = \frac{\partial f}{\partial x_1}(\vec{x}) dx_1 + \dots + \frac{\partial f}{\partial x_n}(\vec{x}) dx_n.$$

- La différentielle  $df : D \longrightarrow \mathcal{L}(\mathbb{R}^n, \mathbb{R})$  s'écrit

$$df = \frac{\partial f}{\partial x_1} dx_1 + \dots + \frac{\partial f}{\partial x_n} dx_n.$$

## Exemples: écriture usuelle des différentielles

### Exemples –

- $f(x) = x^2 - x^5 \Rightarrow df_x = (2x - 5x^4) dx$ .

Par exemple:  $df_1 = -3 dx$ .

- $f(x, y) = x^2y^3 - 7y \Rightarrow df_{(x,y)} = 2xy^3 dx + (3x^2y^2 - 7) dy$ .

Par exemple:  $df_{(1,1)} = 2 dx - 4 dy$ .

- $f(x, y, z) = x^2y^3z - 7yz^2 \Rightarrow$

$$df_{(x,y,z)} = 2xy^3z dx + (3x^2y^2z - 7z^2) dy + (x^2y^3 - 14yz) dz$$

Par exemple:  $df_{(1,1,1)} = 2 dx - 4 dy - 13 dz$

## Exercice

**Énoncé** – Pour la fonction  $f(x, y) = \ln(1 - x^2 + 5y)$ :

- 1) Déterminer l'ensemble  $D$  où  $f$  est différentiable.
- 2) Déterminer la différentielle en tout point  $(x, y) \in D$ .
- 3) Calculer  $df_{(2,0)}$  en les vecteurs  $\vec{r} = (1, 0)$ ,  $\vec{J} = (0, 1)$ ,  $\vec{v} = (1, 1)$  et  $\vec{u} = (3, -3)$ .

### Réponse –

1)  $D = \left\{ (x, y) \in \mathbb{R}^2 \mid y > \frac{1}{5}x^2 - \frac{1}{5} \right\}$

portion du plan au-dessus de la parabole d'éq.

$$y = \frac{1}{5}x^2 - \frac{1}{5}$$

## Exercice (suite)

2) Pour tout  $(x, y) \in D$ , on a

$$\begin{aligned} df_{(x,y)} &= \frac{\partial f}{\partial x}(x,y) dx + \frac{\partial f}{\partial y}(x,y) dy \\ &= \frac{-2x}{1-x^2+5y} dx + \frac{5}{1-x^2+5y} dy \end{aligned}$$

3) Ainsi

$$df_{(2,0)} = \frac{-4}{1-4} dx + \frac{5}{1-4} dy = \frac{4}{3} dx - \frac{5}{3} dy$$

et

$$\begin{aligned} df_{(2,0)}(\vec{i}) &= df_{(2,0)}(1, 0) = \frac{\partial f}{\partial x}(2, 0) = \frac{4}{3} \\ df_{(2,0)}(\vec{j}) &= df_{(2,0)}(0, 1) = \frac{\partial f}{\partial y}(2, 0) = -\frac{5}{3} \\ df_{(2,0)}(\vec{v}) &= df_{(2,0)}(1, 1) = \frac{4}{3} - \frac{5}{3} = -\frac{1}{3} \\ df_{(2,0)}(\vec{u}) &= df_{(2,0)}(3, -3) = \frac{4}{3} \cdot 3 - \frac{5}{3}(-3) = 4 + 5 = 9 \end{aligned}$$

**Exercice :**  $dx, dy, dz, d\rho, d\varphi, dr$  et  $d\theta$

**Énoncé** – On note  $(x, y, z)$ ,  $(\rho, \varphi, z)$  et  $(r, \varphi, \theta)$  les coordonnées cartésiennes, cylindriques et sphériques des points de  $\mathbb{R}^3$ . On rappelle que

$$\begin{cases} x = \rho \cos \varphi \\ y = \rho \sin \varphi \\ z = z \end{cases} \quad \begin{cases} \rho \in ]0, \infty[ \\ \varphi \in [0, 2\pi[ \end{cases}$$

et

$$\begin{cases} x = r \cos \varphi \sin \theta \\ y = r \sin \varphi \sin \theta \\ z = r \cos \theta \end{cases} \quad \begin{cases} r \in ]0, \infty[ \\ \varphi \in [0, 2\pi[ \\ \theta \in ]0, \pi[ \end{cases}$$

## Exercice (suite)

Montrer que

$$i) \left\{ \begin{array}{l} dx = \cos \varphi \, d\rho - \rho \sin \varphi \, d\varphi \\ dy = \sin \varphi \, d\rho + \rho \cos \varphi \, d\varphi \\ dz = dz \end{array} \right.$$

$$i') \left\{ \begin{array}{l} d\rho = \cos \varphi \, dx + \sin \varphi \, dy \\ \rho d\varphi = -\sin \varphi \, dx + \cos \varphi \, dy \\ dz = dz \end{array} \right.$$

Formules de passage cartésiennes  $\longleftrightarrow$  cylindriques

## Exercice (suite)

$$ii) \left\{ \begin{array}{l} dx = \cos \varphi \sin \theta \, dr - r \sin \varphi \sin \theta \, d\varphi + r \cos \varphi \cos \theta \, d\theta \\ dy = \sin \varphi \sin \theta \, dr + r \cos \varphi \sin \theta \, d\varphi + r \sin \varphi \cos \theta \, d\theta \\ dz = \cos \theta \, dr - r \sin \theta \, d\theta \end{array} \right.$$

$$ii') \left\{ \begin{array}{l} dr = \cos \varphi \sin \theta \, dx + \sin \varphi \sin \theta \, dy + \cos \theta \, dz \\ r \sin \theta \, d\varphi = -\sin \varphi \, dx + \cos \varphi \, dy \\ r d\theta = \cos \varphi \cos \theta \, dx + \sin \varphi \cos \theta \, dy + \sin \theta \, dz \end{array} \right.$$

Formules de passage cartésiennes  $\longleftrightarrow$  sphériques

## Exercice (suite)

$$(iii) \left\{ \begin{array}{l} dr = \sin \theta \, d\rho + \cos \theta \, dz \\ d\varphi = d\varphi \\ r d\theta = \cos \theta \, d\rho - \sin \theta \, dz \end{array} \right.$$
$$(iii') \left\{ \begin{array}{l} d\rho = \sin \theta \, dr + \cos \theta \, d\theta \\ d\varphi = d\varphi \\ dz = r \cos \theta \, dr - r \sin \theta \, d\theta \end{array} \right.$$

Formules de passage *cylindriques*  $\longleftrightarrow$  *sphériques*

## Exercice (suite et fin)

**Réponse** – Il suffit d'écrire les différentielles des applications de changement de variables. Par exemple la différentielle du changement de variables *cylindriques*  $\rightarrow$  *cartésiennes* donne les formules *i*):

$$\begin{aligned} dx &= \frac{\partial x}{\partial \rho} d\rho + \frac{\partial x}{\partial \varphi} d\varphi + \frac{\partial x}{\partial z} dz \\ &= \cos \varphi \, d\rho - \rho \sin \varphi \, d\varphi \\ dy &= \frac{\partial y}{\partial \rho} d\rho + \frac{\partial y}{\partial \varphi} d\varphi + \frac{\partial y}{\partial z} dz \\ &= \sin \varphi \, d\rho + \cos \varphi \, d\varphi \\ dz &= \frac{\partial z}{\partial \rho} d\rho + \frac{\partial z}{\partial \varphi} d\varphi + \frac{\partial z}{\partial z} dz \\ &= dz \end{aligned}$$

Les formules *i'*) s'obtiennent en inversant le système *i*). On procède de la même façon pour les autres formules.

## 2.6 – Jacobienne

Dans cette section:

- Rappel sur les applications linéaires et les matrices
- Matrice Jacobienne et déterminant Jacobien
- Jacobien des changements de variables

### Rappels sur les applications linéaires et les matrices

**Rappel** – Toute application linéaire  $L : \mathbb{R}^n \rightarrow \mathbb{R}^m$  se représente comme une matrice  $A = (a_{ij}) \in \mathcal{M}_{mn}(\mathbb{R})$  (avec  $m$  lignes et  $n$  colonnes) telle que, pour tout  $\vec{v} = (v_1, \dots, v_n) \in \mathbb{R}^n$ , on a

$$L(\vec{v}) = A \vec{v} \quad (\text{produit matrice par vecteur})$$

$$= \begin{pmatrix} a_{11} & a_{12} & \dots & a_{1n} \\ \vdots & \vdots & \dots & \vdots \\ a_{m1} & a_{m2} & \dots & a_{mn} \end{pmatrix} \begin{pmatrix} v_1 \\ \vdots \\ v_n \end{pmatrix}$$

$$= \begin{pmatrix} a_{11} v_1 + \dots + a_{1n} v_n \\ \vdots \\ a_{m1} v_1 + \dots + a_{mn} v_n \end{pmatrix} \in \mathbb{R}^m$$

## Matrice jacobienne

**Définition** – Soit  $f : \mathbb{R}^n \longrightarrow \mathbb{R}^m$  une fonction diff. sur  $D$ .

- La **matrice Jacobienne de  $f$**  est la matrice  $J_f \in \mathcal{M}_{mn}$  associée à  $df$ , c'est à dire telle que

$$df_{\vec{x}}(\vec{v}) = J_f(\vec{x}) \vec{v} \quad \text{pour tout } \vec{x} \in D \text{ et tout } \vec{v} \in \mathbb{R}^n.$$

Si  $(f_1, \dots, f_m)$  sont les composantes de  $f$ , on a alors

$$J_f(\vec{x}) = \begin{pmatrix} \frac{\partial f_1(\vec{x})}{\partial x_1} & \dots & \frac{\partial f_1(\vec{x})}{\partial x_n} \\ \vdots & \dots & \vdots \\ \frac{\partial f_m(\vec{x})}{\partial x_1} & \dots & \frac{\partial f_m(\vec{x})}{\partial x_n} \end{pmatrix} \in \mathcal{M}_{mn}(\mathbb{R}).$$

- Si la matrice Jacobienne est carrée ( $n = m$ ), son déterminant  $\text{Jac } f = \det J_f$  s'appelle **Jacobien de  $f$** .

## Exemples de matrices jacobiennes

**Exemples** –

- Si  $f : \mathbb{R}^2 \longrightarrow \mathbb{R}$ ,  $(x, y) \mapsto f(x, y) = x^2 y$ ,

on a

$$J_f(x, y) = \begin{pmatrix} \frac{\partial f(x, y)}{\partial x} & \frac{\partial f(x, y)}{\partial y} \end{pmatrix} = \begin{pmatrix} 2xy & x^2 \end{pmatrix} \in \mathcal{M}_{12}(\mathbb{R})$$

une matrice ligne.

- Si  $\gamma : \mathbb{R} \longrightarrow \mathbb{R}^2 : t \mapsto \gamma(t) = (\gamma_1(t), \gamma_2(t)) = (2t, t^3 + 1)$ ,

on a

$$J_\gamma(t) = \begin{pmatrix} \gamma'_1(t) \\ \gamma'_2(t) \end{pmatrix} = \begin{pmatrix} 2 \\ 3t^2 \end{pmatrix} \in \mathcal{M}_{21}(\mathbb{R})$$

une matrice colonne, c'est-à-dire un vecteur.

## Exemples de matrices jacobiniennes

- Si  $h : \mathbb{R}^2 \longrightarrow \mathbb{R}^2$   
 $(u, v) \mapsto h(u, v) = (h_1(u, v), h_2(u, v)) = (u^2v, 3u)$ ,  
on a  
$$J_h(u, v) = \begin{pmatrix} \frac{\partial h_1}{\partial u} & \frac{\partial h_1}{\partial v} \\ \frac{\partial h_2}{\partial u} & \frac{\partial h_2}{\partial v} \end{pmatrix} = \begin{pmatrix} 2uv & u^2 \\ 3 & 0 \end{pmatrix} \in \mathcal{M}_{22}(\mathbb{R})$$

et  
$$\text{Jac } h(u, v) = \frac{\partial h_1}{\partial u} \frac{\partial h_2}{\partial v} - \frac{\partial h_2}{\partial u} \frac{\partial h_1}{\partial v} = -3u^2$$

- Si  $g : \mathbb{R} \longrightarrow \mathbb{R}, z \mapsto g(z) = \sin z$ ,  
on a  
$$J_g(z) = \left( g'(z) \right) = \left( \cos z \right) \in \mathcal{M}_{11}(\mathbb{R})$$
  
et  
$$\text{Jac } g(z) = g'(z) = \cos z \in \mathbb{R}$$

## Exemples: Jacobien des changements de variables

- **Polaires :**  $h(\rho, \varphi) = (\rho \cos \varphi, \rho \sin \varphi)$

$$J_h(\rho, \varphi) = \begin{pmatrix} \cos \varphi & -\rho \sin \varphi \\ \sin \varphi & \rho \cos \varphi \end{pmatrix}$$

$$\text{Jac } h(\rho, \varphi) = \rho \cos^2 \varphi + \rho \sin^2 \varphi = \rho$$

- **Cylindriques :**  $h(\rho, \varphi, z) = (\rho \cos \varphi, \rho \sin \varphi, z)$

$$J_h(\rho, \varphi, z) = \begin{pmatrix} \cos \varphi & -\rho \sin \varphi & 0 \\ \sin \varphi & \rho \cos \varphi & 0 \\ 0 & 0 & 1 \end{pmatrix}$$

$$\text{Jac } h(\rho, \varphi, z) = \rho \cos^2 \varphi + \rho \sin^2 \varphi = \rho$$

## Exemples: Jacobien des changements de variables

- **Sphériques :**  $h(r, \varphi, \theta) = (r \cos \varphi \sin \theta, r \sin \varphi \sin \theta, r \cos \theta)$

$$J_h(r, \varphi, \theta) = \begin{pmatrix} \cos \varphi \sin \theta & -r \sin \varphi \sin \theta & r \cos \varphi \cos \theta \\ \sin \varphi \sin \theta & r \cos \varphi \sin \theta & r \sin \varphi \cos \theta \\ \cos \theta & 0 & -r \sin \theta \end{pmatrix}$$

$$\begin{aligned} \text{Jac } h &= \cos \theta \begin{pmatrix} -r^2 \sin^2 \varphi \sin \theta \cos \theta - r^2 \cos^2 \varphi \sin \theta \cos \theta \\ -r \sin \theta (r \cos^2 \varphi \sin^2 \theta + r \sin^2 \varphi \sin^2 \theta) \\ -r^2 \sin \theta \cos^2 \theta - r^2 \sin^3 \theta \\ -r^2 \sin \theta \end{pmatrix} \\ &= -r^2 \sin \theta \cos^2 \theta - r^2 \sin^3 \theta \\ &= -r^2 \sin \theta \end{aligned}$$

## Exercice

**Énoncé** – Calculer le gradient, la différentielle et la matrice jacobienne de la fonction  $f : \mathbb{R}^3 \rightarrow \mathbb{R}$  donnée par

$$f(x, y, z) = z \sin(xy).$$

**Réponse** – On a

$$\vec{\nabla} f(x, y, z) = \begin{pmatrix} yz \cos(xy) \\ xz \cos(xy) \\ \sin(xy) \end{pmatrix}$$

$$df_{(x,y,z)} = yz \cos(xy) dx + xz \cos(xy) dy + \sin(xy) dz$$

$$J_f(x, y, z) = \begin{pmatrix} yz \cos(xy) & xz \cos(xy) & \sin(xy) \end{pmatrix}$$

## Exercice

**Énoncé** – Calculer la différentielle et la matrice Jacobienne de la fonction  $f : \mathbb{R}^3 \longrightarrow \mathbb{R}^2$  donnée par

$$f(x, y, z) = \begin{pmatrix} z \sin x \\ z \sin y \end{pmatrix}.$$

**Réponse** – Pour tout  $\vec{v} = (u, v, w) \in \mathbb{R}^3$ , on a

$$df_{(x,y,z)}(u, v, w) = \begin{pmatrix} z \cos x \\ 0 \end{pmatrix} u + \begin{pmatrix} 0 \\ z \cos y \end{pmatrix} v + \begin{pmatrix} \sin x \\ \sin y \end{pmatrix} w$$

$$J_f(x, y, z) = \begin{pmatrix} z \cos x & 0 & \sin x \\ 0 & z \cos y & \sin y \end{pmatrix}$$

## 2.7 – Résumé sur les dérivées

Dans cette section:

- Résumé sur les dérivées des fonctions réelles
- Résumé sur les dérivées des fonctions vectorielles

## Resumé: dérivées des fonctions réelles

Si  $f : \mathbb{R}^n \rightarrow \mathbb{R}$  est une fonction réelle diff. sur  $D \subset \mathbb{R}^n$  :

- **dérivées partielles**  
= fonctions réelles

$$\frac{\partial f}{\partial x_1}, \dots, \frac{\partial f}{\partial x_n} : D \rightarrow \mathbb{R}$$

- **dérivées directionnelles**  
= fonctions réelles

$$\partial_{\vec{v}} f : D \rightarrow \mathbb{R}$$

$$\partial_{\vec{v}} f = v_1 \frac{\partial f}{\partial x_1} + \dots + v_n \frac{\partial f}{\partial x_n}$$

- **gradient**

= fonction vectorielle

$$\vec{\nabla} f : D \rightarrow \mathbb{R}^n$$

$$\vec{\nabla} f = \begin{pmatrix} \frac{\partial f}{\partial x_1} \\ \vdots \\ \frac{\partial f}{\partial x_n} \end{pmatrix}$$

- **différentielle**

= fonction à valeur applications linéaires

$$df : D \rightarrow \mathcal{L}(\mathbb{R}^n, \mathbb{R})$$

$$df = \frac{\partial f}{\partial x_1} dx_1 + \dots + \frac{\partial f}{\partial x_n} dx_n$$

- **Jacobienne**

= fonction à valeur matrices ligne

$$J_f : D \rightarrow \mathcal{M}_{1n}(\mathbb{R})$$

$$J_f = \left( \frac{\partial f}{\partial x_1} \quad \dots \quad \frac{\partial f}{\partial x_n} \right)$$

## Resumé: dérivées des fonctions vectorielles

Si  $f = (f_1, \dots, f_m) : \mathbb{R}^n \rightarrow \mathbb{R}^m$  est fonction vectorielle diff. sur  $D$  :

- **dérivées partielles**  
= fonctions vectorielles

$$\frac{\partial f}{\partial x_1}, \dots, \frac{\partial f}{\partial x_n} : D \rightarrow \mathbb{R}^m$$

$$\frac{\partial f}{\partial x_i} = \begin{pmatrix} \frac{\partial f_1}{\partial x_i} \\ \vdots \\ \frac{\partial f_m}{\partial x_i} \end{pmatrix}$$

- **dérivées directionnelles**

= fonctions vectorielles

$$\partial_{\vec{v}} f : D \rightarrow \mathbb{R}^m$$

$$\partial_{\vec{v}} f = v_1 \frac{\partial f}{\partial x_1} + \dots + v_n \frac{\partial f}{\partial x_n}$$

- **gradient** “ $\vec{\nabla} f$ ” n’est pas défini

- **différentielle**

= fonction à valeur applications linéaires

$$df : D \rightarrow \mathcal{L}(\mathbb{R}^n, \mathbb{R}^m)$$

mais les “ $dx_j$ ” n’existent pas

- **Jacobienne**

= fonction à valeur dans les matrices

$$J_f : D \subset \mathbb{R}^n \rightarrow \mathcal{M}_{mn}(\mathbb{R})$$

$$J_f = \begin{pmatrix} \frac{\partial f_1}{\partial x_1} & \dots & \frac{\partial f_1}{\partial x_n} \\ \vdots & \vdots & \vdots \\ \frac{\partial f_m}{\partial x_1} & \dots & \frac{\partial f_m}{\partial x_n} \end{pmatrix}$$

## 2.8 – Règle de la chaîne

Dans cette section:

- Dérivées de la somme et du produit de fonctions
- Dérivées de la composée de fonctions
- Transformation des dérivées partielles:  $\frac{\partial}{\partial x}$ ,  $\frac{\partial}{\partial y}$ ,  $\frac{\partial}{\partial z}$ ,  $\frac{\partial}{\partial \rho}$ ,  $\frac{\partial}{\partial \varphi}$ ,  $\frac{\partial}{\partial r}$   
et  $\frac{\partial}{\partial \theta}$

## Dérivées de la somme de fonctions et du produit par scalaire

**Proposition** – Si  $f, g : \mathbb{R}^n \rightarrow \mathbb{R}^m$  sont différentiables, on a :

- $$\frac{\partial(f+g)}{\partial x_i} = \frac{\partial f}{\partial x_i} + \frac{\partial g}{\partial x_i}$$
 pour tout  $i = 1, \dots, n$

Par conséquent  $\vec{\nabla}(f+g) = \vec{\nabla}f + \vec{\nabla}g$  (si  $m=1$ ),

$$d(f+g) = df + dg, \quad J_{f+g} = J_f + J_g$$

- $$\frac{\partial(\lambda f)}{\partial x_i} = \lambda \frac{\partial f}{\partial x_i}$$
 pour tout  $i = 1, \dots, n$  où  $\lambda \in \mathbb{R}$

Par conséquent  $\vec{\nabla}(\lambda f) = \lambda \vec{\nabla}f$  (si  $m=1$ ),

$$d(\lambda f) = \lambda df, \quad J_{\lambda f} = \lambda J_f$$

## Dérivées du produit de fonctions

**Proposition** – Si  $f, g : \mathbb{R}^n \longrightarrow \mathbb{R}$  sont des fonctions réelles différentiables, on a la **règle de Leibniz**:

$$\frac{\partial(fg)}{\partial x_i} = \frac{\partial f}{\partial x_i} g + f \frac{\partial g}{\partial x_i} \quad \text{pour tout } i = 1, \dots, n$$

Par conséquent  $\vec{\nabla}(fg) = (\vec{\nabla}f)g + f(\vec{\nabla}g)$ ,

$$d(fg) = (df)g + f(dg),$$

$$J_{fg} = (J_f)g + f(J_g)$$

## Exemple : règle de Leibniz

**Exemple** – Soit  $f : \mathbb{R}^2 \longrightarrow \mathbb{R}$  définie par  $f(x, y) = xy^2 e^{xy}$ . Le calcul de la différentielle de  $f$  peut se faire directement au moyen de la formule

$$d(xy^2 e^{xy}) = \frac{\partial(xy^2 e^{xy})}{\partial x} dx + \frac{\partial(xy^2 e^{xy})}{\partial y} dy$$

ou en passant par la règle de Leibniz

$$\begin{aligned} d(xy^2 e^{xy}) &= d(xy^2) e^{xy} + xy^2 d(e^{xy}) \\ &= (y^2 dx + 2xy dy) e^{xy} \\ &\quad + xy^2 (y e^{xy} dx + x e^{xy} dy) \\ &= (y^2 + xy^3) e^{xy} dx + (2xy + x^2 y^2) e^{xy} dy \end{aligned}$$

# Dérivées des fonctions composées

**Proposition – Pour deux fonctions**

$$f = (f_1, \dots, f_m) : \mathbb{R}^n \rightarrow \mathbb{R}^m \text{ différentiable en } \vec{x} \in \mathbb{R}^n$$
$$g = (g_1, \dots, g_p) : \mathbb{R}^m \rightarrow \mathbb{R}^p \text{ différentiable en } \vec{y} = f(\vec{x}) \in \mathbb{R}^m$$

la composée  $g \circ f : \mathbb{R}^n \rightarrow \mathbb{R}^p$  est différentiable en  $\vec{x}$  et on a la règle de la chaîne :

$$\bullet \quad \frac{\partial (g \circ f)_j}{\partial x_i}(\vec{x}) = \frac{\partial g_j}{\partial y_1}(f(\vec{x})) \frac{\partial f_1}{\partial x_i}(\vec{x}) + \dots + \frac{\partial g_j}{\partial y_m}(f(\vec{x})) \frac{\partial f_m}{\partial x_i}(\vec{x})$$

pour tout  $i = 1, \dots, n$  et tout  $j = 1, \dots, p$ .

Par conséquent, on a aussi :

$$d(g \circ f)_{\vec{x}} = dg_{f(\vec{x})} \circ df_{\vec{x}} \quad (\text{composition d'applications linéaires})$$

$$J_{g \circ f}(\vec{x}) = J_g(f(\vec{x})) \cdot J_f(\vec{x}) \quad (\text{produit de matrices})$$

## Cas usuels de fonctions composées

• **Cas usuel 1 –**

$$\text{Si } f : \mathbb{R}^2 \rightarrow \mathbb{R}, (x, y) \mapsto f(x, y) = z$$

$$g : \mathbb{R} \rightarrow \mathbb{R}, z \mapsto g(z)$$

$$g \circ f : \mathbb{R}^2 \rightarrow \mathbb{R}, (x, y) \mapsto g(f(x, y))$$

on a

$$\left\{ \begin{array}{l} \frac{\partial (g \circ f)}{\partial x}(x, y) = \frac{dg}{dz}(f(x, y)) \frac{\partial f}{\partial x}(x, y) \\ \frac{\partial (g \circ f)}{\partial y}(x, y) = \frac{dg}{dz}(f(x, y)) \frac{\partial f}{\partial y}(x, y) \end{array} \right.$$

$$d(g \circ f)_{(x, y)} = \frac{dg}{dz}(f(x, y)) df_{(x, y)}$$

$$J_{g \circ f}(x, y) = \frac{dg}{dz}(f(x, y)) J_f(x, y)$$

## Exercice: cas usuel 1

**Énoncé** – Soit  $f : \mathbb{R}^2 \rightarrow \mathbb{R}$  une fonction dont on connaît

$$\frac{\partial f(x,y)}{\partial x} = 2xy \quad \text{et} \quad \frac{\partial f(x,y)}{\partial y} = x^2 - 2y.$$

Pour  $F(x,y) = \ln f(x,y)$ , calculer  $\frac{\partial F}{\partial x}$  et  $\frac{\partial F}{\partial y}$ .

**Réponse** – Si on pose  $g(z) = \ln z$ , on a  $F = g \circ f$  et donc

$$\frac{\partial F(x,y)}{\partial x} = \frac{dg}{dz}(f(x,y)) \frac{\partial f}{\partial x}(x,y) = \frac{2xy}{f(x,y)}$$

$$\frac{\partial F(x,y)}{\partial y} = \frac{dg}{dz}(f(x,y)) \frac{\partial f}{\partial y}(x,y) = \frac{x^2 - 2y}{f(x,y)}$$

## Cas usuels de fonctions composées

- **Cas usuel 2** –

Si  $f : \mathbb{R}^2 \rightarrow \mathbb{R}$ ,  $(x,y) \mapsto f(x,y)$

$h : \mathbb{R}^2 \rightarrow \mathbb{R}^2$ ,  $(u,v) \mapsto h(u,v) = (x(u,v), y(u,v))$

$f \circ h : \mathbb{R}^2 \rightarrow \mathbb{R}$ ,  $(u,v) \mapsto f(x(u,v), y(u,v))$

on a

$$\left\{ \begin{array}{l} \frac{\partial(f \circ h)}{\partial u}(u,v) = \frac{\partial f}{\partial x}(h(u,v)) \frac{\partial x}{\partial u}(u,v) + \frac{\partial f}{\partial y}(h(u,v)) \frac{\partial y}{\partial u}(u,v) \\ \frac{\partial(f \circ h)}{\partial v}(u,v) = \frac{\partial f}{\partial x}(h(u,v)) \frac{\partial x}{\partial v}(u,v) + \frac{\partial f}{\partial y}(h(u,v)) \frac{\partial y}{\partial v}(u,v) \end{array} \right.$$

$$d(f \circ h)_{(u,v)} = df_{h(u,v)} \circ dh_{(u,v)}$$

$$J_{f \circ h}(u,v) = J_f(h(u,v)) J_h(u,v)$$

## Exercice: cas usuel 2

**Énoncé** – Soit  $f : \mathbb{R}^2 \rightarrow \mathbb{R}$  une fonction dont on connaît

$$\frac{\partial f(x,y)}{\partial x} = 2xy \quad \text{et} \quad \frac{\partial f(x,y)}{\partial y} = x^2 - 2y.$$

Pour  $G(u, v) = f(v, uv^2)$ , calculer  $\frac{\partial G}{\partial u}$  et  $\frac{\partial G}{\partial v}$ .

**Réponse** – Si on pose  $h(u, v) = (v, uv^2) = (x, y)$ , c. à d.  $x = v$  et  $y = uv^2$ , on a  $G = f \circ h$  et donc

$$\begin{aligned} \frac{\partial G(u,v)}{\partial u} &= \frac{\partial f}{\partial x}(v, uv^2) \frac{\partial x}{\partial u}(u,v) + \frac{\partial f}{\partial y}(v, uv^2) \frac{\partial y}{\partial u}(u,v) \\ &= 2v uv^2 \cdot 0 + (v^2 - 2uv^2) \cdot v^2 \\ &= (1 - 2u)v^4 \end{aligned}$$

$$\begin{aligned} \frac{\partial G(u,v)}{\partial v} &= \frac{\partial f}{\partial x}(v, uv^2) \frac{\partial x}{\partial v}(u,v) + \frac{\partial f}{\partial y}(v, uv^2) \frac{\partial y}{\partial v}(u,v) \\ &= 2v uv^2 \cdot 1 + (v^2 - 2uv^2) \cdot 2uv \\ &= 4u(1 - u)v^3 \end{aligned}$$

## Cas usuels de fonctions composées

### • Cas usuel 3 –

Si  $f : \mathbb{R}^2 \rightarrow \mathbb{R}$ ,  $(x, y) \mapsto f(x, y)$

$\gamma : \mathbb{R} \rightarrow \mathbb{R}^2$ ,  $t \mapsto \gamma(t) = (x(t), y(t))$

$f \circ \gamma : \mathbb{R} \rightarrow \mathbb{R}$ ,  $t \mapsto f(x(t), y(t))$

on a

$$\frac{d(f \circ \gamma)(t)}{dt} = \frac{\partial f}{\partial x}(\gamma(t)) \dot{x}(t) + \frac{\partial f}{\partial y}(\gamma(t)) \dot{y}(t)$$

$$d(f \circ \gamma)_t = df_{\gamma(t)} \circ d\gamma_t$$

$$J_{f \circ \gamma}(t) = J_f(\gamma(t)) J_\gamma(t)$$

## Exercice: cas usuel 3

**Énoncé** – Soit  $f : \mathbb{R}^2 \rightarrow \mathbb{R}$  une fonction dont on connaît

$$\frac{\partial f(x,y)}{\partial x} = 2xy \quad \text{et} \quad \frac{\partial f(x,y)}{\partial y} = x^2 - 2y.$$

Pour  $H(t) = f(t^2, 3t)$ , calculer  $\frac{dH(t)}{dt}$ .

**Réponse** – Si on pose  $\gamma(t) = (t^2, 3t) = (x, y)$ ,

c. à d.  $\begin{cases} x = t^2 \\ y = 3t \end{cases}$ , on a  $H = f \circ \gamma$  et donc

$$\begin{aligned} \frac{dH(t)}{dt} &= \frac{d(f \circ \gamma)(t)}{dt} \\ &= \frac{\partial f}{\partial x}(t^2, 3t) \dot{x}(t) + \frac{\partial f}{\partial y}(t^2, 3t) \dot{y}(t) \\ &= 2t^2 \cdot 3t \cdot 2t + (t^4 - 6t) \cdot 3 \\ &= 15t^4 - 18t \end{aligned}$$

## Exercice

**Énoncé** – Soit  $f : \mathbb{R}^2 \rightarrow \mathbb{R}$  la fonction  $f(x, y) = xy^2$ .

1) Soit  $g : \mathbb{R} \rightarrow \mathbb{R}$  une fonction telle que  $g'(z) = \sqrt{z}$ .  
Calculer  $\frac{\partial g(xy^2)}{\partial x}$  et  $\frac{\partial g(xy^2)}{\partial y}$ .

**Réponse** – On veut calculer les dérivées de  $g \circ f$ , donc on applique la règle de la chaîne:

$$\begin{aligned} \frac{\partial g(xy^2)}{\partial x} &= g'(xy^2) \frac{\partial (xy^2)}{\partial x} \\ &= \sqrt{xy^2} \cdot y^2 \end{aligned}$$

$$\begin{aligned} \frac{\partial g(xy^2)}{\partial y} &= g'(xy^2) \frac{\partial (xy^2)}{\partial y} \\ &= 2xy \sqrt{xy^2} \end{aligned}$$

## Exercice (suite)

2) Soit  $(x, y) = h(u, v) = (x(u, v), y(u, v))$  un changement de variables dont on connaît la matrice Jacobienne

$$J_h(u, v) = \begin{pmatrix} \frac{\partial x}{\partial u} & \frac{\partial x}{\partial v} \\ \frac{\partial y}{\partial u} & \frac{\partial y}{\partial v} \end{pmatrix} = \begin{pmatrix} 0 & 1 \\ v^2 & 2uv \end{pmatrix},$$

et soit  $\tilde{f} = f \circ h$ . Calculer  $\frac{\partial \tilde{f}}{\partial u}(u, v)$  et  $\frac{\partial \tilde{f}}{\partial v}(u, v)$ .

**Réponse** – On applique la règle de la chaîne:

$$\begin{aligned} \frac{\partial \tilde{f}}{\partial u}(u, v) &= \frac{\partial f}{\partial x}(h(u, v)) \frac{\partial x}{\partial u}(u, v) + \frac{\partial f}{\partial y}(h(u, v)) \frac{\partial y}{\partial u}(u, v) \\ &= y(u, v)^2 \cdot 0 + 2x(u, v)y(u, v)v^2 \\ \frac{\partial \tilde{f}}{\partial v}(u, v) &= \frac{\partial f}{\partial x}(h(u, v)) \frac{\partial x}{\partial v}(u, v) + \frac{\partial f}{\partial y}(h(u, v)) \frac{\partial y}{\partial v}(u, v) \\ &= y(u, v)^2 \cdot 1 + 2x(u, v)y(u, v)2uv \end{aligned}$$

## Exercice (suite)

**Réponse (suite)**–

En alternative, on peut passer par les matrices Jacobiennes.  
Puisque

$$J_f(x, y) = \begin{pmatrix} \frac{\partial f(x, y)}{\partial x} & \frac{\partial f(x, y)}{\partial y} \end{pmatrix} = \begin{pmatrix} y^2 & 2xy \end{pmatrix},$$

on a

$$\begin{aligned} J_{\tilde{f}}(u, v) &= J_f(h(u, v)) \cdot J_h(u, v) \\ &= \begin{pmatrix} y(u, v)^2 & 2x(u, v)y(u, v) \end{pmatrix} \cdot \begin{pmatrix} 0 & 1 \\ v^2 & 2uv \end{pmatrix} \\ &= \begin{pmatrix} y^2 \cdot 0 + 2xy \cdot v^2 & y^2 \cdot 1 + 2xy \cdot 2uv \end{pmatrix} \\ &= \begin{pmatrix} 2v^2 x(u, v)y(u, v) & y(u, v)^2 + 4uvx(u, v)y(u, v) \end{pmatrix} \end{aligned}$$

## Exercice (suite)

3) Soit  $\gamma(t) = (x(t), y(t))$  une trajectoire dans  $\mathbb{R}^2$  dépendante du paramètre  $t$ . Calculer la dérivée en  $t$  de la fonction  $t \mapsto f(x(t), y(t))$ .

**Réponse** – On veut calculer la dérivée de la fonction  $f \circ \gamma$ , donc on applique la règle de la chaîne:

$$\begin{aligned} \frac{df(x(t), y(t))}{dt} &= \frac{\partial f}{\partial x}(x(t), y(t)) \dot{x}(t) + \frac{\partial f}{\partial y}(x(t), y(t)) \dot{y}(t) \\ &= y(t)^2 \dot{x}(t) + 2x(t)y(t) \dot{y}(t) \end{aligned}$$

## Exercice : transformation des dérivées partielles

**Énoncé** – Soient  $(x, y, z)$  les coordonnées cartésiennes des points de  $\mathbb{R}^3$ ,  $(\rho, \varphi, z)$  les coordonnées cylindriques et  $(r, \varphi, \theta)$  les coordonnées sphériques. On rappelle que

$$\begin{cases} x = \rho \cos \varphi \\ y = \rho \sin \varphi \\ z = z \end{cases} \quad \text{et} \quad \begin{cases} x = r \cos \varphi \sin \theta \\ y = r \sin \varphi \sin \theta \\ z = r \cos \theta \end{cases}$$

avec

$$\begin{cases} \rho \in ]0, \infty[ \\ \varphi \in [0, 2\pi[ \end{cases} \quad \text{et} \quad \begin{cases} r \in ]0, \infty[ \\ \varphi \in [0, 2\pi[ \\ \theta \in ]0, \pi[ \end{cases}$$

Montrer que les dérivées partielles  $\left\{ \frac{\partial}{\partial x}, \frac{\partial}{\partial y}, \frac{\partial}{\partial z} \right\}$ ,  $\left\{ \frac{\partial}{\partial \rho}, \frac{\partial}{\partial \varphi}, \frac{\partial}{\partial z} \right\}$  et  $\left\{ \frac{\partial}{\partial r}, \frac{\partial}{\partial \varphi}, \frac{\partial}{\partial \theta} \right\}$  satisfont aux formules suivantes :

## Exercice (suite)

$$(i) \left\{ \begin{array}{l} \frac{\partial}{\partial \rho} = \cos \varphi \frac{\partial}{\partial x} + \sin \varphi \frac{\partial}{\partial y} \\ \frac{1}{\rho} \frac{\partial}{\partial \varphi} = -\sin \varphi \frac{\partial}{\partial x} + \cos \varphi \frac{\partial}{\partial y} \\ \frac{\partial}{\partial z} = \frac{\partial}{\partial z} \end{array} \right.$$

$$(i') \left\{ \begin{array}{l} \frac{\partial}{\partial x} = \cos \varphi \frac{\partial}{\partial \rho} - \sin \varphi \frac{1}{\rho} \frac{\partial}{\partial \varphi} \\ \frac{\partial}{\partial y} = \sin \varphi \frac{\partial}{\partial \rho} + \cos \varphi \frac{1}{\rho} \frac{\partial}{\partial \varphi} \\ \frac{\partial}{\partial z} = \frac{\partial}{\partial z} \end{array} \right.$$

## Exercice (suite)

$$(ii) \left\{ \begin{array}{l} \frac{\partial}{\partial r} = \cos \varphi \sin \theta \frac{\partial}{\partial x} + \sin \varphi \sin \theta \frac{\partial}{\partial y} + \cos \theta \frac{\partial}{\partial z} \\ \frac{1}{r \sin \theta} \frac{\partial}{\partial \varphi} = -\sin \varphi \frac{\partial}{\partial x} + \cos \varphi \frac{\partial}{\partial y} \\ \frac{1}{r} \frac{\partial}{\partial \theta} = \cos \varphi \cos \theta \frac{\partial}{\partial x} + \sin \varphi \cos \theta \frac{\partial}{\partial y} - \sin \theta \frac{\partial}{\partial z} \end{array} \right.$$

$$(ii') \left\{ \begin{array}{l} \frac{\partial}{\partial x} = \cos \varphi \sin \theta \frac{\partial}{\partial r} - \sin \varphi \frac{1}{r \sin \theta} \frac{\partial}{\partial \varphi} + \cos \varphi \cos \theta \frac{1}{r} \frac{\partial}{\partial \theta} \\ \frac{\partial}{\partial y} = \sin \varphi \sin \theta \frac{\partial}{\partial r} + \cos \varphi \frac{1}{r \sin \theta} \frac{\partial}{\partial \varphi} + \sin \varphi \cos \theta \frac{1}{r} \frac{\partial}{\partial \theta} \\ \frac{\partial}{\partial z} = \cos \theta \frac{\partial}{\partial r} - \sin \theta \frac{1}{r} \frac{\partial}{\partial \theta} \end{array} \right.$$

## Exercice (suite)

$$(iii) \left\{ \begin{array}{l} \frac{\partial}{\partial r} = \sin \theta \frac{\partial}{\partial \rho} + \cos \theta \frac{\partial}{\partial z} \\ \frac{1}{r \sin \theta} \frac{\partial}{\partial \varphi} = \frac{1}{\rho} \frac{\partial}{\partial \varphi} \\ \frac{1}{r} \frac{\partial}{\partial \theta} = \cos \theta \frac{\partial}{\partial \rho} - \sin \theta \frac{\partial}{\partial z} \end{array} \right.$$

$$(iii') \left\{ \begin{array}{l} \frac{\partial}{\partial \rho} = \sin \theta \frac{\partial}{\partial r} + \cos \theta \frac{1}{r} \frac{\partial}{\partial \theta} \\ \frac{1}{\rho} \frac{\partial}{\partial \varphi} = \frac{1}{r \sin \theta} \frac{\partial}{\partial \varphi} \\ \frac{\partial}{\partial z} = \cos \theta \frac{\partial}{\partial r} - \sin \theta \frac{1}{r} \frac{\partial}{\partial \theta} \end{array} \right.$$

## Exercice (suite)

**Réponse** – Montrons (i). Pour cela on applique la règle de la chaîne à la composée  $\tilde{f} = f \circ h$  où  $(x, y, z) = h(\rho, \varphi, z)$  est le changement de variables des coordonnées cylindriques en coordonnées cartésiennes. On a alors:

$$\begin{aligned} \frac{\partial \tilde{f}}{\partial \rho} &= \frac{\partial f}{\partial x} \frac{\partial x}{\partial \rho} + \frac{\partial f}{\partial y} \frac{\partial y}{\partial \rho} + \frac{\partial f}{\partial z} \frac{\partial z}{\partial \rho} \\ &= \cos \varphi \frac{\partial f}{\partial x} + \sin \varphi \frac{\partial f}{\partial y} \\ \frac{\partial \tilde{f}}{\partial \varphi} &= \frac{\partial f}{\partial x} \frac{\partial x}{\partial \varphi} + \frac{\partial f}{\partial y} \frac{\partial y}{\partial \varphi} + \frac{\partial f}{\partial z} \frac{\partial z}{\partial \varphi} \\ &= -r \sin \varphi \frac{\partial f}{\partial x} + r \cos \varphi \frac{\partial f}{\partial y} \\ \frac{\partial \tilde{f}}{\partial z} &= \frac{\partial f}{\partial x} \frac{\partial x}{\partial z} + \frac{\partial f}{\partial y} \frac{\partial y}{\partial z} + \frac{\partial f}{\partial z} \frac{\partial z}{\partial z} \\ &= \frac{\partial f}{\partial z} \end{aligned}$$

d'où suivent les formules (i). Les formules (i') en découlent par inversion du système.

## Exercice (suite)

- Pour montrer les formules (ii), on applique cette méthode à la composée  $\tilde{f} = f \circ h$  où  $(x, y, z) = h(r, \varphi, \theta)$  est le changement de variables des coordonnées sphériques en coordonnées cartésiennes.

On a alors:

$$\begin{aligned}\frac{\partial \tilde{f}}{\partial r} &= \frac{\partial f}{\partial x} \frac{\partial x}{\partial r} + \frac{\partial f}{\partial y} \frac{\partial y}{\partial r} + \frac{\partial f}{\partial z} \frac{\partial z}{\partial r} \\ &= \cos \varphi \sin \theta \frac{\partial f}{\partial x} + \sin \varphi \sin \theta \frac{\partial f}{\partial y} + \cos \theta \frac{\partial f}{\partial z} \\ \frac{\partial \tilde{f}}{\partial \varphi} &= \frac{\partial f}{\partial x} \frac{\partial x}{\partial \varphi} + \frac{\partial f}{\partial y} \frac{\partial y}{\partial \varphi} + \frac{\partial f}{\partial z} \frac{\partial z}{\partial \varphi} \\ &= -\rho \sin \varphi \sin \theta \frac{\partial f}{\partial x} + \rho \cos \varphi \sin \theta \frac{\partial f}{\partial y} \\ \frac{\partial \tilde{f}}{\partial \theta} &= \frac{\partial f}{\partial x} \frac{\partial x}{\partial \theta} + \frac{\partial f}{\partial y} \frac{\partial y}{\partial \theta} + \frac{\partial f}{\partial z} \frac{\partial z}{\partial \theta} \\ &= r \cos \varphi \cos \theta \frac{\partial f}{\partial x} + r \sin \varphi \cos \theta \frac{\partial f}{\partial y} - r \sin \theta \frac{\partial f}{\partial z}\end{aligned}$$

- On inverse le système (ii) pour obtenir (ii').
- On combine les (i) à (ii') pour obtenir (iii) et (iii').

## 2.9 – Hessienne

Dans cette section:

- Dérivées d'ordre supérieur
- Théorème de Schwarz
- Matrice Hessienne
- Laplacien, fonctions harmoniques

# Dérivées partielles d'ordre supérieur

**Définition** – Soit  $f : D \subset \mathbb{R}^n \rightarrow \mathbb{R}$  différentiable. Si les dérivées partielles  $\frac{\partial f}{\partial x_i} : D \subset \mathbb{R}^n \rightarrow \mathbb{R}$  sont à leur tour différentiables, on peut calculer leurs dérivées partielles.

• Pour tout  $k \in \mathbb{N}$ , les **dérivées partielles d'ordre  $k$**  de  $f$  sont les fonctions qu'on obtient en dérivant  $f$  successivement  $k$  fois:

$$\frac{\partial^k f}{\partial x_{i_1} \cdots \partial x_{i_k}} = \frac{\partial}{\partial x_{i_1}} \cdots \frac{\partial f}{\partial x_{i_k}}$$

Par exemple, si  $f : \mathbb{R}^2 \rightarrow \mathbb{R}$  est fonction de  $(x, y)$ , on a:

$$\frac{\partial^2 f}{\partial x^2} = \frac{\partial}{\partial x} \frac{\partial f}{\partial x}, \quad \frac{\partial^2 f}{\partial x \partial y} = \frac{\partial}{\partial x} \frac{\partial f}{\partial y}, \quad \frac{\partial^2 f}{\partial y \partial x} = \frac{\partial}{\partial y} \frac{\partial f}{\partial x}, \quad \frac{\partial^2 f}{\partial y^2} = \frac{\partial}{\partial y} \frac{\partial f}{\partial y}.$$

• La fonction  $f$  est **de classe  $C^k$**  si ses dérivées d'ordre  $k$  existent et sont des fonctions continues. La fonction  $f$  est **lisse** ou **de classe  $C^\infty$**  si elle est  $C^k$  pour tout  $k \in \mathbb{N}$ .

## Théorème de Schwarz

**Théorème** – Si les dérivées secondes  $\frac{\partial^2 f}{\partial x_i \partial x_j}$  existent et sont continue en un point  $\vec{x}$ , pour tout  $i, j = 1, \dots, n$ , alors

$$\frac{\partial^2 f}{\partial x_i \partial x_j}(\vec{x}) = \frac{\partial^2 f}{\partial x_j \partial x_i}(\vec{x}) \quad \text{pour tout } i \neq j.$$

**Corollaire** – Si  $f$  est une fonction de classe  $C^k$  (ou lisse), alors toutes ses dérivées mixtes jusqu'à l'ordre  $k$  (ou  $\infty$ ) ayant le même nombre de dérivées en chaque  $x_i$ , coincident indépendamment de l'ordre dans lequel elles sont calculées.

## Exemple : dérivées secondes

**Exemple** –  $f(x, y) = x^3y^2$

$$\left\{ \begin{array}{l} \frac{\partial f}{\partial x}(x, y) = 3x^2y^2 \\ \frac{\partial f}{\partial y}(x, y) = 2x^3y \end{array} \right.$$

$$\left\{ \begin{array}{l} \frac{\partial^2 f}{\partial x^2}(x, y) = 6xy^2 \\ \frac{\partial^2 f}{\partial y^2}(x, y) = 6x^3y \\ \frac{\partial^2 f}{\partial x \partial y}(x, y) = 6x^2y \\ \frac{\partial^2 f}{\partial y \partial x}(x, y) = 6x^2y \end{array} \right.$$

L'on constate que les dérivées partielles sont continues (donc  $f$  est de classe  $C^2$ ) et que les dérivées mixtes sont identiques.

## Exercice

**Énoncé** – Soient  $F, G : \mathbb{R} \rightarrow \mathbb{R}$  de classe  $C^2$  et soit  $c \in \mathbb{R}^*$ .  
Montrer que le fonction  $u(x, t) = F(x - ct) + G(x + ct)$  est solution de l'équation des ondes

$$\frac{1}{c^2} \frac{\partial^2 u}{\partial t^2}(x, t) - \frac{\partial^2 u}{\partial x^2}(x, t) = 0$$

pour tout  $(x, t) \in \mathbb{R}^2$ .

**Réponse** – La fonction  $u$  est de classe  $C^2$  car composée de fonctions  $C^2$ . On a

$$\begin{aligned} \frac{\partial u}{\partial x}(x, t) &= F'(x - ct) \frac{\partial(x-ct)}{\partial x} + G'(x + ct) \frac{\partial(x+ct)}{\partial x} \\ &= F'(x - ct) + G'(x + ct) \\ \frac{\partial u}{\partial t}(x, t) &= F'(x - ct) \frac{\partial(x-ct)}{\partial t} + G'(x + ct) \frac{\partial(x+ct)}{\partial t} \\ &= -c F'(x - ct) + c G'(x + ct) \end{aligned}$$

## Exercice (suite)

d'où

$$\begin{aligned}\frac{\partial^2 u}{\partial x^2}(x, t) &= F''(x - ct) \frac{\partial(x-ct)}{\partial x} + G''(x + ct) \frac{\partial(x+ct)}{\partial x} \\ &= F''(x - ct) + G''(x + ct), \\ \frac{\partial^2 u}{\partial t^2}(x, t) &= -c F''(x - ct) \frac{\partial(x-ct)}{\partial t} + c G''(x + ct) \frac{\partial(x+ct)}{\partial t} \\ &= (-c)^2 F''(x - ct) + c^2 G''(x + ct).\end{aligned}$$

Ainsi

$$\frac{1}{c^2} \frac{\partial^2 u}{\partial t^2}(x, t) - \frac{\partial^2 u}{\partial x^2}(x, t) = 0.$$

## Matrice Hessienne

**Définition** – Soit  $f : \mathbb{R}^n \rightarrow \mathbb{R}$  de classe  $C^2$  en  $\vec{x}$ .

- La **matrice Hessienne** de  $f$  en  $\vec{x}$  est la matrice carrée de taille  $n$  contenant toutes les dérivées secondes de  $f$  en  $\vec{x}$ :

$$H_f(\vec{x}) = \begin{pmatrix} \frac{\partial^2 f}{\partial x_1^2}(\vec{x}) & \frac{\partial^2 f}{\partial x_1 \partial x_2}(\vec{x}) & \cdots & \frac{\partial^2 f}{\partial x_1 \partial x_n}(\vec{x}) \\ \frac{\partial^2 f}{\partial x_2 \partial x_1}(\vec{x}) & \frac{\partial^2 f}{\partial x_2^2}(\vec{x}) & \cdots & \frac{\partial^2 f}{\partial x_2 \partial x_n}(\vec{x}) \\ \vdots & \vdots & \ddots & \vdots \\ \frac{\partial^2 f}{\partial x_n \partial x_1}(\vec{x}) & \frac{\partial^2 f}{\partial x_n \partial x_2}(\vec{x}) & \cdots & \frac{\partial^2 f}{\partial x_n^2}(\vec{x}) \end{pmatrix}$$

Cette matrice est symétrique par le théorème de Schwarz.

- Son déterminant s'appelle le **Hessien** de  $f$

$$\text{Hess } f(\vec{x}) = \det H_f(\vec{x})$$

## Exemple: matrice Hessienne

**Exemple** –

Pour  $g(x, y, z) = x \sin y + y \sin z$ , on a

$$\vec{\nabla}g(x, y, z) = \begin{pmatrix} \sin y \\ x \cos y + \sin z \\ y \cos z \end{pmatrix}$$

puis

$$H_g(x, y, z) = \begin{pmatrix} 0 & \cos y & 0 \\ \cos y & -x \sin y & \cos z \\ 0 & \cos z & -y \sin z \end{pmatrix}$$

d'où

$$\begin{aligned} \det H_g(x, y, z) &= -\cos y \begin{pmatrix} -y \cos y \sin z & 0 \end{pmatrix} \\ &= y \cos^2 y \sin z \end{aligned}$$

## Exercice

**Énoncé** – Montrer que le Hessien de la fonction

$$f(x, y) = \sin(x - y)$$

est nul en tout point  $(x, y) \in \mathbb{R}^2$ .

**Réponse** – On a

$$\vec{\nabla}f(x, y) = \begin{pmatrix} \cos(x - y) \\ -\cos(x - y) \end{pmatrix}$$

puis

$$H_f(x, y) = \begin{pmatrix} -\sin(x - y) & \sin(x - y) \\ \sin(x - y) & -\sin(x - y) \end{pmatrix}$$

d'où

$$\det H_f(x, y) = (-\sin(x - y))^2 - (\sin(x - y))^2 = 0$$

# Laplacien

**Définition** – Soit  $f : D \subset \mathbb{R}^n \rightarrow \mathbb{R}$  une fonction  $C^2$  au point  $\vec{x} \in D$ .

- Le **Laplacien** de  $f$  en  $\vec{x}$  est la trace de la matrice Hessienne  $H_f(\vec{x})$ :

$$\Delta f(\vec{x}) = \frac{\partial^2 f}{\partial x_1^2}(\vec{x}) + \dots + \frac{\partial^2 f}{\partial x_n^2}(\vec{x})$$

- La fonction  $f$  est dite **harmonique** si

$$\Delta f(\vec{x}) = 0$$

en tout point  $\vec{x} \in D$ .

## Interprétation géométrique du Laplacien

**Proposition** – Soit  $f : D \subset \mathbb{R}^2 \rightarrow \mathbb{R}$  de classe  $C^2$ . Si

- $C$  est un carré de taille  $h \times h$  contenu dans  $D$ , et
- $\mu(f, C)$  est la valeur moyenne de  $f$  sur  $C$ ,

alors, pour tout point  $(a, b) \in C$ , on a

$$\mu(f, C) = f(a, b) + \frac{h^2}{24} \Delta f(a, b) + O(h^4)$$

N.B. Moyenne au Ch.3:  $\mu(f, C) = \frac{1}{h^2} \iint_C f(x, y) dx dy$ .

**Remarque** – Cela signifie que la différence  $f(a, b) - \mu(f, C)$  est proportionnelle à  $\Delta f(a, b)$ , et que la constante de proportionnalité ne dépend que de la taille du carré où on calcule la moyenne  $\mu(f, C)$ .

## Exercice

**Énoncé** – Trouver les valeurs de  $c \in \mathbb{R}^*$  pour lesquelles la fonction  $u(x, t) = x^2 - c^2 t^2$  est harmonique.

**Réponse** – On a

$$\vec{\nabla}u(x, t) = \begin{pmatrix} 2x \\ -2c^2 t \end{pmatrix}$$

puis

$$H_u(x, t) = \begin{pmatrix} 2 & 0 \\ 0 & -2c^2 \end{pmatrix}.$$

Par conséquent

$$\Delta u(x, t) = 2 - 2c^2,$$

donc  $\Delta u(x, t) = 0$  si et seulement si  $c = \pm 1$ .

## Exercice

**Énoncé** – Soient  $f : \mathbb{R} \rightarrow \mathbb{R}$  une fonction de classe  $C^2$  et  $F(x, y) = f(\sqrt{x^2 + y^2})$ .

1) Déterminer le Laplacien de  $F$  en tout point  $(x, y) \neq (0, 0)$ .

**Réponse** – Il s'agit de calculer  $\Delta F = \frac{\partial^2 F}{\partial x^2} + \frac{\partial^2 F}{\partial y^2}$ .

En utilisant la règle de la chaîne on trouve:

$$\begin{aligned} \frac{\partial F(x, y)}{\partial x} &= \frac{\partial f(\sqrt{x^2 + y^2})}{\partial x} \\ &= f'(\sqrt{x^2 + y^2}) \frac{\partial \sqrt{x^2 + y^2}}{\partial x} \\ &= f'(\sqrt{x^2 + y^2}) \frac{x}{\sqrt{x^2 + y^2}} \end{aligned}$$

$$\begin{aligned} \frac{\partial F(x, y)}{\partial y} &= \frac{\partial f(\sqrt{x^2 + y^2})}{\partial y} \\ &= f'(\sqrt{x^2 + y^2}) \frac{y}{\sqrt{x^2 + y^2}}. \end{aligned}$$

## Exercice (suite)

Puis, en utilisant aussi la règle de Leibniz, on trouve:

$$\begin{aligned}\frac{\partial^2 F(x,y)}{\partial x^2} &= \frac{\partial}{\partial x} \left( f'(\sqrt{x^2+y^2}) \frac{x}{\sqrt{x^2+y^2}} \right) \\ &= \frac{\partial f'(\sqrt{x^2+y^2})}{\partial x} \frac{x}{\sqrt{x^2+y^2}} + f'(\sqrt{x^2+y^2}) \frac{\partial}{\partial x} \left( \frac{x}{\sqrt{x^2+y^2}} \right) \\ &= f''(\sqrt{x^2+y^2}) \left( \frac{x}{\sqrt{x^2+y^2}} \right)^2 + f'(\sqrt{x^2+y^2}) \frac{\sqrt{x^2+y^2} - x \frac{x}{\sqrt{x^2+y^2}}}{x^2+y^2} \\ &= f''(\sqrt{x^2+y^2}) \frac{x^2}{x^2+y^2} + f'(\sqrt{x^2+y^2}) \frac{y^2}{(x^2+y^2)\sqrt{x^2+y^2}},\end{aligned}$$

et de la même façon

$$\frac{\partial^2 F(x,y)}{\partial y^2} = f''(\sqrt{x^2+y^2}) \frac{y^2}{x^2+y^2} + f'(\sqrt{x^2+y^2}) \frac{x^2}{(x^2+y^2)\sqrt{x^2+y^2}}.$$

## Exercice (suite)

On a donc

$$\begin{aligned}\Delta F(x,y) &= \frac{\partial^2 F(x,y)}{\partial x^2} + \frac{\partial^2 F(x,y)}{\partial y^2} \\ &= f''(\sqrt{x^2+y^2}) \frac{x^2+y^2}{x^2+y^2} + f'(\sqrt{x^2+y^2}) \frac{x^2+y^2}{(x^2+y^2)\sqrt{x^2+y^2}} \\ &= f''(\sqrt{x^2+y^2}) + f'(\sqrt{x^2+y^2}) \frac{1}{\sqrt{x^2+y^2}}.\end{aligned}$$

**Énoncé (suite)** –

2) Trouver les fonctions  $f$  telles que  $\Delta F(x,y) = \sqrt{x^2+y^2}$ .

**Réponse** – En termes de  $f$ , l'équation s'écrit

$$f''(\sqrt{x^2+y^2}) + f'(\sqrt{x^2+y^2}) \frac{1}{\sqrt{x^2+y^2}} = \sqrt{x^2+y^2}$$

et dépend de la seule variable réelle  $r = \sqrt{x^2+y^2} > 0$ .

## Exercice (suite)

- Finalement, on doit résoudre l'équation différentielle du 2ème ordre non homogène et à coefficients non constants

$$(E) \quad f''(r) + \frac{1}{r} f'(r) = r$$

- Pour cela, on transforme (E) en un système d'équations différentielles du 1er ordre:

$$\left\{ \begin{array}{l} f'(r) = g(r) \end{array} \right. \quad (E1)$$

$$\left\{ \begin{array}{l} g'(r) + \frac{1}{r} g(r) = r \end{array} \right. \quad (E2)$$

On trouve  $g$  avec (E2) puis on reporte dans (E1) et on trouve  $f$ .

- Les solutions de (E2) sont de la forme  $g = g_0 + g_p$ , où  $g_0$  est la solution générale de l'équation homogène associée

$$(E2^*) \quad g_0'(r) + \frac{1}{r} g_0(r) = 0$$

et  $g_p$  est une solution particulière de (E2) obtenue par la méthode de la variation de la constante.

## Exercice (suite)

- Explicitement, pour tout  $\lambda \in \mathbb{R}$ , on a

$$(E2^*) \quad g_0(r) = \lambda e^{-\int \frac{1}{r} dr} = \lambda e^{-\ln r} = \lambda e^{\ln(\frac{1}{r})} = \frac{\lambda}{r}$$

- On pose  $g_p(r) = \frac{\lambda(r)}{r}$ , ce qui donne  $g_p'(r) = \frac{\lambda'(r)}{r} - \frac{\lambda(r)}{r^2}$  :

$$(E2) \quad g_p'(r) + \frac{1}{r} g_p(r) = r \Leftrightarrow \frac{\lambda'(r)}{r} = r \Leftrightarrow \lambda'(r) = r^2$$

On peut choisir  $\lambda(r) = \frac{r^3}{3}$ , d'où  $g_p(r) = \frac{r^2}{3}$ .

- On a donc  $g(r) = g_0(r) + g_p(r) = \frac{\lambda}{r} + \frac{r^2}{3}$  pour tout  $\lambda \in \mathbb{R}$ .

- Enfin, les solutions de (E) sont celles de (E1) :

$$(E1) \quad f'(r) = \frac{\lambda}{r} + \frac{r^2}{3} \Leftrightarrow f(r) = \lambda \ln(r) + \frac{r^3}{9} + \mu$$

pour tout  $\lambda, \mu \in \mathbb{R}$ .

## 2.10 – Taylor

Dans cette section:

- Développement de Taylor
- Approximation et erreur relative

### Théorème de Taylor

**Théorème de Taylor** –

*Toute fonction  $f : \mathbb{R}^n \rightarrow \mathbb{R}$  de classe  $C^k$  autour d'un point  $\vec{a}$  peut être approximée en tout point  $\vec{x}$  proche de  $\vec{a}$  par un polynôme de degré  $k$  en  $\vec{x} - \vec{a}$ , appelé **polynôme de Taylor**, avec coefficients dépendant seulement des dérivées de  $f$  en  $\vec{a}$ .*

**Rappel** – Si  $f : \mathbb{R} \rightarrow \mathbb{R}$  est une fonction de classe  $C^2$  sur un intervalle  $I \subset \mathbb{R}$  qui contient  $a$ , alors pour tout  $x \in I$  on a

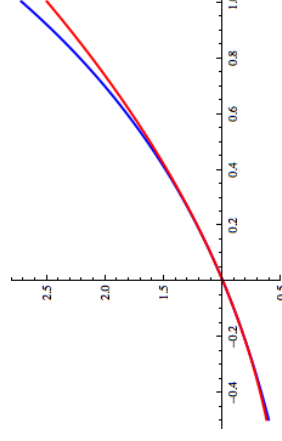
$$f(x) = f(a) + f'(a)(x - a) + \frac{1}{2}f''(a)(x - a)^2 + o((x - a)^2).$$

Par exemple, voici le graphe de

$$f(x) = e^x \quad (\text{en bleu})$$

et celui de son polynôme de Taylor de degré 2 en  $a = 0$ ,

$$P(x) = 1 + x + x^2/2 \quad (\text{en rouge}).$$



## Formule de Taylor en deux variables

**Théorème de Taylor** – Soit  $f : \mathbb{R}^2 \rightarrow \mathbb{R}$  une fonction de classe  $C^2$  sur un disque  $D \subset \mathbb{R}^2$  qui contient un point  $(a, b)$ .

Alors, pour tout  $(x, y) \in D$ , on a

$$\begin{aligned} f(x, y) = & f(a, b) + \frac{\partial f(a,b)}{\partial x}(x-a) + \frac{\partial f(a,b)}{\partial y}(y-b) \\ & + \frac{1}{2} \frac{\partial^2 f(a,b)}{\partial x^2}(x-a)^2 + \frac{\partial^2 f(a,b)}{\partial x \partial y}(x-a)(y-b) + \frac{1}{2} \frac{\partial^2 f(a,b)}{\partial y^2}(y-b)^2 \\ & + o(\|(x-a, y-b)\|^2) \end{aligned}$$

où  $o(h)$  est une fonction qui tend vers zéro plus vite de  $h \rightarrow 0$ .

### Écritures alternatives:

terme à l'ordre 1 =  $df_{(a,b)}(x-a, y-b) = J_f(a, b) \begin{pmatrix} x-a \\ y-b \end{pmatrix}$ ,

terme à l'ordre 2 =  $\frac{1}{2} \begin{pmatrix} x-a & y-b \end{pmatrix} H_f(a, b) \begin{pmatrix} x-a \\ y-b \end{pmatrix}$ .

## Exemple

**Exemple** – Soit  $f(x, y) = \frac{x-1}{y-1}$  et  $(a, b) = (0, 0)$ .

On calcule  $f(0, 0) = 1$ , puis

$$J_f(x, y) = \left( \frac{1}{y-1} \quad -\frac{x-1}{(y-1)^2} \right) \quad \text{d'où} \quad J_f(0, 0) = \begin{pmatrix} -1 & 1 \end{pmatrix}.$$

Enfin

$$H_f(x, y) = \begin{pmatrix} 0 & -\frac{1}{(y-1)^2} \\ -\frac{1}{(y-1)^2} & \frac{2(x-1)}{(y-1)^3} \end{pmatrix}$$

d'où

$$H_f(0, 0) = \begin{pmatrix} 0 & -1 \\ -1 & 2 \end{pmatrix}$$

Ainsi:  $\frac{x-1}{y-1} = 1 - x + y - xy + y^2 + o(\|(x, y)\|^2)$ .

## Exercice

**Énoncé** – La pression  $P$  d'un gaz parfait est fonction de la température  $T$  et du volume  $V$  selon la loi

$$P(T, V) = nR \frac{T}{V},$$

où  $n$  est la quantité de matière (moles) et  $R$  est la constante universelle d'un gaz parfait.

On voudrait connaître la pression du gaz qui se trouve à l'état  $(T, V)$ , mais la mesure de cet état nous donne les valeurs  $(T_0, V_0)$  avec une **erreur relative**

$$\left| \frac{T - T_0}{T_0} \right| < 0.005 \% \quad \text{et} \quad \left| \frac{V - V_0}{V_0} \right| < 0.002 \%.$$

Quelle est l'erreur relative induite par cette mesure sur la valeur  $P(V_0, T_0)$  de la pression?

## Exercice (suite)

**Réponse** – On cherche une borne supérieure pour  $\left| \frac{P - P_0}{P_0} \right|$ , où  $P = P(T, V)$  et  $P_0 = P(T_0, V_0)$ .

Pour cela, on utilise le développement de Taylor de  $P(T, V)$  à l'ordre 1, autour de  $(T_0, V_0)$ :

$$\begin{aligned} P - P_0 &\simeq dP_{(T_0, V_0)}(T - T_0, V - V_0) \\ &= \frac{\partial P}{\partial T}(T_0, V_0) (T - T_0) + \frac{\partial P}{\partial V}(T_0, V_0) (V - V_0) \\ &= nR \frac{T - T_0}{V_0} - nR \frac{T_0(V - V_0)}{V_0^2}. \end{aligned}$$

On a alors

$$\frac{P - P_0}{P_0} \simeq nR \frac{T - T_0}{V_0 nR \frac{T_0}{V_0}} - nR \frac{T_0(V - V_0)}{V_0^2 nR \frac{T_0}{V_0}} = \frac{T - T_0}{T_0} - \frac{V - V_0}{V_0}$$

d'où suit

$$\left| \frac{P - P_0}{P_0} \right| \leq \left| \frac{T - T_0}{T_0} \right| + \left| \frac{V - V_0}{V_0} \right| < 0.005 \% + 0.002 \% = 0.007 \%.$$

## 2.11 – Extrema locaux

Dans cette section:

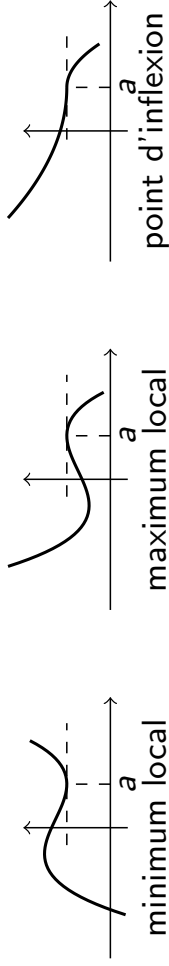
- Rappels sur les fonctions d'une variable
- Extrema locaux
- Points critiques et critère pour trouver les extrema locaux
- Points cols
- Points plats

### Rappels sur les fonctions d'une variable

**Rappel** – Si  $f : \mathbb{R} \rightarrow \mathbb{R}$  est dérivable en  $a$  et non constante, la croissance ou décroissance de  $f$  en  $a$  est décelée par le signe de  $f'(a)$  (positif ou négatif).

- Que se passe-t-il si  $f'(a) = 0$  (*point critique*) ?

Si  $f'(a) = 0$ , la tangente au graphe de  $f$  est horizontale, on est dans l'un des cas suivants:



Pour savoir lequel, on regarde la convexité (*minimum local*) ou la concavité (*maximum local*) donnée par le signe de  $f''(a)$  (positif ou négatif).

- Que se passe-t-il si  $f''(a) = 0$  (*point plat*) ?

Si  $f''(a) = 0$ , on continue à dériver: si la première dérivée non nulle est d'ordre pair, on a un min ou un max local (selon le signe).

Si elle est d'ordre impair, on a un point d'inflexion.

## Minima et maxima locaux

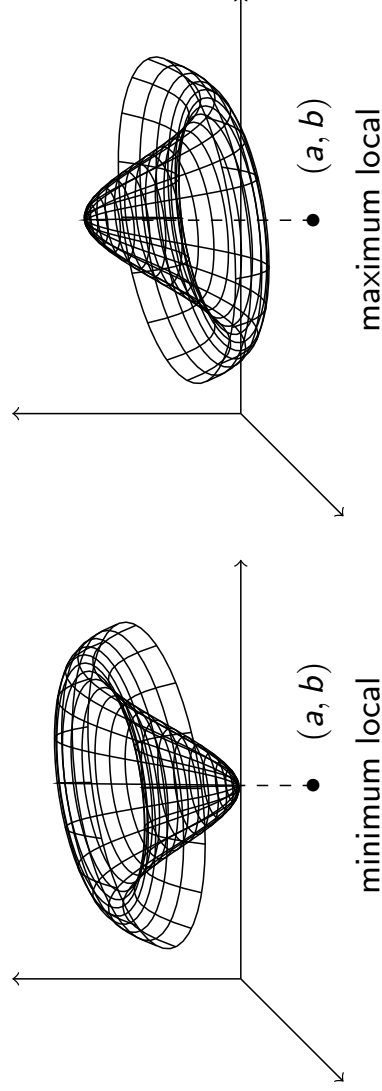
**Définition** – Soit  $f : \mathbb{R}^2 \rightarrow \mathbb{R}$  une fonction. On dit qu'un point  $(a, b) \in D_f$  est un **extremum local** de  $f$  s'il est

• soit un **minimum local**:  $f(a, b) < f(x, y)$

pour tout  $(x, y)$  dans un voisinage de  $(a, b)$ ,

• soit un **maximum local**:  $f(a, b) > f(x, y)$

pour tout  $(x, y)$  dans un voisinage de  $(a, b)$ .



## Points critiques et critère pour extrema locaux

Soit  $f : \mathbb{R}^2 \rightarrow \mathbb{R}$  une fonction de classe  $C^2$  au point  $(a, b)$ .

**Définition** –  $(a, b)$  est un **point critique** de  $f$  si  $\vec{\nabla}f(a, b) = \begin{pmatrix} 0 \\ 0 \end{pmatrix}$

**Proposition** – Si  $(a, b)$  est un point critique de  $f$ , le plan tangent au graphe de  $f$  au point  $(a, b, f(a, b))$  est horizontal.

**Théorème** – Soit  $(a, b)$  un point critique de  $f$ .

Si  $\det H_f(a, b) > 0$  alors  $(a, b)$  est un extremum local :

• si  $\frac{\partial^2 f}{\partial x^2}(a, b) > 0$  ou  $\frac{\partial^2 f}{\partial y^2}(a, b) > 0$  ou  $\text{tr } H_f(a, b) > 0$

alors  $(a, b)$  est un minimum local,

• si  $\frac{\partial^2 f}{\partial x^2}(a, b) < 0$  ou  $\frac{\partial^2 f}{\partial y^2}(a, b) < 0$  ou  $\text{tr } H_f(a, b) < 0$

alors  $(a, b)$  est un maximum local.

## Exemple de minimum local

**Exemple** – Montrons que la fonction

$$f(x, y) = x^2 + y^2$$

a exactement un minimum local en  $(0, 0)$ .

- Cherchons d'abord les points critiques:

$$\vec{\nabla}f(x, y) = \begin{pmatrix} 2x \\ 2y \end{pmatrix} = \begin{pmatrix} 0 \\ 0 \end{pmatrix} \iff (x, y) = (0, 0)$$

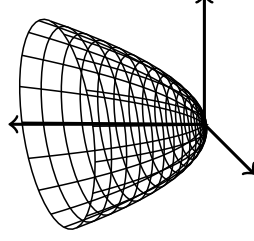
ainsi  $(0, 0)$  est le seul point critique de  $f$ .

- Cherchons sa nature:

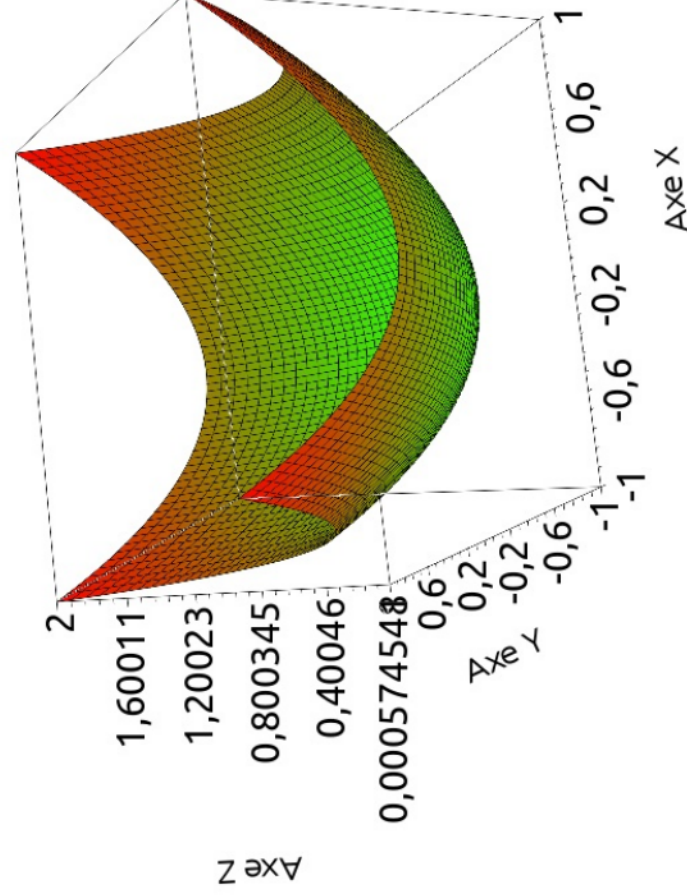
$$H_f(x, y) = \begin{pmatrix} 2 & 0 \\ 0 & 2 \end{pmatrix} \text{ donc } \begin{cases} \det H_f(0, 0) = 4 > 0 \\ \frac{\partial^2 f}{\partial x^2}(0, 0) = 2 > 0 \end{cases}$$

ainsi  $(0, 0)$  est un minimum local.

- En effet, le graphe de  $f$  est:



Graphe de  $f(x, y) = x^2 + y^2$



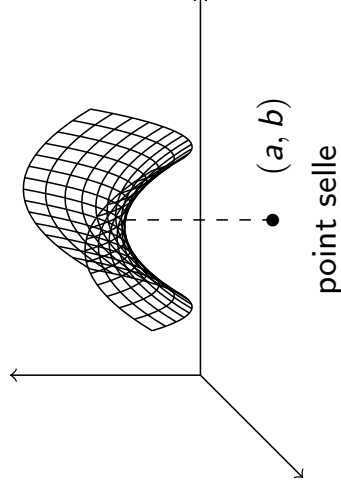
Graphe de  $f(x, y) = x^2 + y^2$

## Points selle

En un point critique, la fonction  $f$  a un plan tangent horizontale. Si le point n'est pas un extremum local, quelle est la forme de  $f$  ?

**Définition** – Soit  $(a, b)$  un point critique de la fonction  $f$ .

Si en  $(a, b)$  la fonction  $f$  a un minimum dans une direction et un maximum dans une autre, le point  $(a, b)$  s'appelle **point col** ou **point selle**:



**Théorème** – Soit  $f : \mathbb{R}^2 \rightarrow \mathbb{R}$  une fonction  $C^2$  et soit  $(a, b)$  un point critique de  $f$ .

Si  $\det H_f(a, b) < 0$  alors  $(a, b)$  est un point selle.

## Exemple de point selle

**Exemple** – Montrons que la fonction

$$f(x, y) = x^2 - y^2$$

a exactement un point selle en  $(0, 0)$ .

- Cherchons d'abord les points critiques:

$$\vec{\nabla} f(x, y) = \begin{pmatrix} 2x \\ -2y \end{pmatrix} = \begin{pmatrix} 0 \\ 0 \end{pmatrix} \iff (x, y) = (0, 0)$$

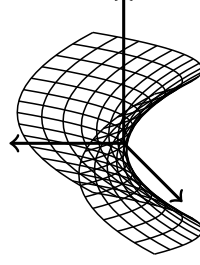
ainsi  $(0, 0)$  est le seul point critique de  $f$ .

- Cherchons sa nature:

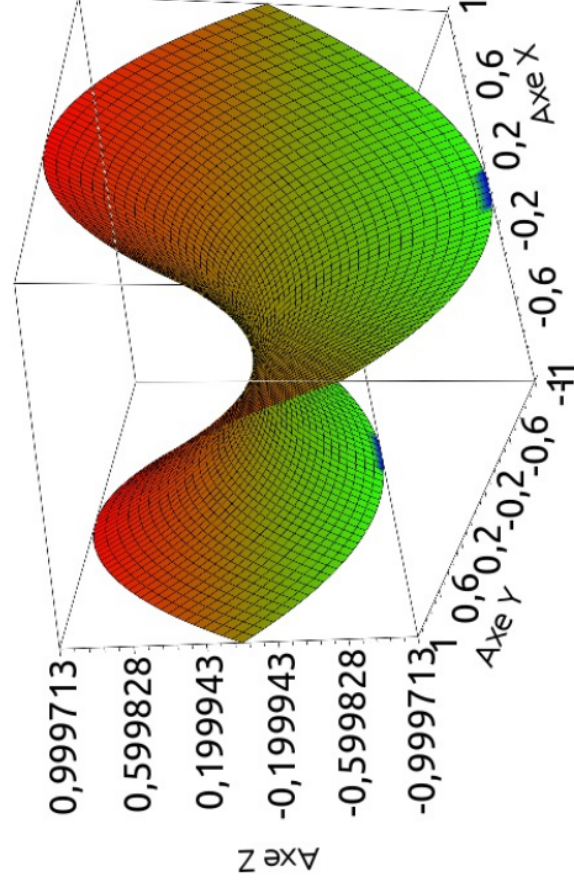
$$H_f(x, y) = \begin{pmatrix} 2 & 0 \\ 0 & -2 \end{pmatrix} \text{ donc } \det H_f(0, 0) = -4 < 0$$

ainsi  $(0, 0)$  est un point col.

- En effet, le graphe de  $f$  est:



## Graphe de $f(x, y) = x^2 - y^2$



Graphe de  $f(x, y) = x^2 - y^2$

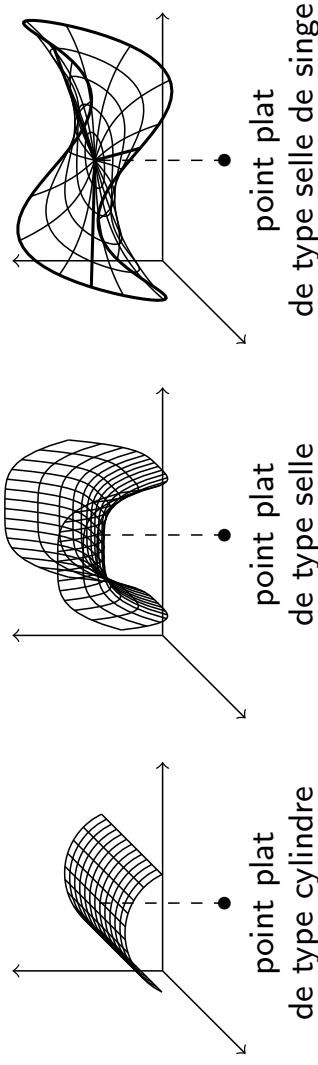
## Points plats

**Définition** – Soit  $f : \mathbb{R}^2 \rightarrow \mathbb{R}$  une fonction  $C^2$  et soit  $(a, b)$  un point critique de  $f$ . Par exclusion, on dit que  $(a, b)$  est un **point plat** si

$$\det H_f(a, b) = 0$$

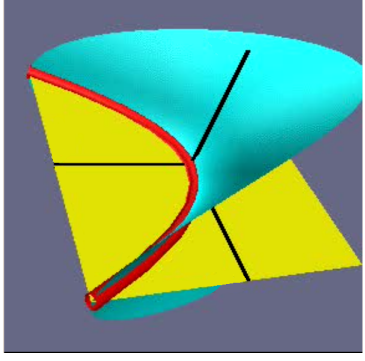
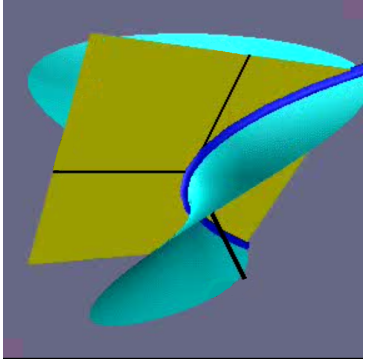
Un tel point se trouve au croisement de directions où  $f$  a

- soit au moins une direction plate (cylindre),
- soit un minimum et un maximum au même temps (selle),
- soit des inflexions (selle de singe).

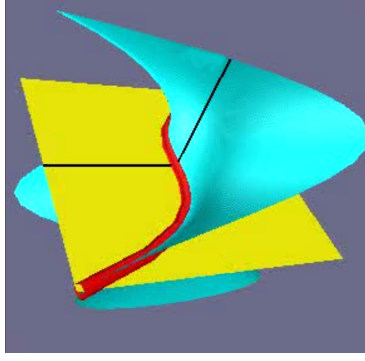
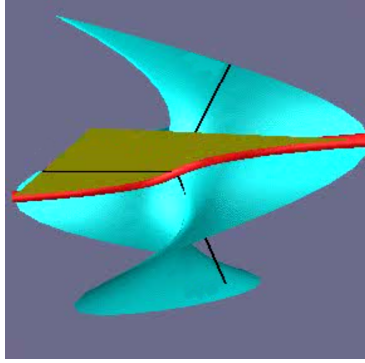


On distingue ces types avec les dérivées d'ordre supérieur à 2.

## Points col et points plat



Un point col non plat ( $z = x^2 - y^2$ ) ou plat ( $z = x^4 - y^4$ )



Un point plat à selle de singe ( $z = x^3 - 3xy^2$ )

## Exercice

**Énoncé** – Déterminer les points critiques de la fonction

$$f(x, y) = 4(x^2 + y^2) - (x^2 + y^2)^2$$

et, si possible, leur nature.

**Réponse** – Cherchons d'abord les points critiques:

$$\vec{\nabla}f(x, y) = \begin{pmatrix} 8x - 4x(x^2 + y^2) \\ 8y - 4y(x^2 + y^2) \end{pmatrix} = \begin{pmatrix} 0 \\ 0 \end{pmatrix} \iff$$

$$\begin{cases} x(2 - x^2 - y^2) = 0 \\ y(2 - x^2 - y^2) = 0 \end{cases} \iff \begin{cases} \text{soit } (x, y) = (0, 0) \\ \text{soit } x^2 + y^2 = 2 \end{cases}$$

Par conséquent,  $f$  a

- un cercle de points critiques d'équation  $x^2 + y^2 = 2$
- et un point critique isolé de coordonnées  $(0, 0)$ .

## Exercice (suite)

Cherchons la nature de ces points critiques:

$$H_f(x, y) = \begin{pmatrix} 8 - 12x^2 - 4y^2 & -8xy \\ -8xy & 8 - 12y^2 - 4x^2 \end{pmatrix}$$

- Pour le point  $(0, 0)$ , on a

$$\det H_f(0, 0) = \det \begin{pmatrix} 8 & 0 \\ 0 & 8 \end{pmatrix} = 64 > 0 \quad \text{et} \quad \frac{\partial^2 f}{\partial x^2}(0, 0) = 8 > 0$$

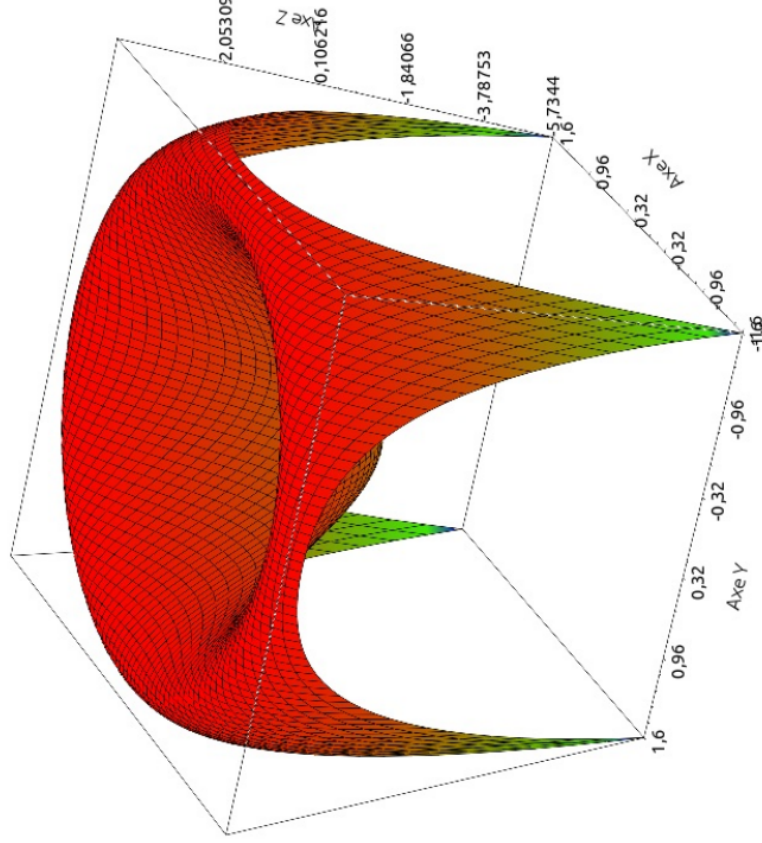
donc  $(0, 0)$  est un minimum local.

- Pour les points  $(x, y)$  tels que  $x^2 + y^2 = 2$ , on a

$$\det H_f(x, y) = \det \begin{pmatrix} -8x^2 & -8xy \\ -8xy & -8y^2 \end{pmatrix} = 0$$

donc tous les points du cercle  $x^2 + y^2 = 2$  sont plats.

Graphe de  $f(x, y) = 4(x^2 + y^2) - (x^2 + y^2)^2$



Graphe de  $f(x, y) = 4(x^2 + y^2) - (x^2 + y^2)^2$



# Chapitre 3

## Intégrales multiples

- 3.1 – Intégrales de Riemann (rappels de TMB)
- 3.2 – Intégrales doubles
- 3.3 – Intégrales triples
- 3.4 – Aire, volume, moyenne et centre de masse

### 3.1 – Intégrales de Riemann (rappels de TMB)

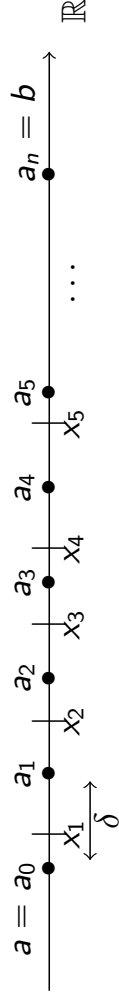
Dans cette section:

- Subdivisions, somme de Riemann et intégrale de Riemann d'une fonction d'une variable
- Aire sous le graphe d'une fonction
- Primitives et techniques d'intégration

# Subdivision, somme et intégrale de Riemann

**Rappels** – Soit  $f : [a, b] \rightarrow \mathbb{R}$  une fonction d’une variable:

- **subdivision** de  $[a, b]$ :  $S_n = \{a = a_0 < a_1 < \dots < a_n = b\}$



- **somme de Riemann** de  $f$  aux points  $x_i \in [a_{i-1}, a_i]$ :

$$R_\delta(f; \{x_i\}) = \sum_{i=1}^n f(x_i) \delta.$$

- **intégrale de Riemann** de  $f$  sur  $[a, b]$ :

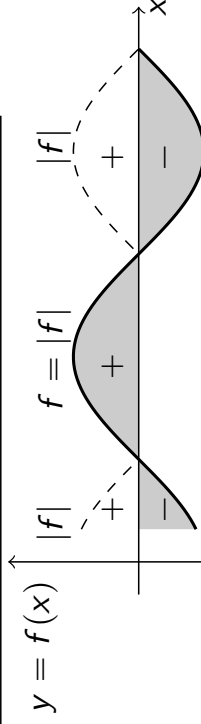
$$\int_a^b f(x) dx = \lim_{\substack{n \rightarrow \infty \\ \text{tout } x_i}} R_\delta(f; \{x_i\})$$

si la limite existe, est finie, et ne dépend pas des  $x_i$ .

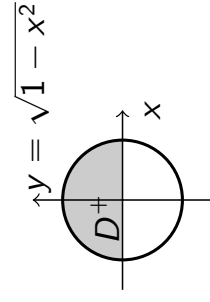
## L’intégrale donne l’aire sous le graphe

**Rappels** -

- $\int_a^b f(x) dx = \text{aire "algébrique" sous le graphe de } f$
- $\int_a^b |f(x)| dx = \text{aire sous le graphe de } f \text{ (positive)}$



**Exemple:** L’aire du disque



$$D = \{(x, y) \in \mathbb{R}^2 \mid x^2 + y^2 \leq 1\}$$

se calcule comme une intégrale:

$$\text{Aire}(D) = 2 \text{Aire}(D^+) = 2 \int_{-1}^1 \sqrt{1 - x^2} dx$$

# Primitives et techniques d'intégration

Pour connaître l'intégral, il suffit de connaître une primitive:

- Une **primitive de  $f$  sur  $[a, b]$**  est une fonction  $F$  dérivable telle que  $F'(x) = f(x)$  pour tout  $x \in [a, b]$ . On note  $F(x) = \int f(x) dx$ .

• **Théorème fondamental:**

$$\int_a^b f(x) dx = F(b) - F(a) = [F(x)]_a^b.$$

- **Intégration par changement de variable:**  $x = h(t)$

$$\int f(x) dx = \int f(h(t)) h'(t) dt,$$

où  $h$  est un difféomorphisme (bijection dérivable avec réciproque  $h^{-1}$  dérivable).

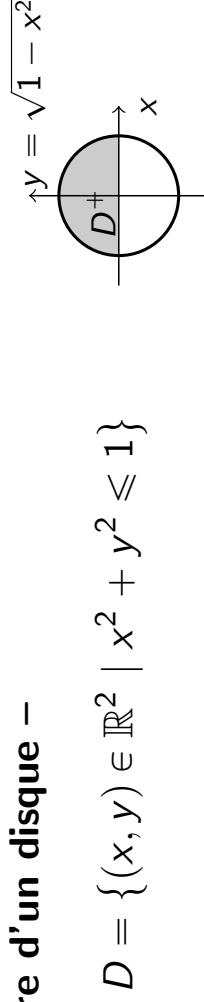
• **Intégration par parties:**

$$\int f(x) g'(x) dx = f(x) g(x) - \int f'(x) g(x) dx.$$

**Problème** – Pas d'analogie pour les fonctions de plusieurs variables!

## Exemple: aire d'un disque

**Aire d'un disque** –

$$D = \{(x, y) \in \mathbb{R}^2 \mid x^2 + y^2 \leq 1\}$$


$$\text{Aire}(D) = 2 \text{Aire}(D^+) = 2 \int_{-1}^1 \sqrt{1-x^2} dx$$

Calcul par changement de variable:  $x = \sin t$  pour  $t \in [-\frac{\pi}{2}, \frac{\pi}{2}]$ , car  $\sqrt{1-x^2} = \cos t$ . Alors  $dx = \cos t dt$  et

$$\begin{aligned} \text{Aire}(D) &= 2 \int_{-\pi/2}^{\pi/2} \cos^2 t dt \\ &= 2 \int_{-\pi/2}^{\pi/2} \frac{\cos(2t) + 1}{2} dt \\ &= \left[ \frac{1}{2} \sin(2t) + t \right]_{-\pi/2}^{\pi/2} = \left( 0 + \frac{\pi}{2} - 0 + \frac{\pi}{2} \right) = \pi. \end{aligned}$$

## 3.2 – Intégrales doubles

Dans cette section:

- Subdivisions des domaines du plan
- Sommes de Riemann des fonctions de deux variables
- Intégrale double
- Volume sous le graphe d'une fonction
- Théorème de Fubini
- Théorème du changement de variables

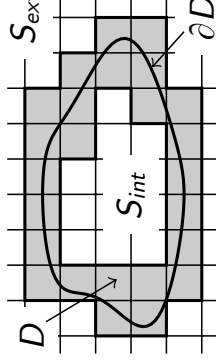
### Subdivisions d'un domaine du plan

Soit  $D \subset \mathbb{R}^2$  un ensemble borné, avec bord  $\partial D$  lisse (au moins par morceaux).

**Définition** – Pour tout  $\delta > 0$ , on appelle **subdivision de  $D$**  l'ensemble  $\mathcal{S}_\delta$  des carrés  $K_i$  de côté  $\delta$  du plan qui couvrent  $D$  dans n'importe quel grillage de pas  $\delta$ .

En particulier, on considère deux recouvrements:

- un à l'**extérieur**  $\mathcal{S}_\delta^{\text{ext}}$ ,
- un à l'**intérieur**  $\mathcal{S}_\delta^{\text{int}}$ .



Puisque  $D$  est borné, les subdivisions contiennent un nombre fini de carrés, et on a  $\mathcal{S}_\delta^{\text{int}} \subset \mathcal{S}_\delta^{\text{ext}}$ .

Les carrés dans  $\mathcal{S}_\delta^{\text{ext}} \setminus \mathcal{S}_\delta^{\text{int}}$  couvrent exactement le bord  $\partial D$ .

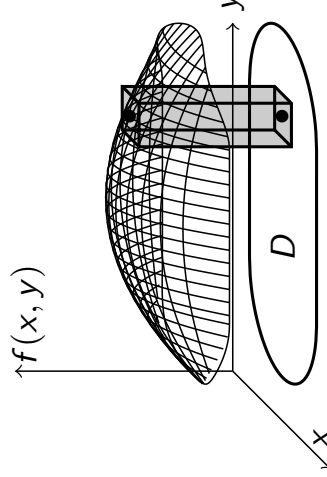
## Sommes de Riemann d'une fonction de deux variables

Soit  $f : D \rightarrow \mathbb{R}$  une fonction de deux variables.

**Définition** – Pour tout choix de points  $(x_i, y_i) \in K_i \cap D$ , on appelle **sommes de Riemann de  $f$**  associées aux subdivisions  $S_\delta^{\text{ext/int}}$  et aux points  $\{(x_i, y_i)\}$  les sommes

$$R_\delta^{\text{ext/int}}(f, \{(x_i, y_i)\}) = \sum_{K_i \in S_\delta^{\text{ext/int}}} f(x_i, y_i) \delta^2,$$

où chaque terme  $f(x_i, y_i) \delta^2$  représente le **volume algébrique** (=  $\pm$  volume) du parallélépipède de base  $K_i$  et hauteur  $f(x_i, y_i)$ .



## Intégrale double

**Théorème** – Si les limites  $\lim_{\delta \rightarrow 0} R_\delta^{\text{ext/int}}(f; \{(x_i, y_i)\})$  existent et elles sont indépendantes du choix des points  $(x_i, y_i) \in K_i \cap D$ , alors elles coïncident.

**Définition** – Dans ce cas:

- on appelle **intégrale double de  $f$  sur  $D$**  cette limite:

$$\iint_D f(x, y) \, dx \, dy = \lim_{\delta \rightarrow 0} R_\delta^{\text{ext/int}}(f; \{(x_i, y_i)\}).$$

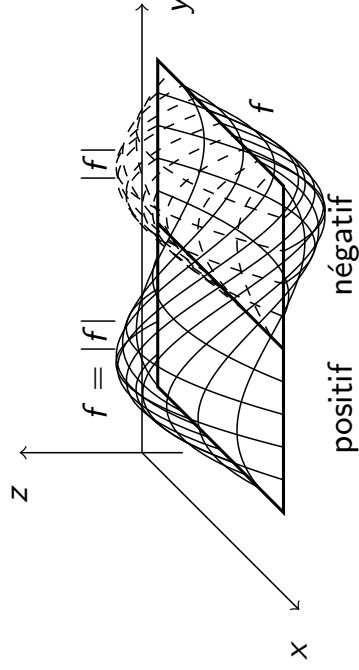
- on dit que  $f$  est **intégrable sur  $D$  selon Riemann** si l'intégrale  $\iint_D f(x, y) \, dx \, dy$  est finie (= nombre, pas  $\pm\infty$ ).

**Proposition** – Toute fonction  $f$  continue est intégrable selon Riemann sur un ensemble  $D$  borné à bord lisse (par morceaux).

# Signification géométrique de l'intégrale double

**Corollaire** –

- $\iint_D f(x, y) \, dx \, dy = \text{volume "algébrique" sous le graphe de } f.$
- $\iint_D |f(x, y)| \, dx \, dy = \text{volume sous le graphe de } f.$



## Exemple 1: volume d'une boule

**Volume d'une boule** – Le volume de la boule

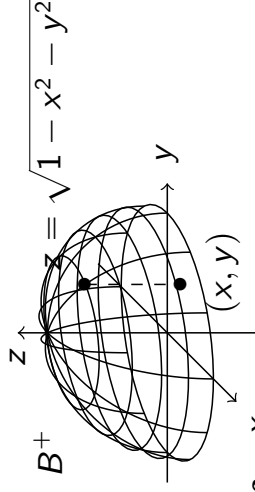
$$B = \{(x, y, z) \in \mathbb{R}^3 \mid x^2 + y^2 + z^2 \leq 1\}$$

est deux fois le volume de la demi-boule

$$B^+ = \{(x, y, z) \in \mathbb{R}^3 \mid x^2 + y^2 + z^2 \leq 1, z \geq 0\},$$

qui se trouve sous le graphe de la fonction

$$z = \sqrt{1 - x^2 - y^2}.$$



On a alors

$$\text{Vol}(B) = 2 \iint_D \sqrt{1 - x^2 - y^2} \, dx \, dy$$

où  $D = \{(x, y) \in \mathbb{R}^2 \mid x^2 + y^2 \leq 1\}$  est le disque unitaire.

## Propriétés des intégrales doubles

**Propriétés** – 1) Pour tout  $\lambda, \mu \in \mathbb{R}$ , on a

$$\iint_D (\lambda f + \mu g) \, dx \, dy = \lambda \iint_D f \, dx \, dy + \mu \iint_D g \, dx \, dy.$$

2) Si  $D = D_1 \cup D_2$  et  $D_1 \cap D_2 = \emptyset$  ou point, alors

$$\iint_D f(x, y) \, dx \, dy = \iint_{D_1} f(x, y) \, dx \, dy + \iint_{D_2} f(x, y) \, dx \, dy.$$

$$3) \left| \iint_D f(x, y) \, dx \, dy \right| \leq \iint_D |f(x, y)| \, dx \, dy.$$

4) Si  $f(x, y) \leq g(x, y)$  pour tout  $(x, y) \in D$ , alors

$$\iint_D f(x, y) \, dx \, dy \leq \iint_D g(x, y) \, dx \, dy.$$

## Théorème de Fubini sur un rectangle

**Théorème de Fubini sur un rectangle** – Soit  $f : D \rightarrow \mathbb{R}$  une fonction continue et  $D = [a, b] \times [c, d]$  un rectangle. Alors on a

$$\begin{aligned} \iint_D f(x, y) \, dx \, dy &= \int_a^b \left( \int_c^d f(x, y) \, dy \right) dx \\ &= \int_c^d \left( \int_a^b f(x, y) \, dx \right) dy \end{aligned}$$

**Notation** –  $\int_a^b dx \int_c^d dy f(x, y) = \int_a^b \left( \int_c^d f(x, y) \, dy \right) dx$

**Corollaire** –  $\iint_{[a,b] \times [c,d]} f_1(x) f_2(y) \, dx \, dy = \int_a^b f_1(x) \, dx \int_c^d f_2(y) \, dy$

## Exemple 2: calcul d'intégrales doubles

Exemples –

- $$\begin{aligned} \iint_{[0,1] \times [0,\pi/2]} x \cos y \, dx \, dy &= \int_0^1 x \, dx \int_0^{\pi/2} \cos y \, dy \\ &= \left[ \frac{1}{2} x^2 \right]_0^1 \left[ \sin y \right]_0^{\pi/2} = \frac{1}{2} \end{aligned}$$
- $$\begin{aligned} \iint_{[-1,1] \times [0,1]} (x^2 y - 1) \, dx \, dy &= \int_{-1}^1 dx \int_0^1 (x^2 y - 1) \, dy \\ &= \int_{-1}^1 dx \left[ \frac{1}{2} x^2 y^2 - y \right]_{y=0}^{y=1} \\ &= \int_{-1}^1 \left( \frac{1}{2} x^2 - 1 \right) \, dx = \left[ \frac{1}{6} x^3 - x \right]_{-1}^1 = -\frac{5}{3} \end{aligned}$$

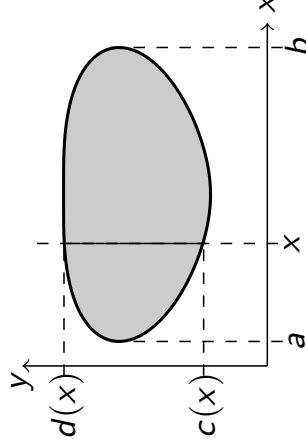
## Théorème de Fubini

**Lemme** – Soit  $D \subset \mathbb{R}^2$  un ensemble borné quelconque.

- Pour tout  $(x, y) \in D$  il existe  $a, b \in \mathbb{R}$  tels que  $a \leq x \leq b$ .
- Pour tout  $x \in [a, b]$  il existe  $c(x), d(x) \in \mathbb{R}$  tels que  $c(x) \leq y \leq d(x)$ .

Au final:

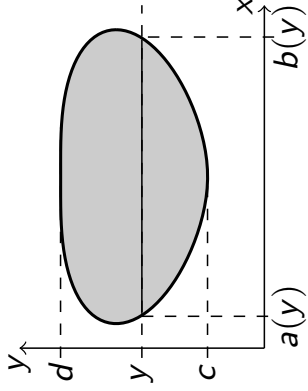
$$D = \{ (x, y) \in \mathbb{R}^2 \mid x \in [a, b], y \in [c(x), d(x)] \}$$



**Théorème de Fubini sur  $D$**  – Soit  $f : D \rightarrow \mathbb{R}$  une fonction continue, alors

$$\iint_D f(x, y) \, dx \, dy = \int_a^b \left( \int_{c(x)}^{d(x)} f(x, y) \, dy \right) \, dx$$

## Théorème de Fubini (suite)



**Alternative –**

L'ensemble  $D$  est décrit par

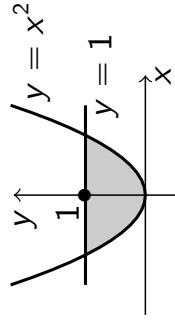
$$D = \{ (x, y) \in \mathbb{R}^2 \mid y \in [c, d], x \in [a(y), b(y)] \}$$

**Théorème de Fubini sur  $D$  –**

$$\iint_D f(x, y) \, dx \, dy = \int_c^d \left( \int_{a(y)}^{b(y)} f(x, y) \, dx \right) dy$$

## Exemple 3: calcul d'intégrale double

**Exemple –** Soit  $D$  la partie du plan  $xOy$  délimitée par l'arc de parabole  $y = x^2$  en bas, et la droite  $y = 1$  en haut.



On peut décrire  $D$  comme

$$D = \{ (x, y) \in \mathbb{R}^2 \mid x \in [-1, 1], y \in [x^2, 1] \}.$$

Par conséquent:

$$\begin{aligned} \iint_D x^2 y \, dx \, dy &= \int_{-1}^1 x^2 \, dx \int_{x^2}^1 y \, dy \\ &= \int_{-1}^1 x^2 \left[ \frac{1}{2} y^2 \right]_{x^2}^1 dx \\ &= \int_{-1}^1 \frac{1}{2} (x^2 - x^6) \, dx \\ &= \frac{1}{2} \left[ \frac{1}{3} x^3 - \frac{1}{7} x^7 \right]_{x=-1}^{x=1} = \frac{4}{21} \end{aligned}$$

## Exemple 4: volume de la boule

**Exemple** – Rappelons que le volume de la boule unitaire est

$$\text{Vol}(B) = 2 \iint_D \sqrt{1-x^2-y^2} \, dx \, dy$$

où  $D = \{(x, y) \in \mathbb{R}^2 \mid x^2 + y^2 \leq 1\}$ .

On peut décrire  $D$  comme l'ensemble

$$D = \left\{ (x, y) \in \mathbb{R}^2 \mid x \in [-1, 1], y \in \left[ -\sqrt{1-x^2}, \sqrt{1-x^2} \right] \right\}.$$

• Voici donc le calcul du volume de la boule:

$$\begin{aligned} \text{Vol}(B) &= 2 \int_{-1}^1 dx \int_{-\sqrt{1-x^2}}^{\sqrt{1-x^2}} \sqrt{1-x^2-y^2} \, dy \\ &= 2 \int_{-1}^1 dx \int_{-\sqrt{1-x^2}}^{\sqrt{1-x^2}} \sqrt{1-x^2} \sqrt{1-\frac{y^2}{1-x^2}} \, dy. \end{aligned}$$

• On pose  $\frac{y}{\sqrt{1-x^2}} = \sin t$  pour avoir  $\sqrt{1-\frac{y^2}{1-x^2}} = |\cos t|$ .

## Exemple 4: volume de la boule (suite)

- $y = \sqrt{1-x^2} \sin t \quad dy = \sqrt{1-x^2} \cos t \, dt$
- $-\sqrt{1-x^2} \leq y \leq \sqrt{1-x^2} \Rightarrow -1 \leq \sin t \leq 1$   
 $\Rightarrow -\frac{\pi}{2} \leq t \leq \frac{\pi}{2}$  et  $\sqrt{1-\frac{y^2}{1-x^2}} = \cos t$

$$\begin{aligned} \text{Vol}(B) &= 2 \int_{-1}^1 dx \int_{-\sqrt{1-x^2}}^{\sqrt{1-x^2}} \sqrt{1-x^2} \sqrt{1-\frac{y^2}{1-x^2}} \, dy \\ &= 2 \int_{-1}^1 dx \int_{-\pi/2}^{\pi/2} \sqrt{1-x^2} \cos t \sqrt{1-x^2} \cos t \, dt \\ &= 2 \int_{-1}^1 (1-x^2) \, dx \int_{-\pi/2}^{\pi/2} \cos^2 t \, dt \end{aligned}$$

• puisque  $2 \int_{-\pi/2}^{\pi/2} \cos^2 t \, dt = \pi$  (voir ex. précédent)

$$\text{Vol}(B) = \pi \int_{-1}^1 (1-x^2) \, dx = \pi \left[ x - \frac{1}{3}x^3 \right]_{-1}^1 = \frac{4\pi}{3}.$$

# Changement de variables

## Définition – Un changement de variables

$$(x, y) = h(u, v) = (x(u, v), y(u, v))$$

est un difféomorphisme  $h : \tilde{D} \rightarrow D : (u, v) \mapsto h(u, v) = (x, y)$ , c'est-à-dire une bijection de classe  $C^1$  avec réciproque  $h^{-1} : D \rightarrow \tilde{D} : (x, y) \mapsto h^{-1}(x, y) = (u, v)$  de classe  $C^1$ .

**Théorème** – Soit  $f : D \rightarrow \mathbb{R}$  une fonction des variables  $(x, y)$  et  $(x, y) = h(u, v)$  un changement de variables. Alors

$$\iint_D f(x, y) \, dx \, dy = \iint_{\tilde{D}} \tilde{f}(u, v) \left| \det J_h(u, v) \right| \, du \, dv$$

où  $\tilde{f}(u, v) = f(h(u, v))$ ,  $\tilde{D} = \{(u, v) \mid h(u, v) \in D\}$  et  $\det J_h(u, v) = \frac{\partial x}{\partial u} \frac{\partial y}{\partial v} - \frac{\partial x}{\partial v} \frac{\partial y}{\partial u}$  est le Jacobien de  $h$ .

**Passage en polaire** –

$$dx \, dy = \rho \, d\rho \, d\varphi$$

## Exemple 5: volume d'une boule en polaires

**Volume de la boule en coordonnées polaires** – On calcul

$$\text{Vol}(B) = 2 \iint_{D=\{x^2+y^2 \leq 1\}} \sqrt{1-x^2-y^2} \, dx \, dy$$

en coordonnées polaires  $(x, y) = h(\rho, \varphi) = (\rho \cos \varphi, \rho \sin \varphi)$ .

- Puisque  $x^2 + y^2 = \rho^2$ , on a :

$$\tilde{D} = \{(\rho, \varphi) \in [0, \infty[ \times [0, 2\pi[ \mid \rho \leq 1\} = [0, 1] \times [0, 2\pi[$$

- on utilise  $dx \, dy = \rho \, d\rho \, d\varphi$ ,  $\sqrt{1-x^2-y^2} = \sqrt{1-\rho^2}$  et Fubini:

$$\text{Vol}(B) = 2 \int_0^1 \sqrt{1-\rho^2} \, \rho \, d\rho \int_0^{2\pi} d\varphi = 4\pi \int_0^1 \sqrt{1-\rho^2} \, \rho \, d\rho$$

- enfin, on pose  $t = 1 - \rho^2$  donc  $dt = -2\rho \, d\rho$  :

$$\text{Vol}(B) = -\frac{4\pi}{2} \int_1^0 t^{1/2} \, dt = 2\pi \int_0^1 t^{1/2} \, dt = 2\pi \frac{2}{3} \left[ t^{3/2} \right]_0^1 = \frac{4\pi}{3}.$$

## 3.3 – Intégrales triples

Dans cette section:

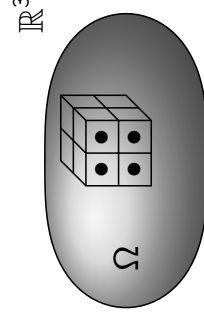
- Subdivisions des solides
- Sommes de Riemann des fonctions de trois variables
- Intégrales triples
- Théorème de Fubini
- Théorème du changement de variables

### Intégrale triple

Soit  $\Omega \subset \mathbb{R}^3$  un ensemble borné avec bord  $\partial\Omega$  lisse (par morceaux), et soit  $f : \Omega \longrightarrow \mathbb{R}$  une fonction de trois variables.

**Définition** –

- On choisit une **subdivision**  $\mathcal{S}_\delta$  de  $\Omega$  en petits cubes  $K_i$  de taille  $\delta^3$ , avec  $\delta$  qui tend vers zéro.



- On définit l'**intégrale triple** de  $f$  sur  $\Omega$  comme la limite (quand elle existe) de la **somme de Riemann** associée à  $\mathcal{S}_\delta$  et à des points  $(x_i, y_i, z_i) \in K_i \cap \Omega$  quelconque:

$$\iiint_{\Omega} f(x, y, z) \, dx \, dy \, dz = \lim_{\delta \rightarrow 0} \sum_{K_i \in \mathcal{S}_\delta} f(x_i, y_i, z_i) \delta^3.$$

- On dit que  $f$  est **intégrable** si son intégrale est finie.

**Proposition** – *Toute fonction f continue est intégrable selon Riemann sur un ensemble  $\Omega$  borné à bord lisse (par morceaux).*

## Signification géométrique et propriétés

**Signification géométrique** – Le graphe de  $f$  est une hyper-surface de  $\mathbb{R}^4$  (difficile à dessiner):

- $\iiint_{\Omega} f(x, y, z) \, dx \, dy \, dz =$  quadri-volume “algébrique” sous le graphe de  $f$ .
- $\iiint_{\Omega} |f(x, y, z)| \, dx \, dy \, dz =$  quadri-volume sous le graphe de  $f$ .

**Propriétés** – 1) Pour tout  $\lambda, \mu \in \mathbb{R}$ , on a

$$\iiint_{\Omega} (\lambda f + \mu g) \, dx \, dy \, dz = \lambda \iiint_{\Omega} f \, dx \, dy \, dz + \mu \iiint_{\Omega} g \, dx \, dy \, dz.$$

2) Si  $\Omega_1 \cap \Omega_2 =$  surface ou courbe ou point ou  $\emptyset$ , alors

$$\iiint_{\Omega_1 \cup \Omega_2} f \, dx \, dy \, dz = \iiint_{\Omega_1} f \, dx \, dy \, dz + \iiint_{\Omega_2} f \, dx \, dy \, dz.$$

etc

## Théorème de Fubini

**Théorème de Fubini** – Soit  $f : \Omega \subset \mathbb{R}^3 \rightarrow \mathbb{R}$  continue.

- Si  $\Omega$  est un parallélépipède, alors

$$\Omega = [a, b] \times [c, d] \times [e, g]$$

$$\iiint_{\Omega} f(x, y, z) \, dx \, dy \, dz = \int_a^b dx \int_c^d dy \int_e^g dz f(x, y, z)$$

(on intègre dans l'ordre qu'on veut)

- Si  $\Omega$  est un ensemble borné quelconque, alors:

$$\Omega = \{(x, y, z) \mid x \in [a, b], y \in [c(x), d(x)], z \in [e(x, y), g(x, y)]\}$$

$$\iiint_{\Omega} f(x, y, z) \, dx \, dy \, dz = \int_a^b dx \int_{c(x)}^{d(x)} dy \int_{e(x, y)}^{g(x, y)} dz f(x, y, z)$$

(l'ordre d'intégration est forcé)

## Exemple 1: calcul d'intégrales triples

**Exemple –**  $\Omega = [0, 1] \times [1, 2] \times [2, 3] \subset \mathbb{R}^3$

$$\begin{aligned} \iiint_{\Omega} (x^2 - 2yz) \, dx \, dy \, dz &= \int_2^3 dz \int_1^2 dy \int_0^1 dx (x^2 - 2yz) \\ &= \int_2^3 dz \int_1^2 dy \left[ \frac{1}{3}x^3 - 2xyz \right]_{x=0}^{x=1} \\ &= \int_2^3 dz \int_1^2 dy \left( \frac{1}{3} - 2yz \right) = \int_2^3 \left[ \frac{1}{3}y - y^2z \right]_{y=1}^{y=2} dz \\ &= \int_2^3 \left( \frac{2}{3} - 4z - \frac{1}{3} + z \right) dz = \int_2^3 \left( \frac{1}{3} - 3z \right) dz \\ &= \left[ \frac{1}{3}z - \frac{3}{2}z^2 \right]_2^3 = \frac{3}{3} - \frac{27}{2} - \frac{2}{3} + \frac{12}{2} \\ &= \frac{1}{3} - \frac{15}{2} = -\frac{43}{6} \end{aligned}$$

## Exemple 2: calcul d'intégrales triples

**Exemple –** On veut calculer  $\iiint_{\Omega} (1 - 2yz) \, dx \, dy \, dz$

où  $\Omega$  est le cylindre plein de hauteur 3 et de base le disque

$$D = \{(x, y, z) \in \mathbb{R}^3 \mid x^2 + y^2 \leq 1, z = 0\}.$$

• D'abord, on décrit explicitement  $\Omega$  :

$$\begin{aligned} \Omega &= \{(x, y, z) \mid x^2 + y^2 \leq 1, 0 \leq z \leq 3\} \\ &= \{(x, y, z) \mid x \in [-1, 1], y \in [-\sqrt{1-x^2}, \sqrt{1-x^2}], z \in [0, 3]\} \end{aligned}$$

• Ensuite on applique Fubini:

$$\begin{aligned} \iiint_{\Omega} (1 - 2yz) \, dx \, dy \, dz &= \int_0^3 dz \iint_D (1 - 2yz) \, dx \, dy \\ &= \int_0^3 dz \int_{-1}^1 dx \int_{-\sqrt{1-x^2}}^{\sqrt{1-x^2}} dy (1 - 2yz) \end{aligned}$$

## Exemples 2 (suite)

**Exemple (suite)** –

$$\begin{aligned} \iiint_{\Omega} (1 - 2yz) \, dx \, dy \, dz &= \int_0^3 dz \int_{-1}^1 dx \int_{-\sqrt{1-x^2}}^{\sqrt{1-x^2}} (1 - 2yz) \, dy \\ &= \int_0^3 dz \int_{-1}^1 [y - y^2 z]_{y=-\sqrt{1-x^2}}^{y=\sqrt{1-x^2}} dx \\ &= \int_0^3 dz \int_{-1}^1 (\sqrt{1-x^2} - (1-x^2)z + \sqrt{1-x^2} + (1-x^2)z) \, dx \\ &= \int_0^3 dz \int_{-1}^1 2\sqrt{1-x^2} \, dx \\ &= 3 \int_{-\pi/2}^{\pi/2} 2 \cos^2 t \, dt \\ &= 3\pi \end{aligned}$$

## Changement de variables

**Définition** – Un **changement de variables**

$$\vec{x} = (x, y, z) = h(u, v, w) = (x(\vec{u}), y(\vec{u}), z(\vec{u}))$$

est un difféomorphisme  $h : \tilde{\Omega} \rightarrow \Omega : \vec{u} \mapsto h(\vec{u}) = \vec{x}$   
(bijection  $C^1$  avec réciproque  $h^{-1}(\vec{x}) = \vec{u}$  aussi  $C^1$ ).

**Théorème** – Soit  $f : \Omega \subset \mathbb{R}^3 \rightarrow \mathbb{R}$  une fonction de  $\vec{x}$  et  $\vec{x} = h(\vec{u})$  un *changement de variables*. Alors

$$\iiint_{\Omega} f(\vec{x}) \, dx \, dy \, dz = \iiint_{\tilde{\Omega}} f(h(\vec{u})) \left| \det J_h(\vec{u}) \right| \, du \, dv \, dw$$

où  $\tilde{\Omega} = \{ \vec{u} \mid h(\vec{u}) \in \Omega \}$  et  $\det J_h(\vec{u})$  est le *Jacobien* de  $h$ .

**Passage en coordonnées cylindriques et sphériques** –

$$dx \, dy \, dz = \rho \, d\rho \, d\varphi \, dz = r^2 \sin \theta \, dr \, d\varphi \, d\theta$$

### Exemple 3: intégrale par changement de variables

**Exemple** – Considérons à nouveau  $\iiint_{\Omega} (1 - 2yz) \, dx \, dy \, dz$

où  $\Omega$  est le cylindre de hauteur 3 et de base le disque  $D$ .

- En coordonnées cylindriques, on a

$$\Omega = \{ (\rho, \varphi, z) \mid \rho \in ]0, 1], \varphi \in [0, 2\pi[, z \in [0, 3] \}$$

- Puisque  $dx \, dy \, dz = \rho \, d\rho \, d\varphi \, dz$ , on a

$$\begin{aligned} \iiint_{\Omega} (1 - 2yz) \, dx \, dy \, dz &= \int_0^3 dz \int_0^1 \rho \, d\rho \int_0^{2\pi} (1 - 2\rho \sin \varphi z) \, d\varphi \\ &= \int_0^3 dz \int_0^1 \rho \, d\rho \left[ \varphi + 2\rho \cos \varphi z \right]_{\varphi=0}^{\varphi=2\pi} \\ &= \int_0^3 dz \int_0^1 (2\pi + 2\rho z - 2\rho z) \, \rho \, d\rho \\ &= \int_0^3 dz \int_0^1 2\pi \, \rho \, d\rho = 3\pi \left[ \rho^2 \right]_0^1 = 3\pi \end{aligned}$$

### 3.4 – Aire, volume, moyenne, centre de masse

Dans cette section:

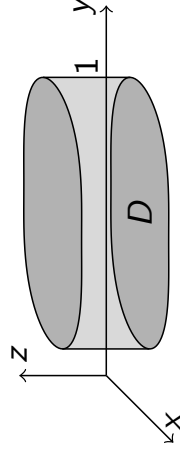
- Aire d'un domaine du plan
- Volume d'un solide
- Quantités totale et moyenne
- Centre de masse et moment d'inertie

## Motivation pour la définition générale d'aire

**Remarque** – Si  $D$  est un domaine borné de  $\mathbb{R}^2$ , l'intégrale

$$\iint_D dx dy$$

représente le volume sous le graphe de la fonction  $f(x, y) = 1$ .



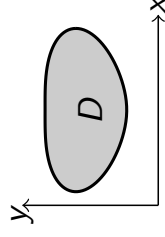
Ce solide  $\Omega$  est un cylindre de hauteur  $H = 1$  et de base  $D$ :

$$\iint_D dx dy = \text{Vol}(\Omega) = \text{Aire}(D) \times H = \text{Aire}(D).$$

## Aire d'un domaine du plan

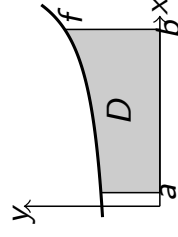
**Définition** – L'aire d'un domaine  $D$  borné de  $\mathbb{R}^2$  est

$$\text{Aire}(D) = \iint_D dx dy$$



**Proposition** – Si  $D$  est la portion du plan sous le graphe d'une fonction  $f: [a, b] \rightarrow \mathbb{R}$  positive, c'est-à-dire si

$$D = \{(x, y) \mid x \in [a, b], y \in [0, f(x)]\},$$



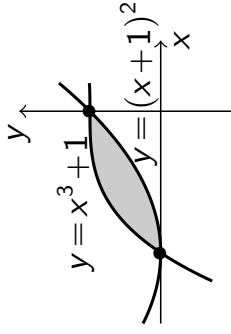
alors:

$$\text{Aire}(D) = \int_a^b f(x) dx$$

- En effet:  $\iint_D dx dy = \int_a^b dx \int_0^{f(x)} dy = \int_a^b f(x) dx$ .

## Exercice: aire d'un domaine du plan

**Énoncé** – Calculer l'aire du domaine borné  $D \subset \mathbb{R}^2$  délimité par les courbes d'équation  $y = x^2 + 2x + 1$  et  $y = x^3 + 1$ .



**Réponse** – D'abord on dessine  $D$  et on trouve les deux points d'intersection des courbes:  $(-1, 0)$  et  $(0, 1)$ . On a donc

$$D = \left\{ (x, y) \in \mathbb{R}^2 \mid -1 \leq x \leq 0, x^2 + 2x + 1 \leq y \leq x^3 + 1 \right\}.$$

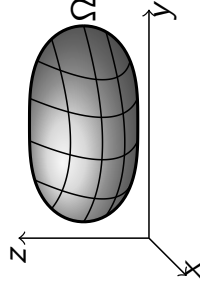
Ensuite on applique Fubini:

$$\begin{aligned} \text{Aire}(D) &= \iint_D dx dy = \int_{-1}^0 dx \int_{x^2+2x+1}^{x^3+1} dy \\ &= \int_{-1}^0 (x^3 + 1 - x^2 - 2x - 1) dx \\ &= \left[ \frac{1}{4}x^4 - \frac{1}{3}x^3 - x^2 \right]_{-1}^0 = -\frac{1}{4} - \frac{1}{3} + 1 = \frac{5}{12} \end{aligned}$$

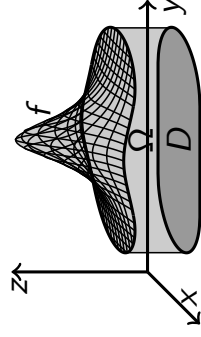
## Volume d'un solide

**Définition** – Le volume d'un solide  $\Omega$  borné de  $\mathbb{R}^3$  est

$$\text{Vol}(\Omega) = \iiint_{\Omega} dx dy dz$$



**Proposition** – Si  $\Omega$  est l'espace sous le graphe d'une fonction  $f: D \subset \mathbb{R}^2 \rightarrow \mathbb{R}^+$ , c'est-à-dire si



$\Omega = \{(x, y, z) \mid (x, y) \in D, z \in [0, f(x, y)]\}$ ,

alors:

$$\text{Vol}(\Omega) = \iint_D f(x, y) dx dy$$

- Car  $\iiint_{\Omega} dx dy dz = \iint_D dx dy \int_0^{f(x,y)} dz = \iint_D f(x, y) dx dy$ .

## Exemple 1: volume d'une boule en sphériques

**Volume de la boule en coordonnées sphériques** – En coordonnées sphériques, la boule unité  $B$  s'écrit

$$B = \{(r, \varphi, \theta) \mid r \in [0, 1], \varphi \in [0, 2\pi[, \theta \in [0, \pi]\}.$$

Puisque  $dx \, dy \, dz = r^2 \sin \theta \, dr \, d\varphi \, d\theta$ , on a

$$\begin{aligned} \text{Vol}(B) &= \iiint_B dx \, dy \, dz \\ &= \iiint_{[0,1] \times [0,2\pi[ \times [0,\pi]} r^2 \sin \theta \, dr \, d\varphi \, d\theta \\ &= \int_0^1 r^2 \, dr \int_0^{2\pi} d\varphi \int_0^\pi \sin \theta \, d\theta \\ &= \frac{1}{3} 2\pi \left[ -\cos \theta \right]_0^\pi = \frac{2\pi}{3} (1 + 1) = \frac{4\pi}{3}. \end{aligned}$$

## Quantités totale et moyenne

**Définition** – En physique, si  $f : \Omega \longrightarrow \mathbb{R}^+$  représente une concentration de matière (une *densité volumique*), ou une *densité* de courant ou d'énergie, alors on appelle

- **quantité totale** de matière / courant / énergie en  $\Omega$  le nombre

$$\iiint_{\Omega} f(x, y, z) \, dx \, dy \, dz$$

- **quantité moyenne** de matière / courant / énergie en  $\Omega$  le nombre

$$\frac{1}{\text{Vol}(\Omega)} \iiint_{\Omega} f(x, y, z) \, dx \, dy \, dz$$

## Exemple 2: moyenne

**Exemple** – Un matériau est réparti dans un cube  $\Omega = [0, R]^3$  selon la densité volumique  $f(x, y, z) = \frac{x+y}{(z+1)^2}$ .

- La quantité totale du matériau est alors

$$\begin{aligned} \iiint_{\Omega} f(x, y, z) \, dx \, dy \, dz &= \int_0^R \int_0^R \int_0^R (x+y) \, dy \, dx \int_0^R \frac{1}{(z+1)^2} \, dz \\ &= \int_0^R \left[ xy + \frac{1}{2}y^2 \right]_{y=0}^{y=R} dx \left[ -\frac{1}{z+1} \right]_0^R \\ &= \int_0^R \left( Rx + \frac{1}{2}R^2 \right) dx \left( 1 - \frac{1}{R+1} \right) \\ &= \left[ \frac{1}{2}Rx^2 + \frac{1}{2}R^2x \right]_0^R \frac{R}{R+1} = \frac{R^4}{R+1}. \end{aligned}$$

- Puisque  $\text{Vol}(\Omega) = R^3$ , la quantité moyenne est

$$\frac{1}{\text{Vol}(\Omega)} \iiint_{\Omega} f(x, y, z) \, dx \, dy \, dz = \frac{1}{R^3} \frac{R^4}{R+1} = \frac{R}{R+1}.$$

## Barycentre

**Définition** – Si  $\mu : \Omega \rightarrow \mathbb{R}_+$  denote la *densité de masse* d'un matériau contenu dans  $\Omega$ , on appelle

- **masse totale** le nombre  $M = \iiint_D \mu(x, y, z) \, dx \, dy \, dz$

La masse (*inertielle*)  $M$  d'un solide soumis à une force quantifie sa résistance à une *accélération linéaire*.

- **centre de masse** (ou **centre d'inertie**, ou **barycentre**) le point  $G$  de coordonnées

$$x_G = \frac{1}{M} \iiint_{\Omega} x \mu(x, y, z) \, dx \, dy \, dz$$

$$y_G = \frac{1}{M} \iiint_{\Omega} y \mu(x, y, z) \, dx \, dy \, dz$$

$$z_G = \frac{1}{M} \iiint_{\Omega} z \mu(x, y, z) \, dx \, dy \, dz$$

Le centre de masse d'un solide soumis à une force est le point qui se déplace comme si le solide y était concentré.

## Moment d'inertie

**Définition (suite)** – Si  $r(x, y, z)$  est la distance d'un point  $(x, y, z)$  à un point fixé  $P$  ou à une droite  $\Delta$ :

- le **moment d'inertie** par rapport à  $P$  ou à  $\Delta$  est le nombre

$$\frac{1}{M} \iiint_{\Omega} r^2(x, y, z) \mu(x, y, z) dx dy dz.$$

Le moment d'inertie d'un solide soumis à une force quantifiée sa résistance à la rotation autour de  $P$  ou  $\Delta$  (à une *accélération angulaire*).

**Nota** – Un matériau est dit **homogène** si sa densité de masse  $\mu$  est constante. Dans ce cas, sa masse dedans  $\Omega$  est donnée par l'intégrale

$$M = \mu \iiint_{\Omega} dx dy dz = \mu \text{Vol}(\Omega),$$

et les formules du centre de masse et du moment d'inertie se modifient en conséquence.

## Exemple 3: centre de masse

**Exemple** – On cherche à déterminer le centre de masse du demi-cylindre homogène ( $\mu = 1$ )

$$\Omega = \{(x, y, z) \in \mathbb{R}^3 \mid x^2 + y^2 \leq R^2, z \in [0, H], y \geq 0\}.$$

- Il est naturel de travailler en coordonnées cylindriques et d'écrire le demi-cylindre comme

$$\tilde{\Omega} = \{(\rho, \varphi, z) \mid \rho \in [0, R], \varphi \in [0, \pi], z \in [0, H]\}.$$

- Le calcul de la masse totale donne

$$\begin{aligned} M &= \iiint_{\tilde{\Omega}} dx dy dz = \iiint_{\tilde{\Omega}} \rho d\rho d\varphi dz \\ &= \int_0^R \rho d\rho \int_0^\pi d\varphi \int_0^H dz = \frac{\pi R^2 H}{2}. \end{aligned}$$

## Exemple 3 (suite)

- Le centre de masse  $G$  a pour coordonnées cartésiennes

$$\begin{aligned}x_G &= \frac{1}{M} \iiint_{\Omega} x \, dx \, dy \, dz \\ &= \frac{1}{M} \iiint_{\Omega} (\rho \cos \varphi) \rho \, d\rho \, d\varphi \, dz = \frac{1}{M} \int_0^R \rho^2 \, d\rho \int_0^\pi \cos \varphi \, d\varphi \int_0^H dz = 0\end{aligned}$$

$$\begin{aligned}y_G &= \frac{1}{M} \iiint_{\Omega} y \, dx \, dy \, dz \\ &= \frac{1}{M} \int_0^R \rho^2 \, d\rho \int_0^\pi \sin \varphi \, d\varphi \int_0^H dz = \frac{2}{\pi} \frac{R^3}{R^2 H} \frac{2}{3} H = \frac{4R}{3\pi}\end{aligned}$$

$$\begin{aligned}z_G &= \frac{1}{M} \iiint_{\Omega} z \, dx \, dy \, dz \\ &= \frac{1}{M} \int_0^R \rho \, d\rho \int_0^\pi d\varphi \int_0^H z \, dz = \frac{2}{\pi} \frac{R^2}{R^2 H} \frac{H^2}{2} = \frac{H}{2}\end{aligned}$$

Ainsi  $G = \left(0, \frac{4R}{3\pi}, \frac{H}{2}\right)$ .

## Exercice 1: quantité totale et moyenne

**Énoncé** – De la farine s'éparpille au sol selon la densité

$$f(x, y) = \frac{1}{(\sqrt{x^2 + y^2} + 1)^2}, \quad \text{où } (x, y) \in \mathbb{R}^2.$$

Trouver la quantité totale et moyenne de farine éparpillée sur un disque  $D$  de rayon  $R > 0$  centré en l'origine.

**Réponse** – En coord. polaires, on a  $f(\rho, \varphi) = \frac{1}{(\rho + 1)^2}$  et

$D = \{(\rho, \varphi) \mid \rho \in [0, R], \varphi \in [0, 2\pi[ \}$ . Ainsi:

$$\begin{aligned}\text{Quantité totale} &= \iint_D \frac{1}{(\rho + 1)^2} \rho \, d\rho \, d\varphi \\ &= \int_0^R \left( \frac{\rho + 1}{(\rho + 1)^2} - \frac{1}{(\rho + 1)^2} \right) d\rho \int_0^{2\pi} d\varphi \\ &= 2\pi \int_0^R \left( \frac{1}{\rho + 1} - \frac{1}{(\rho + 1)^2} \right) d\rho \\ &= 2\pi \left[ \ln(\rho + 1) + \frac{1}{\rho + 1} \right]_0^R = 2\pi \left( \ln(R + 1) - \frac{R}{R + 1} \right).\end{aligned}$$

## Exercice 1 (suite)

Au final:

$$\text{Quantité totale} = 2\pi \left( \ln(R+1) - \frac{R}{R+1} \right).$$

Puisque

$$\text{Aire}(D) = \iint_D \rho \, d\rho \, d\varphi = \int_0^R \rho \, d\rho \int_0^{2\pi} d\varphi = \frac{R^2}{2} 2\pi = \pi R^2,$$

on a

$$\begin{aligned} \text{Quantité moyenne} &= \frac{1}{\text{Aire}(D)} \iint_D \frac{1}{(\rho+1)^2} \rho \, d\rho \, d\varphi \\ &= \frac{2}{R^2} \left( \ln(R+1) - \frac{R}{R+1} \right). \end{aligned}$$

## Exercice 2: centre de masse

**Exercice** – Calculer le centre de masse du solide  $\Omega$  composé de la demi-boule  $B$  et du cylindre  $C$  suivants:

$$\begin{aligned} B &= \left\{ (r, \varphi, \theta) \mid r \in [0, R], \varphi \in [0, 2\pi], \theta \in [\pi/2, \pi] \right\} \\ C &= \left\{ (\rho, \varphi, z) \mid \rho \in [0, R], \varphi \in [0, 2\pi], z \in [0, R] \right\}, \end{aligned}$$

et avec la densité de masse  $\mu(x, y, z) = z^2$ .

**Réponse** – Puisque  $\Omega = B \cup C$ , et  $B \cap C =$  courbe, le centre de masse  $G$  a coordonnées

$$x_G = \frac{1}{M_\Omega} \iiint_\Omega x \mu(x, y, z) \, dx \, dy \, dz \quad (\text{idem pour } y_G \text{ et } z_G),$$

$$\text{où } M_\Omega = M_B + M_C \quad \text{et} \quad \iiint_\Omega = \iiint_B + \iiint_C.$$

• Les intégrales se calculent:

en coordonnées sphériques sur  $B$ , où  $\mu(r, \varphi, \theta) = r^2 \cos^2 \theta$ ,

en coordonnées cylindriques sur  $C$ , où  $\mu(\rho, \varphi, z) = z^2$ .

## Exercice 2 (suite)

- Calcul de la masse de  $\Omega$ :

$$\begin{aligned} M_B &= \iiint_B r^2 \cos^2 \theta \, r^2 \sin \theta \, dr \, d\varphi \, d\theta \\ &= \int_0^R r^4 \, dr \int_0^{2\pi} d\varphi \int_{\pi/2}^{\pi} \cos^2 \theta \sin \theta \, d\theta \\ &= \frac{R^5}{5} 2\pi \left[ -\frac{1}{3} \cos^3 \theta \right]_{\pi/2}^{\pi} = \frac{2\pi R^5}{15} \\ M_C &= \iiint_C z^2 \, \rho \, d\rho \, d\varphi \, dz \\ &= \int_0^R \rho \, d\rho \int_0^{2\pi} d\varphi \int_0^R z^2 \, dz = \frac{R^2}{2} 2\pi \frac{R^3}{3} = \frac{\pi R^5}{3} \end{aligned}$$

$$\text{Au final: } M_\Omega = M_B + M_C = \left( \frac{2}{15} + \frac{1}{3} \right) \pi R^5 = \frac{7\pi R^5}{15}.$$

## Exercice 2 (suite)

- Puisque  $\int_0^{2\pi} \cos \varphi \, d\varphi = 0$  et  $\int_0^{2\pi} \sin \varphi \, d\varphi = 0$ , on a:

$$\begin{aligned} x_G &= \frac{1}{M_\Omega} \iiint_\Omega x \mu(x, y, z) \, dx \, dy \, dz \\ &= \frac{1}{M_\Omega} \int_0^R r^5 \, dr \int_0^{2\pi} \cos \varphi \, d\varphi \int_{\pi/2}^{\pi} \cos^2 \theta \sin^2 \theta \, d\theta \\ &\quad + \frac{1}{M_\Omega} \int_0^R \rho^2 \, d\rho \int_0^{2\pi} \cos \varphi \, d\varphi \int_0^R z^2 \, dz = 0 \\ y_G &= \frac{1}{M_\Omega} \iiint_\Omega y \mu(x, y, z) \, dx \, dy \, dz \\ &= \frac{1}{M_\Omega} \int_0^R r^5 \, dr \int_0^{2\pi} \sin \varphi \, d\varphi \int_{\pi/2}^{\pi} \cos^2 \theta \sin^2 \theta \, d\theta \\ &\quad + \frac{1}{M_\Omega} \int_0^R \rho^2 \, d\rho \int_0^{2\pi} \sin \varphi \, d\varphi \int_0^R z^2 \, dz = 0 \end{aligned}$$

## Exercice 2 (suite)

Enfin:

$$\begin{aligned} z_G &= \frac{1}{M_\Omega} \iiint_{\Omega} z \mu(x, y, z) \, dx \, dy \, dz \\ &= \frac{1}{M_\Omega} \int_0^R r^5 \, dr \int_0^{2\pi} d\varphi \int_{\pi/2}^{\pi} \cos^3 \theta \sin \theta \, d\theta \\ &\quad + \frac{1}{M_\Omega} \int_0^R \rho \, d\rho \int_0^{2\pi} d\varphi \int_0^R z^3 \, dz \\ &= \frac{15}{7\pi R^3} \left( \frac{R^6}{6} 2\pi \left[ -\frac{1}{4} \cos^4 \theta \right]_{\pi/2}^{\pi} + \frac{R^2}{2} 2\pi \frac{R^4}{4} \right) \\ &= \frac{15\pi R^6}{7\pi R^3} \left( -\frac{1}{12} + \frac{1}{4} \right) \\ &= \frac{15R^3}{7} \frac{2}{12} \\ &= \frac{5R^3}{14}. \end{aligned}$$

## Exercice 2 (suite)

- En conclusion, le barycentre  $G$  de  $\Omega$  a pour coordonnées

$$G = (0, 0, 5R^3/14)$$

Puisque  $5R^3/14 > 0$ , il se trouve dans la partie cylindrique.

- Le barycentre se trouve à l'intérieur de  $\Omega$  si

$$5R^3/14 \leq R$$

c'est-à-dire si  $R \leq \sqrt[3]{14/5}$ .



## Chapitre 4

### Champs scalaires et champs de vecteurs

- 4.1 – Champs et fonctions
- 4.2 – Champs scalaires
- 4.3 – Champs de vecteurs
- 4.4 – Champs conservatifs
- 4.5 – Champs incompressibles

#### 4.1 – Champs et fonctions

Dans cette section:

- Repères et référentiels
- Dépendance des repères
- Loi de transformation d'un champ
- Dessin d'un champ

## Repères et referentiels

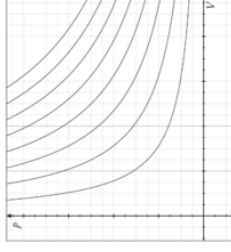
En physique, le **referentiel** est l'ensemble des *grandeurs* et de leurs *unité de mesure*. En mathématiques, le referentiel est représenté par un **repère**  $(O, \vec{e}_1, \dots, \vec{e}_n)$  de  $\mathbb{R}^n$ , où:

- la **direction** des vecteurs  $\vec{e}_i$  représente les grandeurs,
- la **longueur** des vecteurs  $\vec{e}_i$  représente l'unité de mesure,
- l'**origine**  $O$  donne la valeur zéro des grandeurs.

Pour tout  $\vec{x} \in \mathbb{R}^n$ , les **coordonnées**  $(x_1, \dots, x_n)$  telles que  $\vec{x} = \sum x_i \vec{e}_i$  représentent les *mesures* des grandeurs  $\vec{e}_i$ .

**Exemple** – Dans un gaz parfait, la loi  $PV = nRT$  décrit la relation entre la *pression*  $P$ , le *volume*  $V$  et la *temperature*  $T$ .

Les *isothermes* (courbes à temperature constante), sont dessinées dans l'espace  $\mathbb{R}^2$  où l'on fixe le repère  $(O, \vec{e}_V, \vec{e}_P)$  pour représenter le referentiel  $(V, P)$ .



## Lois dépendantes du changement de repère

**Idée** – Une *fonction* et un *champ* sont des lois qui associent à  $\vec{x} \in \mathbb{R}^n$  une valeur  $\vec{y} \in \mathbb{R}^m$ . La différence entre fonctions et champs est dans la *dépendance des repères* sur  $\mathbb{R}^n$  et  $\mathbb{R}^m$ : les fonctions sont indépendantes des changements de repères, les champs en dépendent.

**Exemple** – On veut se ranger en file indienne devant la porte:

$$x = \text{grandeur qui décrit chaque personne de cette salle}$$
$$P(x) = \frac{x}{10} = \text{position dans la file à partir de la porte}$$

Si on change l'unité de mesure de  $x$ , la position dans la file ne change pas, mais comment se transforme-t-elle la loi  $P(x)$  qui représente cette position?

On donne deux exemples: une loi qui ne dépend pas du changement de referentiel, et une qui en dépend.

## Loi de transformation des fonctions

- **Loi basée sur l'âge** –

$x$  = âge en années et  $P(x) = \frac{x}{10}$  en mètres.

Si  $u$  = âge en mois, la même position est donnée par  $\tilde{P}(u) = \frac{u}{120}$ .

Par exemple, vu que  $u = 12x$ , on a :

$$P(10) = \frac{10}{10} = 1 \quad \text{et} \quad \tilde{P}(120) = \frac{120}{120} = 1.$$

Quelle est la relation entre  $\tilde{P}(u)$  et  $P(x)$ ?

Le changement de variable est  $x = h(u) = \frac{u}{12}$ , et on a

$$P(x) = P\left(h\left(\frac{u}{12}\right)\right) = P\left(\frac{u}{12}\right) = \frac{u}{120} = \tilde{P}(u)$$

c'est-à-dire  $\tilde{P} = P \circ h$ .

C'est la loi de transformation des fonctions par changement de coordonnées.

## Loi de transformation des champs

- **Loi basée sur la distance** –

$x$  = distance du tableau en mètres, alors  $P(x) = \frac{x}{10}$  est en mètres.

Si  $u$  = distance en centimètres, la position dans la file ne change pas, mais elle est exprimée en centimètres et on a  $\tilde{P}(u) = \frac{u}{10}$ .

Par exemple, vu que  $u = 100x$ , on a :

$$P(10) = \frac{10}{10} = 1m \quad \text{et} \quad \tilde{P}(1000) = \frac{1000}{10} = 100cm (= 1m).$$

Quelle est donc, cette fois, la relation entre  $P(x)$  et  $\tilde{P}(u)$ ?

Le changement de variable est  $x = h(u) = \frac{u}{100}$ , et on a

$$P(x) = P\left(h\left(\frac{u}{100}\right)\right) = P\left(\frac{u}{1000}\right) = \frac{u}{10000} = \frac{\tilde{P}(u)}{100} \quad \text{donc} \quad \tilde{P} \neq P \circ h!$$

La bonne loi de transformation est  $\tilde{P} = H \circ P \circ h$ , où

$$h(u) = \frac{u}{100} \quad \text{et} \quad H(z) = 100z = h^{-1}(z).$$

# Champs de $\mathbb{R}^n$ à valeurs dans $\mathbb{R}^m$

**Definition** – Un **champ de  $\mathbb{R}^n$  à valeurs dans  $\mathbb{R}^m$**  est une loi

$$F : \mathbb{R}^n \longrightarrow \mathbb{R}^m, \quad \vec{x} \mapsto F(\vec{x})$$

qui se transforme, par changement de coordonnées  $\vec{x} = h(\vec{u})$ , comme

$$\tilde{F}(\vec{u}) = H(F(\vec{x})) = H(F(h(\vec{u}))), \quad \text{pour tout } \vec{u} \in \mathbb{R}^n,$$

c'est-à-dire comme

$$\tilde{F} = H \circ F \circ h$$

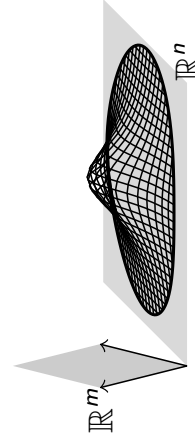
où  $H : \mathbb{R}^m \longrightarrow \mathbb{R}^m$  est un changement de repère sur  $\mathbb{R}^m$  déterminé par l'application  $h$ .

## Dessin d'un champs

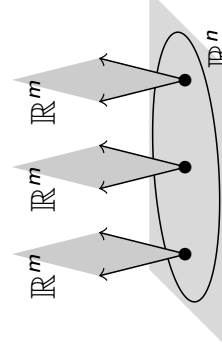
**Remarque** – Si  $F : \mathbb{R}^n \longrightarrow \mathbb{R}^m, \quad \vec{x} \mapsto F(\vec{x})$  est un champ, le repère utilisé pour décrire la valeur  $F(\vec{x}) \in \mathbb{R}^m$  n'est pas libre, mais dépend de celui utilisé pour décrire  $\vec{x} \in \mathbb{R}^n$ .

Ainsi, un champ ne peut être représenté par un graphe  $\Gamma \subset \mathbb{R}^n \times \mathbb{R}^m$  comme si c'était une fonction (pour laquelle les repères de  $\mathbb{R}^n$  et  $\mathbb{R}^m$  sont indépendants).

**Définition** – La **représentation graphique, ou dessin, du champ  $F$**  est l'ensemble des dessins de la valeur  $F(\vec{x}) \in \mathbb{R}^m$  au-dessus de chaque point  $\vec{x} \in \mathbb{R}^n$  (c'est-à-dire dans un repère de  $\mathbb{R}^m$  centré au point  $\vec{x}$ ),



un seul repère pour le graphe d'une fonction vectorielle



union de repères pour le dessin d'un champ de vecteurs

## 4.2 – Champs scalaires

Dans cette section:

- Champs scalaires de  $\mathbb{R}^3$
- Surfaces de niveau
- Le potentiel gravitationnel  $V$  et le potentiel de Coulomb  $\phi$

### Champs scalaires de $\mathbb{R}^3$

**Definition** – Un **champ scalaire sur  $\mathbb{R}^3$**  est un champ

$\phi : \mathbb{R}^3 \longrightarrow \mathbb{R}, \vec{x} \mapsto \phi(\vec{x})$  à valeurs dans les nombres.

- Si  $\vec{x} = h(\vec{u})$ , à priori on a  $\tilde{\phi}(\vec{u}) = H(\phi(\vec{x}))$ , où  $H : \mathbb{R} \rightarrow \mathbb{R}$  est un changement de repère dans  $\mathbb{R}$  déterminé par  $h$ .
- Dans  $\mathbb{R}$  il y a une seule direction  $\vec{1}$ , donc  $H$  n'affecte que l'unité de mesure. Sans unités de mesure, on peut supposer  $H(y) = y$ .

En maths, un **champ scalaire est assimilé à une fonction**

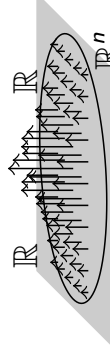
$$\phi : \mathbb{R}^3 \longrightarrow \mathbb{R}, \vec{x} \mapsto \phi(x),$$

**qui se transforme comme**

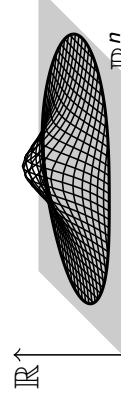
$$\tilde{\phi}(\vec{u}) = \phi(\vec{x}) \quad \text{si} \quad \vec{x} = h(\vec{u})$$

**et se représente avec un graphe usuel.**

- Attention en physique, quand l'unité de mesure change!



dessin d'un champ scalaire



graphe d'un champ scalaire  
comme fonction réelle

## Exemples de champs scalaires sur $\mathbb{R}^3$

### Exemples –

- La *temperature*  $T$  et la *pression*  $P$  sont des champs scalaires en physique statistique.
- L'*altitude* n'est pas un champ mais une fonction (car la détermination de l'endroit où on la mesure n'affecte pas le résultat).
- Le *volume*  $V$  n'est pas un champ scalaire (car il n'est pas défini sur les points de  $\mathbb{R}^3$  mais pour des objets étendus).

La *densité volumique*  $\nu$  est le champ scalaire qui permet de calculer le volume d'un objet (par intégration).

- La **distance** depuis l'origine:

$$d(x, y, z) = \sqrt{x^2 + y^2 + z^2}$$

En coordonnées sphériques:

$$d(r, \varphi, \theta) = r$$

Ceci montre la signification de la variable  $r$ .

## Exemples: potentiel gravitationnel et de Coulomb

- Le **potentiel gravitationnel** engendré par une masse  $M$  située à l'origine  $O$ :

$$V(x, y, z) = -\frac{GM}{\sqrt{x^2 + y^2 + z^2}}$$

où  $G = 6,673 \times 10^{-11} \text{ m}^3/\text{kg s}^2$  est la *constante gravitationnelle*.

En coordonnées sphériques:

$$V(r, \varphi, \theta) = -\frac{GM}{r}$$

- Le **potentiel électrostatique** ou **potentiel de Coulomb** engendré par une charge immobile  $Q$  située à l'origine  $O$ :

$$\phi(x, y, z) = \frac{1}{4\pi\epsilon} \frac{Q}{\sqrt{x^2 + y^2 + z^2}},$$

où  $\epsilon = 8.854 \times 10^{-12} \text{ A s/V m}$  est la *permittivité diélectrique*.

En coordonnées sphériques:

$$\phi(r, \varphi, \theta) = \frac{1}{4\pi\epsilon} \frac{Q}{r}$$

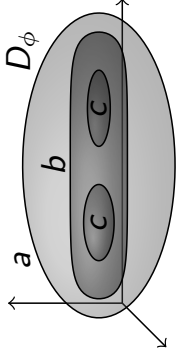
# Surfaces de niveau

**Définition** – Soit  $\phi : \mathbb{R}^3 \longrightarrow \mathbb{R}$  un champ scalaire.

• Comme une fonction  $f$ ,  $\phi$  est caractérisé par son **domaine de définition**  $D_\phi \subset \mathbb{R}^3$ , et il est **de classe**  $C^k$  s'il est différentiable jusqu'à l'ordre  $k$ .

• Pour tout  $a \in \mathbb{R}$ , l'analogue des *lignes de niveau*  $L_a(f)$  d'une fonction  $f$  de deux variables est la **surface de niveau**  $a$  de  $\phi$ :

$$S_a(\phi) = \left\{ (x, y, z) \in D_\phi \mid \phi(x, y, z) = a \right\}.$$



**N.B.** – En général on ne sait pas tracer le graphe de  $\phi$ , qui est dans  $\mathbb{R}^4$ .

## Exercice: potentiels gravitationnel et de Coulomb

**Énoncé** – Pour le potentiel gravitationnel  $V$  et pour le potentiel de Coulomb  $\phi$ , trouver les surfaces de niveau et dessiner le graphe comme fonctions de  $r$ .

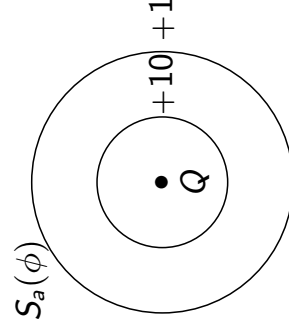
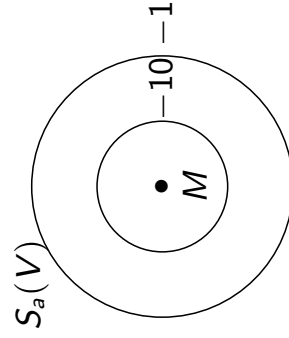
**Réponse** – En coordonnées sphériques, on a:

$$V(r, \varphi, \theta) = -\frac{GM}{r} \quad \text{et} \quad \phi(r, \varphi, \theta) = \frac{1}{4\pi\epsilon_0} \frac{Q}{r}.$$

• Pour  $a \in \mathbb{R}$ , les surfaces de niveau  $a$  sont données par:

$$r = -\frac{GM}{a} \quad \text{si } a < 0 \quad \text{et} \quad r = \frac{1}{4\pi\epsilon} \frac{Q}{a} \quad \text{si } a > 0$$

et sont donc des sphères centrées en l'origine

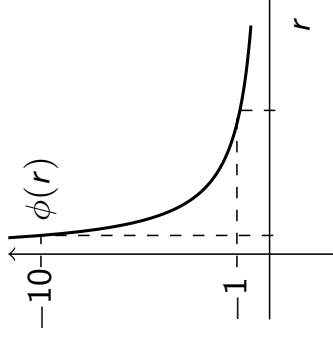
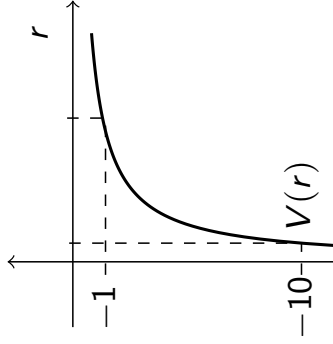


## Exercice (suite)

- La différence entre le potentiel gravitationnel  $V$  et celui de Coulomb  $\phi$  est dans le sens croissant des niveaux correspondants aux sphères: le graphe des potentiels

$$V(r, \varphi, \theta) = -\frac{GM}{r} \quad \text{et} \quad \phi(r, \varphi, \theta) = \frac{1}{4\pi\epsilon_0} \frac{Q}{r}$$

dans la seule variable  $r > 0$  est:



## 4.3 – Champs de vecteurs

Dans cette section:

- Champs de vecteurs
- Repères mobiles
- Lois de transformations en coordonnées cylindriques et sphériques
- Champ axial et champ central
- Lignes de champ
- Le champ électrique  $\vec{E}$  et le champ gravitationnel  $\vec{G}$

# Champs de vecteurs de $\mathbb{R}^3$

**Définition** – Un **champ de vecteurs** ou **champ vectoriel** de  $\mathbb{R}^3$  est un champ

$$\vec{V} : \mathbb{R}^3 \longrightarrow \mathbb{R}^3, \vec{x} \longmapsto \vec{V}(\vec{x})$$

à valeur dans les vecteurs de  $\mathbb{R}^3$ .

**Exemples** –

- La *position*  $\vec{x}$  des points, une *force*  $\vec{F}$ , les *champs gravitationnel*  $\vec{G}$ , *électrique*  $\vec{E}$  et *magnétique*  $\vec{B}$ , ou encore le *potentiel magnétique*  $\vec{A}$ , sont des champs vectoriels.
- La *vitesse d'écoulement des points d'un fluide* est un champ de vecteurs. La *vitesse de déplacement d'un corps ponctuel* est un champ vectoriel, défini sur la trajectoire du corps.
- La vitesse de déplacement d'un *objet étendu qu'on ne peut pas identifier à son baricentre* n'est pas un champ vectoriel, car elle n'est pas définie sur des points.

## Composantes cartésiennes d'un champ de vecteurs

**Définition** – Soit  $\vec{x} \longmapsto \vec{V}(\vec{x})$  un champ de vecteurs de  $\mathbb{R}^3$ .

- Si  $\vec{x} = (x, y, z)$  est donné en coordonnées cartésiennes, on a

$$\vec{V}(\vec{x}) = V_x(\vec{x}) \vec{i} + V_y(\vec{x}) \vec{j} + V_z(\vec{x}) \vec{k},$$

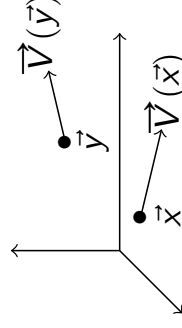
où  $(\vec{i}, \vec{j}, \vec{k})$  est le repère cartésien de  $\mathbb{R}^3$  centré au point  $\vec{x}$ , et  $V_x, V_y, V_z : \mathbb{R}^3 \rightarrow \mathbb{R}$  sont des fonctions réelles qui s'appellent **coefficients** ou **composantes** de  $\vec{V}$ .

- Le **domaine** de  $\vec{V}$  est l'ensemble

$$D_{\vec{V}} = \left\{ \vec{x} \in \mathbb{R}^3 \mid \vec{x} \in D_{V_x}, \vec{x} \in D_{V_y}, \vec{x} \in D_{V_z} \right\}.$$

- Le champ est **de classe  $C^k$**  si ses coefficients le sont.

- Le **dessin** de  $\vec{V}$  consiste des vecteurs  $\vec{V}(\vec{x})$  appliqués aux points  $\vec{x}$ :



# Loi de transformation d'un champ vectoriel

**Remarque** – Soit  $\vec{V}$  un champ vectoriel de  $\mathbb{R}^3$ .

- Même si on ne considère pas les unités de mesure, un chmt de variables  $\vec{x} = h(\vec{u})$  peut modifier le repère pour  $\vec{V}(\vec{x})$ , dans la direction des vecteurs.

- En général, si  $\vec{x} = h(\vec{u})$ , le champ  $\vec{V}(\vec{x})$  se transforme en

$$\begin{aligned} \vec{V}(\vec{u}) &= H(\vec{V}(h(\vec{u}))) \\ &= \tilde{V}_x(\vec{u}) H(\vec{i}) + \tilde{V}_y(\vec{u}) H(\vec{j}) + \tilde{V}_z(\vec{u}) H(\vec{k}) \end{aligned}$$

où  $\tilde{V}_x(\vec{u}) = V_x(h(\vec{u}))$  (même chose pour  $\tilde{V}_y$  et  $\tilde{V}_z$ ), et  $H(\vec{i}), H(\vec{j}), H(\vec{k})$  sont les vecteurs  $\vec{i}, \vec{j}$  et  $\vec{k}$  exprimés dans le nouveau repère de  $\mathbb{R}^3$  déterminé par  $h$ ,

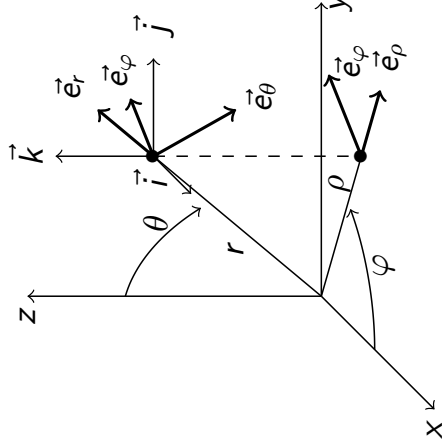
c'est-à-dire le repère  $(\vec{e}_1, \vec{e}_2, \vec{e}_3)$  qui permet de décrire  $\vec{u} = u\vec{e}_1 + v\vec{e}_2 + w\vec{e}_3$  par les coordonnées  $(u, v, w)$ .

## Repères mobiles

**Définition** – Un **repère mobile** est un repère centré en tout point  $P$  variable, et qui dépend de la représentation en coordonnées de  $P$ : les vecteurs indiquent la direction de variation des coordonnées de  $P$ .

En particulier:

- **repère cartésien:**  
 $(\vec{i}, \vec{j}, \vec{k})$
- **repère cylindrique:**  
 $(\vec{e}_\rho, \vec{e}_\varphi, \vec{k})$
- **repère sphérique:**  
 $(\vec{e}_r, \vec{e}_\varphi, \vec{e}_\theta)$



**Attention** – Les vecteurs  $\vec{i}, \vec{j}, \vec{k}$  ne changent pas de direction quand  $P$  bouge, mais les autres vecteurs si !

## Transformations des repères cartésien, cylindrique et sphérique

**Proposition** – Les transformations  $H$  entre les repères cartésien, cylindrique et sphérique, sont les suivantes:

- **cartésien – cylindrique:**

$$\text{Si } (x, y, z) = h(\rho, \varphi, z), \text{ avec } \begin{cases} x = \rho \cos \varphi \\ y = \rho \sin \varphi \\ z = z \end{cases}, \text{ on a}$$

$$\begin{bmatrix} \vec{e}_\rho \\ \vec{e}_\varphi \\ \vec{k} = \vec{k} \end{bmatrix} = \begin{bmatrix} \cos \varphi \vec{i} + \sin \varphi \vec{j} \\ -\sin \varphi \vec{i} + \cos \varphi \vec{j} \\ \vec{k} \end{bmatrix} \quad \text{et} \quad \begin{bmatrix} \vec{i} \\ \vec{j} \\ \vec{k} \end{bmatrix} = \begin{bmatrix} \cos \varphi \vec{e}_\rho - \sin \varphi \vec{e}_\varphi \\ \sin \varphi \vec{e}_\rho + \cos \varphi \vec{e}_\varphi \\ \vec{k} \end{bmatrix}$$

**Preuve** – La première formule vient de la définition des vecteurs  $\vec{e}_\rho$ ,  $\vec{e}_\varphi$ , et la deuxième formule s'obtient en inversant le système donné par la première.

## Transformations des repères cartésien, cylindriques et sphériques

- **cartésien – sphérique:**

$$\text{Si } (x, y, z) = h(r, \varphi, \theta), \text{ avec } \begin{cases} x = r \cos \varphi \sin \theta \\ y = r \sin \varphi \sin \theta \\ z = r \cos \theta \end{cases}, \text{ on a}$$

$$\begin{bmatrix} \vec{e}_r \\ \vec{e}_\varphi \\ \vec{e}_\theta \end{bmatrix} = \begin{bmatrix} \cos \varphi \sin \theta \vec{i} + \sin \varphi \sin \theta \vec{j} + \cos \theta \vec{k} \\ -\sin \varphi \vec{i} + \cos \varphi \vec{j} \\ \cos \varphi \cos \theta \vec{i} + \sin \varphi \cos \theta \vec{j} - \sin \theta \vec{k} \end{bmatrix}$$

et

$$\begin{bmatrix} \vec{i} \\ \vec{j} \\ \vec{k} \end{bmatrix} = \begin{bmatrix} \cos \varphi \sin \theta \vec{e}_r - \sin \varphi \sin \theta \vec{e}_\varphi + \cos \varphi \cos \theta \vec{e}_\theta \\ \sin \varphi \sin \theta \vec{e}_r + \cos \varphi \sin \theta \vec{e}_\varphi + \sin \varphi \cos \theta \vec{e}_\theta \\ \cos \theta \vec{e}_r - \sin \theta \vec{e}_\theta \end{bmatrix}$$

**Preuve** – La première formule vient de la définition des vecteurs  $\vec{e}_r$ ,  $\vec{e}_\theta$ ,  $\vec{e}_\varphi$  et la deuxième formule s'obtient en inversant le système donné par la première.

## Champ vectoriel en coordonnées

**Conclusion** – Un champ vectoriel  $\vec{V}(\vec{x})$  de  $\mathbb{R}^3$  s'écrit dans le repère mobile de sa variable  $\vec{x}$ :

- en **coordonnées cartésiennes**  $(x, y, z)$ :

$$\vec{V} = V_x \vec{i} + V_y \vec{j} + V_z \vec{k},$$

- en **coordonnées cylindriques**  $(\rho, \varphi, z)$ :

$$\vec{V} = V_\rho \vec{e}_\rho + V_\varphi \vec{e}_\varphi + V_z \vec{k},$$

- en **coordonnées sphériques**  $(r, \varphi, \theta)$ :

$$\vec{V} = V_r \vec{e}_r + V_\varphi \vec{e}_\varphi + V_\theta \vec{e}_\theta,$$

où les coefficients  $V_x$ , etc, sont des fonctions  $\mathbb{R}^3 \rightarrow \mathbb{R}$ .

La **transformation** d'une forme à une autre est donnée par le **changement de coordonnées** usuel sur les coefficients, et par le **changement de repère** décrit ci-dessus sur les vecteurs.

## Champ axial et champ central

**Définition** – Un champ de vecteurs  $\vec{V}$  de  $\mathbb{R}^3$  s'appelle:

- **Axial** s'il ne dépend que de la distance  $\rho$  d'un axe (supposons  $\vec{k}$ ) et est dirigé dans la direction radiale (par rapport au "radius"  $\rho$ ).

En coordonnées cylindrique, il s'écrit

$$\vec{V}(\rho) = f(\rho) \vec{e}_\rho$$

- **Central** s'il ne dépend que de la distance  $r$  d'un point (supposons l'origine) et est dirigé dans la direction radiale (par rapport au "radius"  $r$ ).

En coordonnées sphériques, il s'écrit

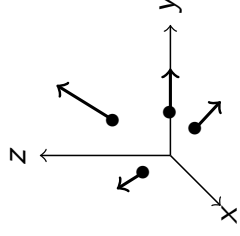
$$\vec{V}(r) = f(r) \vec{e}_r$$

## Exemples de champs vectoriels

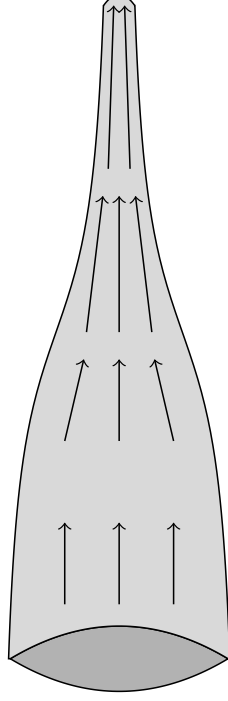
### Exemples –

- Le **vecteur position** est le champ central

$$\begin{aligned}\vec{x} &= x\vec{i} + y\vec{j} + z\vec{k} \\ &= \rho\vec{e}_\rho + z\vec{k} \\ &= r\vec{e}_r\end{aligned}$$



- La **vitesse d'écoulement d'un fluide**:



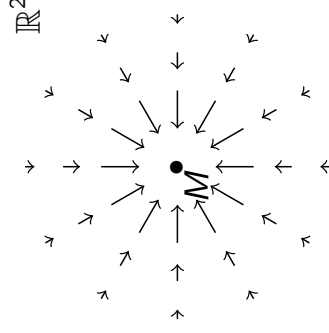
## Exemples de champs vectoriels

- Le **champ gravitationnel** engendré par une masse  $M$  est le champ central

$$\vec{\mathcal{G}}(r) = -\frac{GM}{r^2}\vec{e}_r$$

Une masse  $m$  située à distance  $r$  de  $M$  est soumise à la **force gravitationnelle**

$$\vec{F}(r) = m\vec{\mathcal{G}}(r) = -\frac{GMm}{r^2}\vec{e}_r.$$

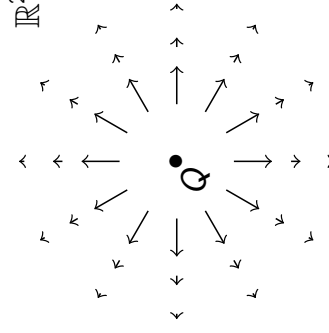


- Le **champ électrique** engendré par une charge  $Q$  est le champ central

$$\vec{E}(r) = \frac{1}{4\pi\epsilon}\frac{Q}{r^2}\vec{e}_r$$

Une charge  $q$  située à distance  $r$  de  $Q$  est soumise à la **force de Coulomb**

$$\vec{F}(r) = q\vec{E}(r) = \frac{1}{4\pi\epsilon}\frac{Qq}{r^2}\vec{e}_r.$$



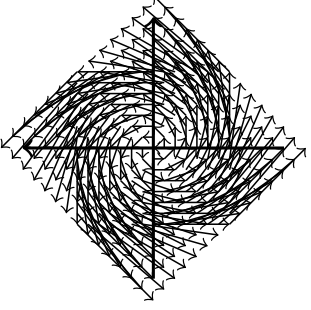
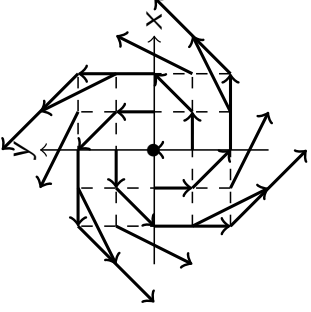
## Exercices

**Énoncé** – Trouver le domaine des champs de vecteurs suivants, les dessiner en un point générique de  $\mathbb{R}^3$  (ou  $\mathbb{R}^2$ ) et en deux ou trois points particuliers au choix. Enfin, exprimer ces champs en les autres coordonnées.

- $\vec{V}(x, y) = (-y, x) = -y \vec{i} + x \vec{j}$

**Réponse** –

Domaine =  $\mathbb{R}^2$ .



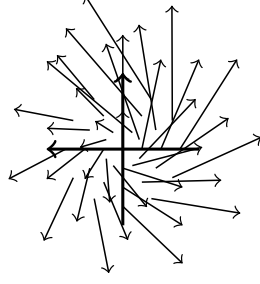
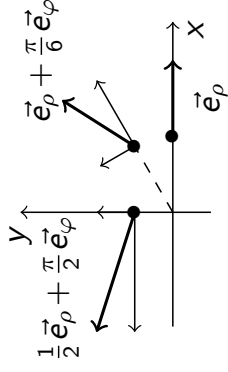
En coord. polaires:

$$\begin{aligned}\vec{V}(\rho, \varphi) &= -\rho \sin \varphi (\cos \varphi \vec{e}_\rho - \sin \varphi \vec{e}_\varphi) + \rho \cos \varphi (\sin \varphi \vec{e}_\rho + \cos \varphi \vec{e}_\varphi) \\ &= \rho (-\sin \varphi \cos \varphi + \cos \varphi \sin \varphi) \vec{e}_\rho + \rho (\sin^2 \varphi + \cos^2 \varphi) \vec{e}_\varphi \\ &= \boxed{\rho \vec{e}_\varphi}.\end{aligned}$$

## Exercices

- $\vec{V}(\rho, \varphi) = \rho \vec{e}_\rho + \varphi \vec{e}_\varphi$

**Réponse** –  $\rho > 0$  et  $\varphi \in [0, 2\pi[$ , ainsi  $D_V = \mathbb{R}_+^* \times [0, 2\pi[$ .



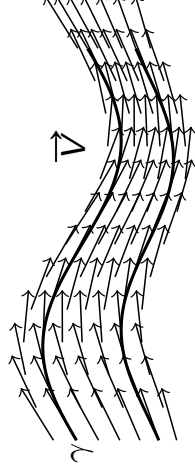
En coord. cartésiennes:

$$\begin{aligned}\vec{V}(x, y) &= \rho (\cos \varphi \vec{i} + \sin \varphi \vec{j}) + \varphi (-\sin \varphi \vec{i} + \cos \varphi \vec{j}) \\ &= (\rho \cos \varphi - \varphi \sin \varphi) \vec{i} + (\rho \sin \varphi + \varphi \cos \varphi) \vec{j} \\ &= \left( x - \arctan \frac{y}{x} \frac{y}{\sqrt{x^2 + y^2}} \right) \vec{i} \\ &\quad + \left( y + \arctan \frac{y}{x} \frac{x}{\sqrt{x^2 + y^2}} \right) \vec{j} \quad \text{si } x \neq 0 \text{ et } y > 0.\end{aligned}$$

# Lignes de champ

**Définition** – Les **lignes de champ** ou **courbes intégrales** d'un

champ vectoriel  $\vec{V}$  sont les courbes  $\gamma$  qui ont  $\vec{V}(\vec{x})$  comme vecteur tangent en tout point  $\vec{x} \in \gamma$ .



• Si  $\gamma$  est une **courbe paramétrée** par  $\vec{x}(t) = (x(t), y(t), z(t))$ , avec  $t \in \mathbb{R}$ , le **vecteur tangent à  $\gamma$  au point  $\vec{x}(t)$**  est le vecteur des dérivées

$$\dot{\vec{x}}(t) = (\dot{x}(t), \dot{y}(t), \dot{z}(t)).$$

• Alors  $\gamma$  est une ligne de champ pour  $\vec{V} = V_x \vec{i} + V_y \vec{j} + V_z \vec{k}$  si et seulement si, pour tout  $t$ , on a :

$$\dot{\vec{x}}(t) = \vec{V}(\vec{x}(t)) \quad \text{c-à-d} \quad \begin{cases} \dot{x}(t) = V_x(x(t), y(t), z(t)) \\ \dot{y}(t) = V_y(x(t), y(t), z(t)) \\ \dot{z}(t) = V_z(x(t), y(t), z(t)) \end{cases}$$

• Par tout point fixé  $\vec{x}_0 = \vec{x}(t_0)$  il passe une seule ligne de champ.

## Exercice

**Énoncé** – Trouver et dessiner les lignes de champ des champs de vecteurs suivants.

•  $\vec{V}(x, y, z) = (-y, x, 0) = -y\vec{i} + x\vec{j}$

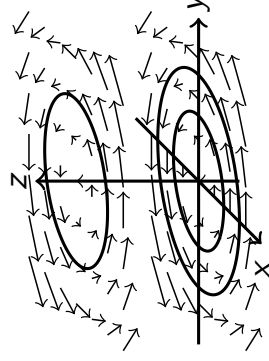
**Réponse** –  $\vec{x}(t) = (x(t), y(t), z(t))$  décrit une ligne de champ si :

$$\begin{aligned} \dot{\vec{x}}(t) &= (\dot{x}(t), \dot{y}(t), \dot{z}(t)) \\ &= \vec{V}(x(t), y(t), z(t)) \quad \text{c.-à-d.} \quad \begin{cases} \dot{x}(t) = -y(t) \\ \dot{y}(t) = x(t) \\ \dot{z}(t) = 0 \end{cases} \end{aligned}$$

Ainsi  $\dot{x}(t)x(t) + \dot{y}(t)y(t) = \frac{d}{dt}(x(t)^2 + y(t)^2) = 0$ , et donc

$$\begin{cases} x(t)^2 + y(t)^2 \text{ est constant} \\ z(t) \text{ est constant} \end{cases}$$

Au final,  $\gamma$  décrit un cercle sur un plan horizontal centré sur l'axe  $Oz$ .



## Exercice

- **Champ gravitationnel:**  $\vec{\mathcal{G}}(r) = -\frac{GM}{r^2} \vec{e}_r$ .

**Réponse** – Les lignes de champ de  $\vec{\mathcal{G}}$  donnent la *trajectoire* d'un corps soumis à la force gravitationnelle exercée par la masse  $M$ .

- En coord. sphériques, une courbe paramétrée  $\gamma$  est donnée par
- $r(t) \in ]0, \infty[$ ,  $\varphi(t) \in [0, 2\pi[$  et  $\theta(t) \in ]0, \pi[$ .
- Les points de la courbe sont donnés par les vecteurs positions

$$\vec{x}(t) = r(t) \vec{e}_r(t),$$

où le vecteur  $\vec{e}_r$  dépend aussi de  $t$  car il change de direction avec le point  $\vec{x}(t)$  (contrairement à  $\vec{i}$ ,  $\vec{j}$  et  $\vec{k}$ ).

- Le vecteur tangent à  $\gamma$  au point  $\vec{x}(t)$  est donc
- $$\dot{\vec{x}}(t) = \dot{r}(t) \vec{e}_r(t) + r(t) \dot{\vec{e}}_r(t).$$
- Pour trouver les lignes de champ, il nous faut un petit lemme.

## Dérivée d'un vecteur à norme constante

**Lemme** – Soit  $\vec{u} = \vec{u}(t)$  un vecteur paramétré par  $t \in \mathbb{R}$ .  
Si  $\vec{u}$  a norme constante non nulle, c-à-d  $\|\vec{u}(t)\| = c \neq 0$ , alors le vecteur dérivé  $\dot{\vec{u}}$  est toujours orthogonal à  $\vec{u}$ , c-à-d

$$\vec{u}(t) \cdot \dot{\vec{u}}(t) = 0 \quad \text{pour tout } t \quad (\text{produit scalaire}).$$

**Preuve** – On écrit  $\|\vec{u}(t)\| = \sqrt{\vec{u}(t) \cdot \vec{u}(t)}$  et on dérive:

$$\begin{aligned} \left( \|\vec{u}(t)\| \right)' &= \left( \sqrt{\vec{u}(t) \cdot \vec{u}(t)} \right)' = \frac{\dot{\vec{u}}(t) \cdot \vec{u}(t) + \vec{u}(t) \cdot \dot{\vec{u}}(t)}{2\sqrt{\vec{u}(t) \cdot \vec{u}(t)}} \\ &= \frac{2 \vec{u}(t) \cdot \dot{\vec{u}}(t)}{2\sqrt{\vec{u}(t) \cdot \vec{u}(t)}} = \frac{\vec{u}(t) \cdot \dot{\vec{u}}(t)}{\|\vec{u}(t)\|} \end{aligned}$$

On a donc

$$\|\vec{u}(t)\| = c \Leftrightarrow \left( \|\vec{u}(t)\| \right)' = 0 \Leftrightarrow \vec{u}(t) \cdot \dot{\vec{u}}(t) = 0. \quad \square$$

## Exercice (suite)

- Résumé: pour une courbe  $\gamma$  en coordonnées sphériques

$$\vec{x}(t) = r(t) \vec{e}_r(t),$$

le vecteur tangent est

$$\dot{\vec{x}}(t) = \dot{r}(t) \vec{e}_r(t) + r(t) \dot{\vec{e}}_r(t),$$

et, puisque  $\vec{e}_r(t)$  a norme constante 1, le vecteur  $\dot{\vec{e}}_r(t)$  est orthogonal à  $\vec{e}_r(t)$ , c-à-d avec seulement des composantes dans les directions  $\vec{e}_\varphi(t)$  et  $\vec{e}_\theta(t)$ .

- Alors  $\gamma$  est une ligne de champ de  $\vec{\mathcal{G}}$  si

$$\begin{aligned} \dot{\vec{x}}(t) &= \dot{r}(t) \vec{e}_r(t) + r(t) \dot{\vec{e}}_r(t) \\ &= \vec{\mathcal{G}}(\vec{x}(t)) = -\frac{GM}{r(t)^2} \vec{e}_r(t) \end{aligned}$$

$$\left\{ \begin{array}{l} \dot{r}(t) = -\frac{GM}{r(t)^2} \quad (1) \\ \dot{\vec{e}}_r(t) = 0 \quad (2) \end{array} \right.$$

c'est-à-dire si

## Exercice (suite)

- (2) dit que  $\vec{e}_r(t)$  est constant.

Donc les lignes de champ sont des droites *radiales* centrées en  $M$ .

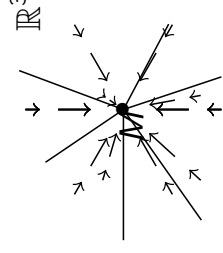
- (1) donne la distance  $r(t)$  de  $M$ :

$$\begin{aligned} \dot{r}(t) &= -\frac{GM}{r(t)^2} &\Rightarrow & r(t)^2 \dot{r}(t) = \frac{1}{3} \frac{d}{dt} (r(t)^3) = -GM \\ &&\Rightarrow & r(t)^3 = -3GM t + r_0^3 \\ &&\Rightarrow & r(t) = \sqrt[3]{r_0^3 - 3GM t} \end{aligned}$$

où  $r_0 = r(0)$  est la distance initiale du corps de  $M$ .

Pour que  $r(t)$  soit positif, il faut que  $t \leq r_0^3/3GM$ .

- En somme, un corps qui se trouve à distance  $r_0$  de  $M$  est attiré par la masse (car  $r(t)$  diminue quand  $t$  augmente), et la touche à l'instant  $t = r_0^3/3GM$ . Les lignes de champ sont orientées vers  $M$ : le champ gravitationnel est **attractif**.

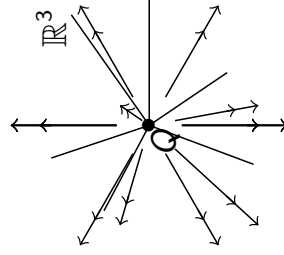


## Exercice (suite)

- **Champ électrique:**  $\vec{E}(r) = \frac{1}{4\pi\epsilon} \frac{Q}{r^2} \vec{e}_r$

**Réponse brève** – Les lignes de champ sont aussi des droites radiales, passant par la position de la charge  $Q$  qui engendre le champ.

Cette fois, les lignes de champs sont orientée vers l'extérieur: le champ électrique est **répulsif**.



## 4.4 – Champs conservatifs

Dans cette section:

- Gradient
- Potentiel scalaire et champs conservatifs
- Rotationnel
- Champs irrotationnels
- Ensembles connexes, simplement connexes, contractiles
- Lemme de Poincaré (cas simplement connexe)
- Calcul du potentiel scalaire
- Le champ électrique  $\vec{E}$  et le champ gravitationnel  $\vec{G}$

# Gradient d'un champ scalaire

**Définition** – Soit  $\phi : D \subset \mathbb{R}^3 \rightarrow \mathbb{R}$  un champ scalaire. Le gradient de  $\phi$  est le champ de vecteurs  $\vec{\nabla}\phi = \overrightarrow{\text{grad}}\phi$  sur  $D$  donné par les expressions:

$$\overrightarrow{\text{grad}}\phi = \frac{\partial\phi}{\partial x} \vec{i} + \frac{\partial\phi}{\partial y} \vec{j} + \frac{\partial\phi}{\partial z} \vec{k}$$

$$\overrightarrow{\text{grad}}\phi = \frac{\partial\phi}{\partial\rho} \vec{e}_\rho + \frac{1}{\rho} \frac{\partial\phi}{\partial\varphi} \vec{e}_\varphi + \frac{\partial\phi}{\partial z} \vec{k}$$

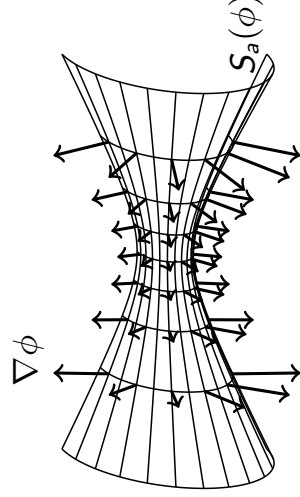
$$\overrightarrow{\text{grad}}\phi = \frac{\partial\phi}{\partial r} \vec{e}_r + \frac{1}{r\sin\theta} \frac{\partial\phi}{\partial\varphi} \vec{e}_\varphi + \frac{1}{r} \frac{\partial\phi}{\partial\theta} \vec{e}_\theta.$$

**Exemple** – Le gradient de  $\phi(r, \varphi, \theta) = r\varphi \sin\theta$  est

$$\begin{aligned} \vec{\nabla}\phi(r, \varphi, \theta) &= \frac{\partial(r\varphi \sin\theta)}{\partial r} \vec{e}_r + \frac{1}{r\sin\theta} \frac{\partial(r\varphi \sin\theta)}{\partial\varphi} \vec{e}_\varphi + \frac{1}{r} \frac{\partial(r\varphi \sin\theta)}{\partial\theta} \vec{e}_\theta \\ &= \varphi \sin\theta \vec{e}_r + \frac{r\sin\theta}{r\sin\theta} \vec{e}_\varphi + \frac{r\varphi \cos\theta}{r} \vec{e}_\theta \\ &= \varphi \sin\theta \vec{e}_r + \vec{e}_\varphi + \varphi \cos\theta \vec{e}_\theta \end{aligned}$$

## Propriétés du gradient

**Proposition** – Le gradient  $\overrightarrow{\text{grad}}\phi$  est orthogonal aux surfaces de niveau de  $\phi$  en tout point, et indique le sens de plus forte croissance de  $\phi$ .



**Proposition** – Le gradient  $\vec{\nabla} = \overrightarrow{\text{grad}}$  est un opérateur linéaire agissant sur les champs scalaires (ici  $f$  et  $g$ ):

$$\vec{\nabla}(\lambda f + \mu g) = \lambda \vec{\nabla}f + \mu \vec{\nabla}g, \quad \text{pour tout } \lambda, \mu \in \mathbb{R}.$$

Sur un produit, il agit par la règle de Leibniz:

$$\vec{\nabla}(fg) = (\vec{\nabla}f) g + f (\vec{\nabla}g).$$

# Potentiel scalaire et champ conservatif

## Définition –

- On appelle **champ de gradient** tout champ vectoriel  $\vec{V}$  qui est le gradient d'un champ scalaire  $\phi$ , c'est-à-dire de la forme

$$\vec{V} = \overrightarrow{\text{grad}} \phi.$$

- Une force  $\vec{F}$  est **conservative** si, quand elle agit sur un système isolé, l'*énergie mécanique* du système est conservée.

Si on voit  $\vec{F}$  comme un champ de force, cela arrive s'il existe un champ scalaire  $\phi$  tel que

$$\vec{F} = - \overrightarrow{\text{grad}} \phi.$$

Dans ce cas, le champ  $\phi$  s'appelle **potentiel (scalaire)** de  $\vec{F}$ .

- Donc le potentiel de  $\vec{V} = \overrightarrow{\nabla} \phi$  est le champ  $-\phi$ !

## Exemples de forces conservatives

### Exemples –

- La force gravitationnelle  $\vec{F}(r) = m\vec{g}(r)$  et la force de Coulomb  $\vec{F}(r) = q\vec{E}(r)$  sont conservatives.

Justement: quel est leur potentiel?

- La *force de Lorentz* (due à un champ magnétique  $\vec{B}$ ), la *pression*, le *frottement* ou un *choc* sont des forces non-conservatives.

### Questions –

- Comment savoir si une force  $\vec{F}$  est conservative?
- Si elle l'est, comment trouver son potentiel?

## Rotationnel d'un champ vectoriel

**Définition** – Soit  $\vec{V} : D \subset \mathbb{R}^3 \rightarrow \mathbb{R}^3$  un champ de vecteurs. Le **rotationnel de  $\vec{V}$**  est le champ de vecteurs sur  $D$ , noté  $\vec{\text{rot}} \vec{V} = \vec{\nabla} \times \vec{V}$  (produit vectoriel, en France  $\wedge$ ), donné par :

$$\begin{aligned} \vec{\text{rot}} \vec{V} &= \begin{vmatrix} \vec{i} & \vec{j} & \vec{k} \\ \frac{\partial}{\partial x} & \frac{\partial}{\partial y} & \frac{\partial}{\partial z} \\ V_x & V_y & V_z \end{vmatrix} \\ &= \left( \frac{\partial V_z}{\partial y} - \frac{\partial V_y}{\partial z} \right) \vec{i} + \left( \frac{\partial V_x}{\partial z} - \frac{\partial V_z}{\partial x} \right) \vec{j} + \left( \frac{\partial V_y}{\partial x} - \frac{\partial V_x}{\partial y} \right) \vec{k} \\ \vec{\text{rot}} \vec{V} &= \left( \frac{1}{\rho} \frac{\partial V_z}{\partial \varphi} - \frac{\partial V_\varphi}{\partial z} \right) \vec{e}_\rho + \left( \frac{\partial V_\rho}{\partial z} - \frac{\partial V_z}{\partial \rho} \right) \vec{e}_\varphi + \frac{1}{\rho} \left( \frac{\partial(\rho V_\varphi)}{\partial \rho} - \frac{\partial V_\rho}{\partial \varphi} \right) \vec{k} \\ \vec{\text{rot}} \vec{V} &= \frac{1}{r \sin \theta} \left( \frac{\partial(\sin \theta V_\varphi)}{\partial \theta} - \frac{\partial V_\theta}{\partial \varphi} \right) \vec{e}_r + \frac{1}{r} \left( \frac{\partial(r V_\theta)}{\partial r} - \frac{\partial V_r}{\partial \theta} \right) \vec{e}_\theta \\ &\quad + \frac{1}{r} \left( \frac{1}{\sin \theta} \frac{\partial V_r}{\partial \varphi} - \frac{\partial(r V_\varphi)}{\partial r} \right) \vec{e}_\theta \end{aligned}$$

## Exemples de rotationnel

**Exemples** – En coordonnées cartésiennes :

- $\vec{V}(x, y, z) = -y \vec{i} + x \vec{j}$ 

$$\begin{aligned} \vec{\text{rot}} \vec{V}(x, y, z) &= \left( \frac{\partial 0}{\partial y} - \frac{\partial x}{\partial z} \right) \vec{i} + \left( \frac{\partial(-y)}{\partial z} - \frac{\partial 0}{\partial x} \right) \vec{j} + \left( \frac{\partial x}{\partial x} - \frac{\partial(-y)}{\partial y} \right) \vec{k} \\ &= 0 \vec{i} + 0 \vec{j} + (1 + 1) \vec{k} = 2 \vec{k}. \end{aligned}$$
- $\vec{V}(x, y, z) = x^2 \vec{i} + 2xy \vec{j} + z \vec{k}$ 

$$\begin{aligned} \vec{\text{rot}} \vec{V}(x, y, z) &= 0 \vec{i} + 0 \vec{j} + (2y) \vec{k} \\ &= 2y \vec{k}. \end{aligned}$$

## Exemples de rotationnel

**Exemples** – En coordonnées cylindriques et sphériques:

- $\vec{V}(\rho, \varphi, z) = \sin \varphi \vec{e}_\rho + \rho \vec{k}$

$$\begin{aligned} \overrightarrow{\text{rot}} \vec{V}(\rho, \varphi, z) &= \left( \frac{1}{\rho} \frac{\partial \rho}{\partial \varphi} - \frac{\partial 0}{\partial z} \right) \vec{e}_\rho + \left( \frac{\partial \sin \varphi}{\partial z} - \frac{\partial \rho}{\partial \rho} \right) \vec{e}_\varphi \\ &\quad + \frac{1}{\rho} \left( \frac{\partial(\rho \cdot 0)}{\partial \rho} - \frac{\partial \sin \varphi}{\partial \varphi} \right) \vec{k} \\ &= -\vec{e}_\varphi - \frac{\cos \varphi}{\rho} \vec{k}. \end{aligned}$$

- $\vec{V}(r, \varphi, \theta) = \sin \varphi \vec{e}_r + r \vec{e}_\theta$

$$\begin{aligned} \overrightarrow{\text{rot}} \vec{V}(r, \varphi, \theta) &= \frac{1}{r \sin \theta} \left( \frac{\partial(\sin \theta \cdot 0)}{\partial \theta} - \frac{\partial r}{\partial \varphi} \right) \vec{e}_r + \frac{1}{r} \left( \frac{\partial r^2}{\partial r} - \frac{\partial \sin \varphi}{\partial \theta} \right) \vec{e}_\varphi \\ &\quad + \frac{1}{r} \left( \frac{1}{\sin \theta} \frac{\partial \sin \varphi}{\partial \varphi} - \frac{\partial(r \cdot 0)}{\partial r} \right) \vec{e}_\theta \\ &= 0 \vec{e}_r + \frac{2r}{r} \vec{e}_\varphi + \frac{\cos \varphi}{r \sin \theta} \vec{e}_\theta \\ &= 2 \vec{e}_\varphi + \frac{\cos \varphi}{r \sin \theta} \vec{e}_\theta. \end{aligned}$$

## Champs irrotationnels

**Proposition** – Le rotationnel est un opérateur linéaire agissant sur les champs de vecteurs (ici  $\vec{U}$  et  $\vec{V}$ ):

$$\overrightarrow{\text{rot}}(\lambda \vec{U} + \mu \vec{V}) = \lambda \overrightarrow{\text{rot}} \vec{U} + \mu \overrightarrow{\text{rot}} \vec{V}, \quad \text{pour tout } \lambda, \mu \in \mathbb{R}$$

et satisfait l'identité

$$\overrightarrow{\text{rot}}(\overrightarrow{\text{grad}} \phi) = 0, \quad \text{pour tout champ scalaire } \phi.$$

**Définition** – Un champ de vecteurs  $\vec{V}$  se dit **irrotationnel** si

$$\overrightarrow{\text{rot}} \vec{V} = \vec{0}.$$

- Donc tout champ de gradient  $\vec{V} = \overrightarrow{\text{grad}} \phi$  est irrotationnel.
- Mais un champ irrotationnel n'est pas toujours un gradient! Pour savoir s'il l'est, il existe un critère basé sur les propriétés topologiques du domaine  $D$  du champ.

# Ensembles simplement connexes et contractiles

**Définition** – Un sous-ensemble  $D$  de  $\mathbb{R}^2$  ou de  $\mathbb{R}^3$  s'appelle:

- **Connexe** si tous les points de  $D$  peuvent être joint par une courbe contenue dans  $D$ .



- **Simplement connexe** s'il est connexe et toute courbe fermée dans  $D$  peut être déformée en un point.



- **Contractile** si on peut déformer l'espace entier  $D$  en un point.



## Lemme de Poincaré (cas simplement connexe)

**Théorème** – Soit  $\vec{V}$  un champ de vecteurs sur  $\mathbb{R}^3$  et soit  $D \subset \mathbb{R}^3$  un ensemble simplement connexe. Alors:

$$\vec{V} = \overrightarrow{\text{grad}} \phi \quad \text{sur } D \iff \overrightarrow{\text{rot}} \vec{V} = 0 \quad \text{sur } D.$$

- Ainsi, si  $\vec{F}$  est un champ de force sur  $D \subset \mathbb{R}^3$ :

Si  $D$  est **simplement connexe**:

$$\vec{F} \text{ est conservatif} \iff \vec{F} \text{ est un champ irrotationnel}$$

(a un potentiel scalaire)

- **Attention** – On ne peut rien dire sur  $\vec{F}$  si  $D$  n'est pas simplement connexe: tout peut arriver!

## Calcul du potentiel scalaire

**Problème** – Soit  $\vec{V}$  un champ vectoriel de  $\mathbb{R}^3$  tel que  $\overrightarrow{\text{rot}} \vec{V} = \vec{0}$ , défini sur un domaine  $D$  simplement connexe.  
Trouver son potentiel scalaire  $\phi$ , tel que  $\vec{V} = -\vec{\nabla}\phi$ .

**Méthode** – Pour simplifier, on cherche l'opposé de  $\phi$ : une fonction  $f : D \rightarrow \mathbb{R}$  telle que  $\vec{V} = \vec{\nabla}f$ . En coordonnées cartésiennes:

$$(1) \quad \frac{\partial f}{\partial x} = V_x, \quad (2) \quad \frac{\partial f}{\partial y} = V_y, \quad (3) \quad \frac{\partial f}{\partial z} = V_z.$$

- On intègre (1) et on trouve
$$f(x, y, z) = \int V_x(x, y, z) dx + g(y, z). \quad (4)$$
- On dérive  $f$  par rapport à  $y$ , on trouve  $\frac{\partial g}{\partial y}$  avec (2) et on l'intègre:
$$g(y, z) = \int \frac{\partial g}{\partial y}(y, z) dy + h(z). \quad (5)$$
- On met (5) dans (4) pour obtenir à nouveau  $f$ . On dérive  $f$  par rapport à  $z$  et on utilise (3) pour trouver  $h'(z)$  et donc  $h(z)$ .
- À rebours, on insère  $h(z)$  dans (5) pour avoir  $g(y, z)$ , qu'on met dans (4), et on obtient enfin  $f(x, y, z)$ .

## Exemple: calcul du potentiel scalaire

- Exemple** – Soit  $\vec{V}(x, y, z) = 2xy\vec{i} + (x^2 + z)\vec{j} + y\vec{k}$ .
- D'abord on vérifie que  $\overrightarrow{\text{rot}} \vec{V} = \vec{0}$ .
  - Puisque  $\vec{V}$  est défini sur tout  $\mathbb{R}^3$ , qui est simplement connexe, par le Lemme de Poincaré on sait que  $\vec{V}$  est un champ de gradient.
  - Cherchons la fonction  $f$  telle que  $\vec{V} = \overrightarrow{\text{grad}} f$ . On a
$$(1) \quad \frac{\partial f}{\partial x} = 2xy, \quad (2) \quad \frac{\partial f}{\partial y} = x^2 + z, \quad (3) \quad \frac{\partial f}{\partial z} = y.$$
  - (1) donne  $f(x, y, z) = \int 2xy dx + g(y, z) = x^2y + g(y, z)$ .
  - (2) donne  $\frac{\partial f}{\partial y} = x^2 + \frac{\partial g}{\partial y} = x^2 + z$ , d'où suit  $\frac{\partial g}{\partial y} = z$ ,  
ensuite  $g(y, z) = \int z dy + h(z) = zy + h(z)$   
et enfin  $f(x, y, z) = x^2y + zy + h(z)$ .
  - (3) donne  $\frac{\partial f}{\partial z} = y + h'(z) = y$ , d'où  $h'(z) = 0$  et  $h(z) = c$ .

- On a alors  $f(x, y, z) = x^2y + zy + c$ .

## Exemple: potentiel du champ gravitationnel

**Exemple** – Soit  $\vec{\mathcal{G}}(r) = -\frac{GM}{r^2} \vec{e}_r$  le champ gravitationnel.

- D'abord, vérifions qu'il admet un potentiel:

$$\vec{\text{rot}} \vec{\mathcal{G}}(r) = -\frac{1}{r} \frac{\partial}{\partial \theta} \left(-\frac{GM}{r^2}\right) \vec{e}_\varphi + \frac{1}{r \sin \theta} \frac{\partial}{\partial \varphi} \left(-\frac{GM}{r^2}\right) \vec{e}_\theta = \vec{0}.$$

- Le champ  $\vec{\mathcal{G}}$  est défini sur  $D = \{(r, \varphi, \theta) \mid r > 0\} = \mathbb{R}^3 \setminus \text{origine}$ , qui est simplement connexe. Par le Lemme de Poincaré,  $\vec{\mathcal{G}}$  admet donc un potentiel scalaire.
- En coordonnées sphériques: cherchons une fonction  $\phi(r, \varphi, \theta)$  telle que  $\vec{\mathcal{G}} = -\vec{\text{grad}} \phi$ , c'est-à-dire

$$-\frac{\partial \phi}{\partial r} \vec{e}_r - \frac{1}{r \sin \theta} \frac{\partial \phi}{\partial \varphi} \vec{e}_\varphi - \frac{1}{r} \frac{\partial \phi}{\partial \theta} \vec{e}_\theta = -\frac{GM}{r^2} \vec{e}_r,$$

Cela donne les équations

$$(1) \quad \frac{\partial \phi}{\partial r} = \frac{GM}{r^2}, \quad (2) \quad \frac{\partial \phi}{\partial \varphi} = 0, \quad (3) \quad \frac{\partial \phi}{\partial \theta} = 0.$$

- (2) et (3) disent que  $\phi$  ne dépend pas de  $\varphi$  et de  $\theta$ .
- (1) devient alors  $\phi'(r) = \frac{GM}{r^2}$ , d'où suit  $\phi(r) = -\frac{GM}{r} = V(r)$ .

## 4.5 – Champs incompressibles

Dans cette section:

- Divergence
- Champs à divergence nulle (incompressibles, solénoïdaux)
- Potentiel vectoriel
- Lemme de Poincaré (cas contractile)
- Calcul du potentiel vectoriel
- Le champ magnétique  $\vec{B}$  et son potentiel  $\vec{A}$

# Divergence

**Définition** – Soit  $\vec{V} : D \subset \mathbb{R}^3 \rightarrow \mathbb{R}^3$  un champ de vecteurs. La **divergence** de  $\vec{V}$  est le champ scalaire sur  $D$ , noté  $\operatorname{div} \vec{V} = \vec{\nabla} \cdot \vec{V}$  (produit scalaire), donné par:

$$\operatorname{div} \vec{V} = \frac{\partial V_x}{\partial x} + \frac{\partial V_y}{\partial y} + \frac{\partial V_z}{\partial z}$$

$$\operatorname{div} \vec{V} = \frac{1}{\rho} \frac{\partial(\rho V_\rho)}{\partial \rho} + \frac{1}{\rho} \frac{\partial V_\varphi}{\partial \varphi} + \frac{\partial V_z}{\partial z}$$

$$\operatorname{div} \vec{V} = \frac{1}{r^2} \frac{\partial(r^2 V_r)}{\partial r} + \frac{1}{r \sin \theta} \frac{\partial V_\varphi}{\partial \varphi} + \frac{1}{r \sin \theta} \frac{\partial(\sin \theta V_\theta)}{\partial \theta}$$

**Exemples** –

- $\vec{V}(x, y) = -y\vec{i} + x\vec{j} \implies \operatorname{div} \vec{V}(x, y) = 0.$

- $\vec{V}(x, y, z) = x^2\vec{i} + 2xy\vec{j} + z\vec{k} \implies \operatorname{div} \vec{V}(x, y, z) = 2x + 2x + 1 = 4x + 1.$

- $\vec{E}(r) = \frac{Q}{4\pi\epsilon} \frac{1}{r^2} \vec{e}_r \implies \operatorname{div} \vec{E}(r) = \frac{Q}{4\pi\epsilon} \frac{1}{r^2} \frac{\partial}{\partial r} \left( \frac{r^2}{r^2} \right) = 0$

## Propriétés de la divergence

**Proposition** – La divergence est un opérateur linéaire agissant sur les champs de vecteurs (ici  $\vec{U}$  et  $\vec{V}$ ):

$$\operatorname{div}(\lambda \vec{U} + \mu \vec{V}) = \lambda \operatorname{div} \vec{U} + \mu \operatorname{div} \vec{V}, \quad \text{pour tout } \lambda, \mu \in \mathbb{R}$$

et satisfait aux identités suivantes:

$$\operatorname{div}(\phi \vec{V}) = \phi \operatorname{div} \vec{V} + \vec{\operatorname{grad}} \phi \cdot \vec{V}$$

$$\operatorname{div}(\vec{U} \wedge \vec{V}) = \vec{\operatorname{rot}}(\vec{U}) \cdot \vec{V} - \vec{U} \cdot \vec{\operatorname{rot}}(\vec{V})$$

$$\operatorname{div}(\vec{\operatorname{grad}} \phi) = \Delta \phi \quad (= \text{Laplacien})$$

$$\vec{\operatorname{grad}}(\operatorname{div} \vec{V}) = \Delta \vec{V} + \vec{\operatorname{rot}} \operatorname{rot} \vec{V} \quad (\Delta \vec{V} = \text{Laplacien vectoriel})$$

$$\operatorname{div}(\vec{\operatorname{rot}} \vec{V}) = 0$$

pour tout champ scalaire  $\phi$ .

## Champs à divergence nulle, incompressibles, solénoïdaux

### Définition –

- Un champ vectoriel  $\vec{V}$  est à **divergence nulle** si  $\text{div } \vec{V} = 0$ .
- Un fluide est **incompressible** si son volume reste constant quand il est soumis à une pression. (Par exemple, un liquide est considéré incompressible, un gaz non.) Cela arrive si le champ  $\vec{V}$  qui décrit la *vitesse d'écoulement* du fluide a divergence nulle.
- Un champ de vecteurs  $\vec{V}$  qui décrit un *courant de matière* est dit **solénoïdal** (du grèc *sôlen* = tuyau) si le volume de matière transportée est constant (comme s'il était contraint dans un tuyau): cela arrive si  $\text{div } \vec{V} = 0$ .

**Exemple** – Un champ de gradient  $\overrightarrow{\text{grad}} \phi$  est solénoïdal si

$$\text{div } (\overrightarrow{\text{grad}} \phi) = \Delta \phi = 0,$$

c'est-à-dire si la fonction  $\phi$  est harmonique.

## Potentiel vectoriel et invariance de jauge

**Définition** – Soit  $\vec{V}$  un champ de vecteurs. On appelle **potentiel vectoriel** de  $\vec{V}$  un champ  $\vec{U}$  tel que  $\vec{V} = \overrightarrow{\text{rot}} \vec{U}$ .

### Proposition –

- Si le champ  $\vec{V}$  admet un *potentiel vectoriel*, alors  $\vec{V}$  est à *divergence nulle*. (Car  $\vec{V} = \overrightarrow{\text{rot}} \vec{U}$  et  $\text{div } \overrightarrow{\text{rot}} \vec{U} = 0$ .)
- Si  $\vec{U}$  est un *potentiel* de  $\vec{V}$ , alors  $\vec{U} + \overrightarrow{\text{grad}} \phi$  l'est aussi, quelque soit le *champ scalaire*  $\phi$ .

(En effet, on a

$$\overrightarrow{\text{rot}} (\vec{U} + \overrightarrow{\text{grad}} \phi) = \overrightarrow{\text{rot}} \vec{U} = \vec{V},$$

car  $\overrightarrow{\text{rot}} \overrightarrow{\text{grad}} \phi = \vec{0}$  pour tout  $\phi$ .)

**Définition** – Le remplacement  $\vec{U} \rightarrow \vec{U} + \overrightarrow{\text{grad}} \phi$  s'appelle **transformation de jauge**, la liberté dans le choix du potentiel vectoriel est due à l'**invariance de jauge** du champ  $\vec{V}$  et le choix d'un potentiel s'appelle **choix de jauge**.

## Lemme de Poincaré (cas contractile)

**Remarque** – Si  $\vec{V} = \vec{\text{rot}} \vec{U}$  alors  $\text{div} \vec{V} = 0$ , mais si  $\text{div} \vec{V} = 0$  alors  $\vec{V}$  n'est pas toujours  $= \vec{\text{rot}} \vec{U}$  !

**Théorème** – Soit  $\vec{V}$  un champ de vecteurs sur  $\mathbb{R}^3$  et soit  $D \subset \mathbb{R}^3$  un ensemble contractile. Alors:

$$\vec{V} = \vec{\text{rot}} \vec{U} \quad \text{sur } D \quad \iff \quad \text{div} \vec{V} = 0 \quad \text{sur } D.$$

- Ainsi, si  $\vec{V}$  est un champ de vecteurs sur  $D \subset \mathbb{R}^3$ :

Si  $D$  est contractile:  
 $\vec{V}$  admet un potentiel vectoriel  $\iff \vec{V}$  est à divergence nulle (incompressible / solénoïdal)

- **Attention** – On ne peut rien dire sur  $\vec{V}$  si  $D$  n'est pas contractile: tout peut arriver!

## Calcul du potentiel vectoriel

**Problème** – Soit  $\vec{V}$  un champ vectoriel de  $\mathbb{R}^3$  tel que  $\text{div} \vec{V} = 0$ , défini sur un ensemble contractile. Trouver son potentiel vectoriel  $\vec{U}$ , tel que  $\vec{V} = \vec{\text{rot}} \vec{U}$ .

**Méthode** – En coordonnées cartésiennes, le potentiel vectoriel de  $\vec{V}$  est un champ  $\vec{U} = f\vec{i} + g\vec{j} + h\vec{k}$  défini sur  $D$  tel que  $\vec{V} = \vec{\text{rot}} \vec{U}$ , c'est-à-dire

$$(1) \quad \frac{\partial h}{\partial y} - \frac{\partial g}{\partial z} = V_x, \quad (2) \quad \frac{\partial f}{\partial z} - \frac{\partial h}{\partial x} = V_y, \quad (3) \quad \frac{\partial g}{\partial x} - \frac{\partial f}{\partial y} = V_z.$$

- Il s'agit de trouver les trois fonctions  $f$ ,  $g$  et  $h$  à travers leurs dérivées partielles (9 en tout) à partir de seulement 3 équations différentielles du 1er ordre qui les relient.
- Ce système se résout par intégrations successives (comme pour le potentiel scalaire), mais n'a pas de réponse unique: mis à part les constantes, il y a en plus 6 (= 9 - 3) choix à faire!

## Cas particulier de champ et de potentiel

**Cas particulier** – Si  $\vec{V} = V_z \vec{k}$  (c-à-d  $V_x = V_y = 0$ ), avec

$$\operatorname{div} \vec{V} = \frac{\partial V_z}{\partial z} = 0,$$

et on choisit  $h = 0$  (ce qui fixe 3 conditions sur les 6 libres), il ne reste qu'un potentiel de la forme  $\vec{U} = f\vec{i} + g\vec{j}$  soumis aux équations

$$(1) \quad \frac{\partial g}{\partial z} = 0, \quad (2) \quad \frac{\partial f}{\partial z} = 0, \quad (3) \quad \frac{\partial g}{\partial x} - \frac{\partial f}{\partial y} = V_z.$$

- (1) et (2) assurent que  $f$  et  $g$  ne dépendent pas de  $z$ .
- Pour résoudre (3), il faut encore fixer arbitrairement  $\frac{\partial f}{\partial x}$  et  $\frac{\partial g}{\partial y}$  (2 conditions), plus l'une des deux dérivées  $\frac{\partial f}{\partial y}$  ou  $\frac{\partial g}{\partial x}$  (dernière condition libre).

## Exemple: calcul de potentiel vectoriel

**Exemple** – Soit  $\vec{V}(x, y, z) = (xy^2 - x^3y) \vec{k}$ .

- D'abord, vérifions qu'il admet un potentiel vectoriel:

$$\operatorname{div} \vec{V}(x, y, z) = \frac{\partial(xy^2 - x^3y)}{\partial z} = 0.$$

- Puisque  $D_{\vec{V}} = \mathbb{R}^3$  est contractile, par le Lemme de Poincaré  $\vec{V}$  admet un potentiel vectoriel  $\vec{U}$  défini sur tout  $\mathbb{R}^3$ .
- Cherchons  $\vec{U}$  sous la forme

$$\vec{U}(x, y, z) = f(x, y)\vec{i} + g(x, y)\vec{j}$$

( $h = 0$  et donc  $\frac{\partial f}{\partial z} = \frac{\partial g}{\partial z} = 0$ ) tel que

$$(3) \quad \frac{\partial g}{\partial x} - \frac{\partial f}{\partial y} = xy^2 - x^3y.$$

## Exemple (suite)

**Solution 1:** on choisit

$$\frac{\partial g}{\partial x} = xy^2 \Rightarrow g(x, y) = \int xy^2 dx + G(y) = \frac{1}{2}x^2y^2 + G(y)$$

$$\frac{\partial f}{\partial y} = x^3y \Rightarrow f(x, y) = \int x^3y dy + F(x) = \frac{1}{2}x^3y^2 + F(x)$$

où  $F(x)$  et  $G(y)$  sont des fonctions arbitraires. On a donc

$$\vec{U}_1(x, y, z) = \left( \frac{1}{2}x^3y^2 + F(x) \right) \vec{i} + \left( \frac{1}{2}x^2y^2 + G(y) \right) \vec{j}.$$

**Solution 2:** on choisit

$$\frac{\partial g}{\partial x} = 0 \Rightarrow g(x, y) = \tilde{G}(y)$$

$$\begin{aligned} \frac{\partial f}{\partial y} = x^3y - xy^2 &\Rightarrow f(x, y) = \int (x^3y - xy^2) dy + \tilde{F}(x) \\ &= \frac{1}{2}x^3y^2 - \frac{1}{3}xy^3 + \tilde{F}(x) \end{aligned}$$

où  $\tilde{F}(x)$  et  $\tilde{G}(y)$  sont des fonctions arbitraires. On a alors

$$\vec{U}_2(x, y, z) = \left( \frac{1}{2}x^3y^2 - \frac{1}{3}xy^3 + \tilde{F}(x) \right) \vec{i} + \tilde{G}(y) \vec{j}.$$

## Exemple (suite)

**Transformation de jauge** – La différence entre les deux solutions trouvées est donnée par le gradient d'une fonction: en posant toutes les fonctions  $F$ ,  $G$ ,  $\tilde{F}$  et  $\tilde{G}$  égales à zéro, on a

$$\begin{aligned} \vec{U}_1(x, y, z) - \vec{U}_2(x, y, z) &= \frac{1}{3}xy^3\vec{i} + \frac{1}{2}x^2y^2\vec{j} \\ &= \overrightarrow{\text{grad}} \left( \frac{1}{6}x^2y^3 + c \right). \end{aligned}$$

## Exercice: le champ magnétique

**Énoncé** – Un courant d'intensité  $I$  qui passe dans un fil droit placé sur l'axe  $\vec{k}$  engendre le **champ magnétique (statique)**

$$\vec{B}(x, y, z) = \frac{\mu I}{2\pi} \left( -\frac{y}{x^2 + y^2} \vec{i} + \frac{x}{x^2 + y^2} \vec{j} \right),$$

où  $\mu$  est la perméabilité magnétique. La force que  $\vec{B}$  exerce sur une charge  $q$  placée en position  $(x, y, z)$  en mouvement avec vitesse  $\vec{v}$  est donnée par

$$\vec{F}(x, y, z) = q \vec{v} \wedge \vec{B}(x, y, z)$$

et s'appelle **force de Lorentz**.

1) Trouver le domaine de définition de  $\vec{B}$ , son expression en coordonnées cylindriques et en dessiner quelques valeurs.

**Réponse** –

- $D_{\vec{B}} = \{(x, y, z) \in \mathbb{R}^3 \mid x^2 + y^2 \neq 0\} = \mathbb{R}^3$  privé de l'axe  $\vec{k}$

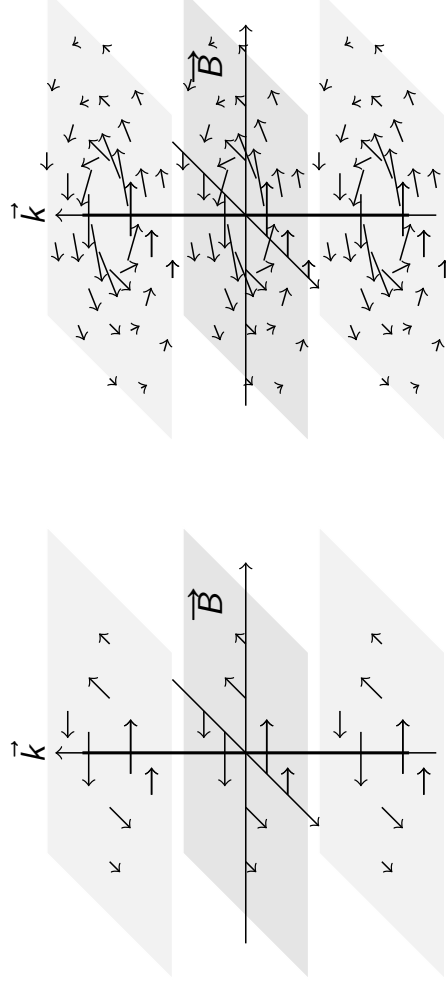
Donc  $D_{\vec{B}}$  n'est pas simplement connexe (et pas contractile).

## Exercice: le champ magnétique

• L'expression de  $\vec{B}(x, y, z) = \frac{\mu I}{2\pi} \left( -\frac{y}{x^2 + y^2} \vec{i} + \frac{x}{x^2 + y^2} \vec{j} \right)$  en coordonnées cylindriques est:

$$\begin{aligned} \vec{B}(\rho, \varphi, z) &= \frac{\mu I}{2\pi} \left( -\frac{\rho \sin \varphi}{\rho^2} \vec{i} + \frac{\rho \cos \varphi}{\rho^2} \vec{j} \right) \\ &= \boxed{\frac{\mu I}{2\pi} \frac{1}{\rho} \vec{e}_{\varphi}}. \end{aligned}$$

• Le dessin de  $\vec{B}$  est alors:



## Exercice: le champ magnétique

2) Le champ  $\vec{B} = \frac{\mu_0 I}{2\pi \rho} \vec{e}_\varphi$  est-il conservatif?  
Autrement dit, admet-il un potentiel scalaire?

Réponse –

- On a 
$$\operatorname{rot} \vec{B} = \frac{\mu_0 I}{2\pi} \left[ -\frac{\partial}{\partial z} \left( \frac{1}{\rho} \right) \vec{e}_\rho + \frac{1}{\rho} \frac{\partial}{\partial \rho} \left( \rho \frac{1}{\rho} \right) \vec{k} \right] = 0.$$

Par le lemme de Poincaré alors, on sait qu'un potentiel scalaire  $\phi$  existe sur tout sous-ensemble  $D \subset D_{\vec{B}}$  simplement connexe, par exemple sur  $D = \mathbb{R}^3$  privé du demi-plan  $\varphi = 0$ .

- Calculons  $\phi$  tel que  $\vec{B} = -\overrightarrow{\operatorname{grad}} \phi$  sur un  $D$  simplement connexe:

$$(1) \quad -\frac{\partial \phi}{\partial \rho} = 0 \quad (2) \quad -\frac{1}{\rho} \frac{\partial \phi}{\partial \varphi} = \frac{\mu_0 I}{2\pi} \frac{1}{\rho} \quad (3) \quad -\frac{\partial \phi}{\partial z} = 0$$

(1) et (3) disent que  $\phi$  ne dépend pas de  $\rho$  et de  $z$ .

$$(2) \text{ s'écrit } \frac{\partial \phi}{\partial \varphi} = -\frac{\mu_0 I}{2\pi} \implies \boxed{\phi(\varphi) = -\frac{\mu_0 I}{2\pi} (\varphi + \varphi_0)}.$$

## Exercice: le champ magnétique

- Or, le potentiel  $\phi(\varphi) = -\frac{\mu_0 I}{2\pi} (\varphi + \varphi_0)$  est bien défini seulement si  $\varphi$  ne fait pas un tour complet autour de l'axe  $\vec{k}$ !

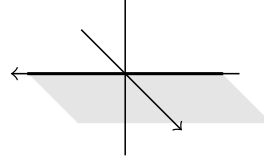
En effet, si  $\varphi$  peut faire un tour complet, au même point physique donné en coordonnées polaires par  $\varphi_0$  ou  $\varphi_0 + 2\pi$ , on a deux valeurs distinctes du champ

$$\phi_0 = -\frac{\mu_0 I}{2\pi} \varphi_0 \quad \text{et} \quad \phi_1 = -\frac{\mu_0 I}{2\pi} (\varphi_0 + 2\pi),$$

ce qui n'a pas de sens.

En conclusion, le champ  $\vec{B}$  n'a pas de potentiel scalaire sur tout son domaine de définition.

- Par contre, le champ  $\vec{B}$  admet bien un potentiel scalaire sur l'espace  $\mathbb{R}^3$  privé d'un demi-plan contenant l'axe  $\vec{k}$ , par exemple le demi-plan  $xOz$  des  $x$  positifs.



## Exercice: le champ magnétique

3) Le champ  $\vec{B}$  admet-il un potentiel vecteur?

Réponse –

- On a 
$$\operatorname{div} \vec{B}(\rho, \varphi, z) = \frac{\mu_0 I}{2\pi} \frac{1}{\rho} \frac{\partial}{\partial \varphi} \left( \frac{1}{\rho} \right) = 0.$$

Par le lemme de Poincaré alors, on sait qu'un potentiel vectoriel  $\vec{A}$  existe sur tout sous-ensemble  $D \subset D_{\vec{B}}$  contractile, par exemple  $D = \mathbb{R}^3$  privé du demi-plan  $\varphi = 0$ .

- Calculons  $\vec{A}$  tel que  $\vec{B} = \operatorname{rot} \vec{A}$  sur un  $D$  contractile. En générale:

$$\vec{A}(\rho, \varphi, z) = f(\rho, \varphi, z) \vec{e}_\rho + g(\rho, \varphi, z) \vec{e}_\varphi + h(\rho, \varphi, z) \vec{k}$$

est soumis aux équations

$$(1) \quad \frac{1}{\rho} \frac{\partial h}{\partial \varphi} - \frac{\partial g}{\partial z} = 0 \quad (2) \quad \frac{\partial f}{\partial z} - \frac{\partial h}{\partial \rho} = \frac{\mu_0 I}{2\pi} \frac{1}{\rho} \quad (3) \quad \frac{1}{\rho} \left( \frac{\partial(\rho g)}{\partial \rho} - \frac{\partial f}{\partial \varphi} \right) = 0$$

et on a six choix à faire pour avoir une solution (plus des constantes).

## Exercice: le champ magnétique

- On choisit  $f = g = 0$  et  $\frac{\partial h}{\partial z} = 0$ , alors on a:

$$(1) \quad \frac{\partial h}{\partial \varphi} = 0 \implies h \text{ ne dépend pas de } \varphi \quad (\text{choix: } \varphi_0 = 0)$$

$$(2) \quad \frac{\partial h}{\partial \rho} = -\frac{\mu_0 I}{2\pi} \frac{1}{\rho} \implies h(\rho) = -\frac{\mu_0 I}{2\pi} \ln \rho \quad (\text{choix: } \rho_0 = 1)$$

Avec ces choix, l'expression du **potentiel magnétique**  $\vec{A}$  est

$$\vec{A}(\rho) = -\frac{\mu_0 I}{2\pi} \ln(\rho) \vec{k} .$$

- Contrairement au potentiel scalaire  $\phi$ , le potentiel magnétique  $\vec{A}$  est bien défini partout sauf en  $\rho=0$ :

$$D_{\vec{A}} = D_{\vec{B}}.$$

En conclusion, le champ magnétique  $\vec{B}$  admet bien un potentiel vectoriel sur tout son domaine de définition!



# Chapitre 5

## Circulation et flux

- 5.1 – Courbes
- 5.2 – Circulation
- 5.3 – Surfaces
- 5.4 – Flux, Stokes et Gauss

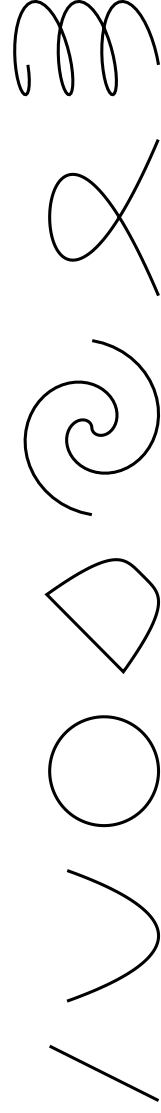
### 5.1 – Courbes

Dans cette section:

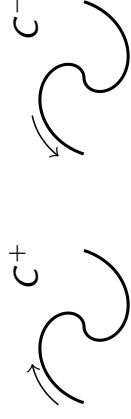
- Courbes données par deux équations
- Courbes paramétrées
- Élément de ligne

# Courbes

**Idée** – Une **courbe** est une figure géométrique  $C$  de *dimension intrinsèque* égale à 1, comme une droite, une parabole, un cercle, ou l’union d’arcs de ce type:



- Une courbe est **plane** si elle est contenue dans un plan.
- Elle est **orientée**, et notée  $C^+$ , si on fixe un sens de parcours (il y en a toujours deux). Dans ce cas, on note  $C^-$  la courbe orientée dans le sens opposé.
- Elle est **fermée** si en la parcourant on revient au point de départ, comme sur un cercle.



## Courbes données par des équations

**Définition** – Comme sous-ensemble de  $\mathbb{R}^3$ , une **courbe** est l’union d’ensembles donnés par deux équations:

$$C = \left\{ \vec{x} \in \mathbb{R}^3 \mid F(\vec{x}) = 0 \text{ et } G(\vec{x}) = 0, \text{ plus restrictions sur } \vec{x} \right\}$$

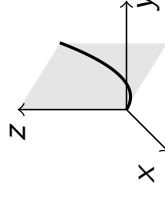
où  $F, G : \mathbb{R}^3 \rightarrow \mathbb{R}$  sont deux fonctions réelles et les “restrictions” sont des inégalités dans les coordonnées.

### Exemple –

- En coordonnées cartésiennes, les équations

$$x - y = 0 \quad \text{et} \quad x^2 - z = 0,$$

avec la restriction  $x \in [0, 1]$ , décrivent un arc de la parabole  $z = x^2$  sur le plan  $y = x$ .



- En coordonnées cylindriques, le même arc de parabole est décrit par  $\rho^2 - 2z = 0$  et  $\varphi - \pi/4 = 0$  avec  $\rho \in [0, 1]$ .

## Courbes paramétrées

**Définition** – Une **courbe paramétrée** est une courbe pour laquelle on donne aussi la *façon de la parcourir* en fonction d'un **paramètre**  $t$  (qui représente le temps en physique):

$$C = \left\{ \gamma(t) = \vec{x}(t) \mid t \in [t_0, t_1] \subset \mathbb{R} \right\},$$

où  $\gamma : [t_0, t_1] \rightarrow \mathbb{R}^3$  est une fonction vectorielle dérivable qui s'appelle **paramétrisation** et denote souvent la courbe même.

L'**orientation** de  $\gamma$  est donné par le sens croissant de  $t$ .

La courbe est **fermée** si  $\gamma(t_0) = \gamma(t_1)$ .

**Paramétrisation des coordonnées** –

- cartésiennes:

$$\gamma(t) = (x(t), y(t), z(t))$$

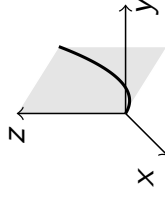
- cylindriques:

$$\gamma(t) = \rho(t) \vec{e}_\rho(t) + z(t) \vec{k}$$

- sphériques:

$$\gamma(t) = r(t) \vec{e}_r(t)$$

**Exemple: paramétrisation d'une courbe**



**Exemple** – L'arc de parabole

peut être paramétré comme suit:

- En coordonnées cartésiennes, on a  $z = x^2$ ,  $y = x$ , et  $x \in [0, 1]$ , alors on peut choisir

$$x(t) = t, \quad y(t) = t, \quad z(t) = t^2, \quad \text{avec } t \in [0, 1]$$

et on obtient  $\gamma(t) = (t, t, t^2)$ , avec  $t \in [0, 1]$ .

- En coordonnées cylindriques, on a  $\rho^2 = 2z$ ,  $\varphi = \pi/4$ , et  $\rho \in [0, 1]$ , alors on peut choisir:

$$\rho(t) = t \quad \varphi(t) = \pi/4, \quad z(t) = t^2/2, \quad \text{avec } t \in [0, 1]$$

et on obtient  $\gamma(t) = t \vec{e}_\rho(t) + t^2/2 \vec{k}$ , avec  $t \in [0, 1]$ .

# Vitesse et accélération

**Définition** – Pour une courbe paramétrée  $\gamma(t) = \vec{x}(t)$  on appelle:

- **vitesse**, le vecteur  $\dot{\gamma}(t) = \frac{d}{dt} \vec{x}(t)$ ,
- **accélération**, le vecteur  $\ddot{\gamma}(t) = \frac{d^2}{dt^2} \vec{x}(t)$ .

**Lemme** – Les vecteurs  $\vec{i}$ ,  $\vec{j}$  et  $\vec{k}$  sont constants, par contre:

$$\begin{cases} \dot{\vec{e}}_\rho = \dot{\varphi} \vec{e}_\varphi \\ \dot{\vec{e}}_\varphi = -\dot{\varphi} \vec{e}_\rho \\ \dot{\vec{e}}_r = \dot{\varphi} \vec{e}_\varphi + \dot{\theta} \vec{e}_\theta \\ \dot{\vec{e}}_\theta = -\dot{\varphi} \sin \theta \vec{e}_r - \dot{\varphi} \cos \theta \vec{e}_\theta \\ \dot{\vec{e}}_\theta = -\dot{\theta} \vec{e}_r + \dot{\varphi} \cos \theta \vec{e}_\varphi \end{cases}$$

**Paramétrisation de la vitesse en coordonnées** –

- cartésiennes:  $\dot{\gamma}(t) = \dot{x}(t) \vec{i} + \dot{y}(t) \vec{j} + \dot{z}(t) \vec{k}$
- cylindriques:  $\dot{\gamma}(t) = \dot{\rho}(t) \vec{e}_\rho(t) + \rho(t) \dot{\varphi}(t) \vec{e}_\varphi(t) + \dot{z}(t) \vec{k}$
- sphériques:  $\dot{\gamma}(t) = \dot{r}(t) \vec{e}_r(t) + r(t) \dot{\varphi}(t) \vec{e}_\varphi(t) + r(t) \dot{\theta}(t) \vec{e}_\theta(t)$

## Courbes régulières

**Définition** – La courbe  $\gamma : [t_0, t_1] \rightarrow \mathbb{R}^3$  est **régulière** si la vitesse ne s'annule jamais, c'est-à-dire si

$$\dot{\gamma}(t) \neq \vec{0} \quad (\text{ou bien } \|\dot{\gamma}(t)\| \neq 0) \quad \text{pour tout } t \in [t_0, t_1].$$

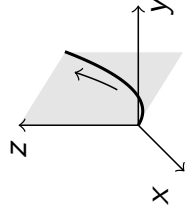
Dans ce cas, la vitesse est un vecteur tangent à la courbe, et on appelle:

- **élément de ligne**, le vecteur  $\vec{d\ell} = \dot{\gamma}(t) dt$  ;
- **abscisse curviligne**, la primitive de  $\|\dot{\gamma}(t)\|$ , notée  $s = s(t)$ , donc on a  $s'(t) = \|\dot{\gamma}(t)\|$  ;
- **élément d'arc**, la différentielle  $ds = \|\dot{\gamma}(t)\| dt$  ;
- **longueur**, l'intégrale  $L_{t_0}^{t_1}(\gamma) = \int_{t_0}^{t_1} \|\dot{\gamma}(t)\| dt = \int_{s(t_0)}^{s(t_1)} ds$  .

## Exemples de courbes paramétrées

**Exemples –**

- **Parabole:**  $x = y$ ,  $z = x^2$  et  $x \in [0, 1]$



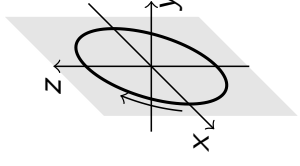
$$\gamma(t) = (t, t, t^2) \text{ avec } t \in [0, 1]$$

$$\dot{\gamma}(t) = (1, 1, 2t) = \vec{i} + \vec{j} + 2t\vec{k}$$

$$\|\dot{\gamma}(t)\| = \sqrt{2 + 4t^2} \neq 0 \implies \gamma \text{ est régulière}$$

$$\vec{d}\vec{\ell} = (1, 1, 2t) dt = dt \vec{i} + dt \vec{j} + 2t dt \vec{k}.$$

- **Ellipse:**  $\frac{x^2}{9} + \frac{z^2}{4} = 1$  et  $y = 0$



$$\gamma(t) = (3 \cos t, 0, 2 \sin t), \quad t \in [0, 2\pi]$$

$$\dot{\gamma}(t) = (-3 \sin t, 0, 2 \cos t) \neq \vec{0}$$

$$\vec{d}\vec{\ell} = (-3 \sin t, 0, 2 \cos t) dt = -3 \sin t dt \vec{i} + 2 \cos t dt \vec{k}.$$

## Exemples de courbes paramétrées

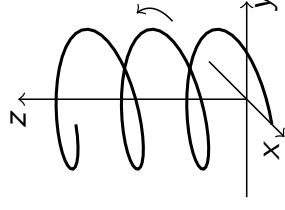
- **Hélice circulaire:**

$$\gamma(t) = (\cos t, \sin t, t) \text{ avec } t \in [0, 6\pi]$$

$$\implies x^2 + y^2 = 1, \quad \frac{y}{x} = \tan z \quad (\text{si } x \neq 0)$$

$$\dot{\gamma}(t) = (-\sin t, \cos t, 1) \neq \vec{0} \implies \gamma \text{ rég.}$$

$$\implies \vec{d}\vec{\ell} = (-\sin t \vec{i} + \cos t \vec{j} + \vec{k}) dt$$



$$\|\dot{\gamma}(t)\| = \sqrt{\sin^2 t + \cos^2 t + 1} = \sqrt{2}$$

$$\implies L_0^{2\pi}(\gamma) = \int_0^{2\pi} \|\dot{\gamma}(t)\| dt = \int_0^{2\pi} \sqrt{2} dt = 2\sqrt{2}\pi$$

**En cylindriques:**  $\rho(t) = 1$ ,  $\varphi(t) = t$ ,  $z(t) = t$

$$\implies \gamma(t) = \rho(t) \vec{e}_\rho + z(t) \vec{k} = \vec{e}_\rho + t \vec{k}$$

$$\dot{\gamma}(t) = \dot{\rho}(t) \vec{e}_\rho + \rho(t) \dot{\varphi}(t) \vec{e}_\varphi + \dot{z}(t) \vec{k} = \vec{e}_\varphi + \vec{k}$$

$$\implies \vec{d}\vec{\ell} = (\vec{e}_\varphi + \vec{k}) dt$$

## 5.2 – Circulation

Dans cette section:

- Circulation d'un champ de vecteurs le long d'une courbe
- Circulation d'un champ de gradient

### Circulation et intégrale curviligne

**Définition** – Soit  $\vec{V}$  un champ de vecteurs de  $\mathbb{R}^3$  et soit  $C^+$  une courbe orientée dans le domaine de  $\vec{V}$ , paramétrée par  $\gamma: [t_0, t_1] \rightarrow \mathbb{R}^3$ . On appelle **circulation de  $\vec{V}$  le long de  $C^+$**  l'**intégrale curviligne**

$$\int_{C^+} \vec{V} \cdot d\vec{\ell} = \int_{t_0}^{t_1} \vec{V}(\gamma(t)) \cdot \dot{\gamma}(t) dt$$

où  $\vec{V}(\gamma(t))$  indique que le champ  $\vec{V}$  est évalué sur les points de la courbe et  $\cdot$  indique le produit scalaire entre vecteurs.

**Notation** – Si  $C^+$  est une courbe fermée, la circulation de  $\vec{V}$  le long de  $C^+$  s'écrit

$$\oint_{C^+} \vec{V} \cdot d\vec{\ell}$$

**Proposition** – Si  $C^-$  est orientée dans le sens opposé à  $C^+$ , on a

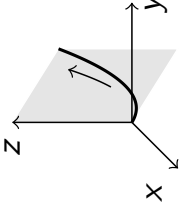
$$\int_{C^-} \vec{V} \cdot d\vec{\ell} = - \int_{C^+} \vec{V} \cdot d\vec{\ell}.$$

## Exercices

**Énoncé** – Calculer la circulation des champs suivants, le long des courbes indiquées.

• Champ  $\vec{F}(x, y, z) = z \vec{i} - y \vec{j} + x \vec{k}$

Parabole  $\gamma(t) = (t, t, t^2)$ ,  $t \in [0, 1]$



**Réponse** – On a

$$\vec{F}(\gamma(t)) = t^2 \vec{i} - t \vec{j} + t \vec{k}$$

$$\dot{\gamma}(t) = \vec{i} + \vec{j} + 2t \vec{k}.$$

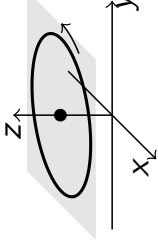
La circulation de  $\vec{F}$  le long de  $\gamma$  est donc

$$\begin{aligned} \int_{C_t^+} \vec{F} \cdot d\vec{\ell} &= \int_0^1 (t^2 - t + 2t^2) dt \\ &= \int_0^1 (3t^2 - t) dt \\ &= \left[ t^3 - \frac{1}{2}t^2 \right]_0^1 = 1 - \frac{1}{2} = \frac{1}{2}. \end{aligned}$$

## Exercices

• Champ  $\vec{V}(\rho, \varphi, z) = \varphi \vec{e}_\rho + z \vec{e}_\varphi + \rho \vec{k}$

Cercle  $x^2 + y^2 = 9$ ,  $z = 2$   
orienté en sens antihoraire



**Réponse** – On paramétrise  $\gamma(t) = \rho(t) \vec{e}_\rho + z(t) \vec{k}$  avec

$$\rho(t) = 3, \quad \varphi(t) = t \quad \text{et} \quad z(t) = 2, \quad t \in [0, 2\pi].$$

On a alors

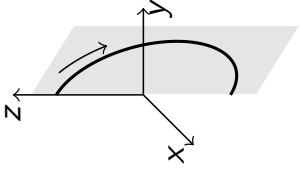
$$\vec{V}(\gamma(t)) = t \vec{e}_\rho + 2 \vec{e}_\varphi + 3 \vec{k}$$

$$\dot{\gamma}(t) = \dot{\rho}(t) \vec{e}_\rho + \rho(t) \dot{\varphi}(t) \vec{e}_\varphi + \dot{z}(t) \vec{k} = 3 \vec{e}_\varphi$$

et la circulation de  $\vec{V}$  le long de  $\gamma$  est donc

$$\int_{\gamma} \vec{V} \cdot d\vec{\ell} = \int_0^{2\pi} 6 dt = 12\pi.$$

# Exercices



- **Champ**  $\vec{U}(r, \varphi, \theta) = \varphi \vec{e}_r + \sin \theta \vec{e}_\varphi + \rho \vec{e}_\theta$   
*Demi-cercle*  $x^2 + y^2 + z^2 = 4, \quad y = x \geq 0$   
*orienté en sens horaire*

**Réponse** – On paramétrise  $\gamma(t) = r(t) \vec{e}_r$  avec

$$r(t) = 2, \quad \varphi(t) = \frac{\pi}{4}, \quad \theta(t) = t, \quad t \in [0, \pi].$$

On a alors

$$\vec{U}(\gamma(t)) = \pi/4 \vec{e}_r + \sin t \vec{e}_\varphi + 2 \vec{e}_\theta$$

$$\dot{\gamma}(t) = \dot{r}(t) \vec{e}_r + r(t) \dot{\varphi}(t) \vec{e}_\varphi + r(t) \dot{\theta}(t) \vec{e}_\theta = 2 \vec{e}_\theta$$

et la circulation de  $\vec{U}$  le long de  $\gamma$  est donc

$$\int_\gamma \vec{U} \cdot d\vec{\ell} = \int_0^\pi 4 dt = 4\pi.$$

## Travail d'une force

**Définition** – Soit  $\vec{F}$  un champ de force de  $\mathbb{R}^3$  qui déplace un corps le long d'un trajet paramétré par la courbe  $\gamma: [t_0, t_1] \rightarrow \mathbb{R}^3$ .

Le **travail de la force**  $\vec{F}$  est l'énergie  $W$  fournie pour accomplir le déplacement et est donné par la circulation de  $\vec{F}$  le long de  $\gamma$ .

$$W = \int_\gamma \vec{F} \cdot d\vec{\ell}$$

**Exemple** – Calculons le travail effectué par la force

$$\vec{F}(x, y, z) = z \vec{i} - y \vec{j} + x \vec{k}$$

pour déplacer un objet le long de l'arc d'hélice

$$\gamma(t) = (\cos t, \sin t, t), \quad t \in [0, 2\pi].$$

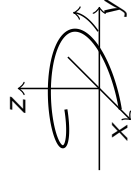
On a

$$\vec{F}(\gamma(t)) = t \vec{i} - \sin t \vec{j} + \cos t \vec{k}$$

$$\dot{\gamma}(t) = -\sin t \vec{i} + \cos t \vec{j} + \vec{k},$$

donc

$$\begin{aligned} W &= \int_\gamma \vec{F} \cdot d\vec{\ell} = \int_0^{2\pi} (-t \sin t - \sin t \cos t + \cos t) dt \\ &= \left[ t \cos t \right]_0^{2\pi} - \int_0^{2\pi} \cos t dt - \left[ \frac{1}{2} \sin^2 t \right]_0^{2\pi} + \int_0^{2\pi} \cos t dt = 2\pi. \end{aligned}$$



## Circulation d'un champ de gradient

**Théorème** – Soit  $\vec{V} = \overrightarrow{\text{grad}} \phi$  un champ de gradient, de domaine  $D_\phi$ . Alors:

- La circulation de  $\overrightarrow{\text{grad}} \phi$  le long d'une courbe  $C^+$  quelconque qui joint deux points  $A$  et  $B$  contenus dans  $D_\phi$  ne dépend pas de la courbe mais seulement des deux points:

$$\int_{C^+} \overrightarrow{\text{grad}} \phi \cdot \vec{d\ell} = \phi(B) - \phi(A).$$

- La circulation de  $\overrightarrow{\text{grad}} \phi$  le long d'une courbe fermée  $C^+$  est nulle:

$$\oint_{C^+} \overrightarrow{\text{grad}} \phi \cdot \vec{d\ell} = 0.$$

La première assertion se démontre par calcul direct.

La deuxième est une conséquence de la première, ou bien un corollaire du théorème de Gauss traité à la fin de ce chapitre.

## Exercice

**Énoncé** – Considérons le champ scalaire

$$\phi(x, y, z) = \frac{1}{\sqrt{y(z^2 - x^2)}},$$

sur le domaine  $D = \{(x, y, z) \in \mathbb{R}^3 \mid y > 0, z > x > 0\}$ .

Calculer le travail de la force conservative  $\vec{F} = -\overrightarrow{\text{grad}} \phi$  le long d'une hélice  $C^+$  contenue dans  $D$  qui joint le point  $A = (0, 1, 2)$  au point  $B = (3, 4, 5)$ .

**Réponse** – Le travail de  $\vec{F} = -\overrightarrow{\text{grad}} \phi$  le long de  $C^+$  vaut:

$$\begin{aligned} W &= - \int_{C^+} \overrightarrow{\text{grad}} \phi \cdot \vec{d\ell} = \phi(0, 1, 2) - \phi(3, 4, 5) \\ &= \frac{1}{\sqrt{4-0}} - \frac{1}{\sqrt{4(25-9)}} \\ &= \frac{1}{2} - \frac{1}{2 \cdot 4} = \frac{3}{8}. \end{aligned}$$

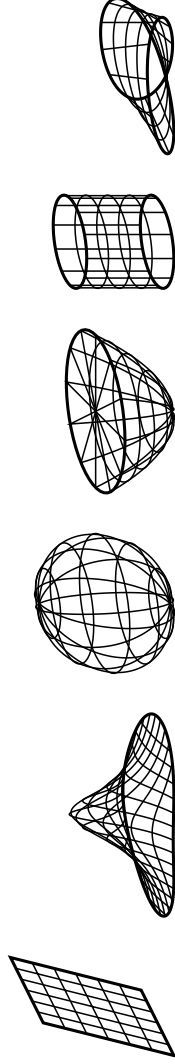
## 5.3 – Surfaces

Dans cette section:

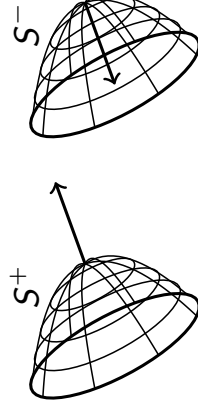
- Surfaces données par une équation
- Surfaces paramétrées
- Vecteur normale et élément de surface

## Surfaces

**Idée** – Une **surface** est une figure géométrique  $S$  de *dimension intrinsèque* égale à 2, comme un plan, un disque, un paraboloïde, une sphère, un cylindre, la bande de Moebius, ou leur union:

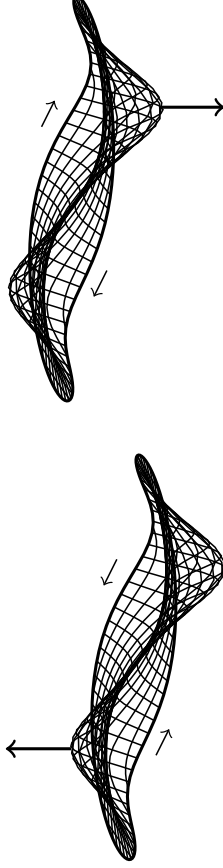


- Une surface est **plane** si elle est contenue dans un plan.
- Elle est **orientable** si on peut distinguer deux cotés. Ceci n'est pas toujours possible, par exemple pour la bande de Moebius.
- Une surface orientable est **orientée**, et notée  $S^+$ , si on choisit un sens de traversée, indiqué par un vecteur sortant. Dans ce cas, on note  $S^-$  la surface orientée dans le sens opposé.



## Bord des surfaces et surfaces fermées

- Le **bord** d'une surface  $S$  est la courbe  $\partial S$  qui délimite la surface, par exemple le cercle qui entoure un disque, ou les deux cercles qui délimitent un cylindre.
- Le bord d'une surface orientée est automatiquement orienté de telle sorte qu'en le parcourant débout (direction sortante de  $S$ ), la surface se trouve sur la gauche.



- Une surface  $S$  est **fermée** si on peut distinguer son intérieur de son extérieur, comme pour la sphère. Cela arrive si son bord est vide:  $\partial S = \emptyset$ .
- Une surface fermée  $S$  delimitte un solide  $\Omega \subset \mathbb{R}^3$ , comme la sphère qui entoure la boule unitaire. On dit alors que  $S$  est le **bord de**  $\Omega$ , et on écrit:  $S = \partial\Omega$ .

## Surfaces données par une équation

**Définition** – Comme sous-ensemble de  $\mathbb{R}^3$ , une **surface** est l'union d'ensembles donnés par une équation:

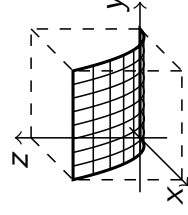
$$S = \left\{ \vec{x} \in \mathbb{R}^3 \mid F(\vec{x}) = 0 \text{ plus restrictions sur les variables} \right\}$$

où  $F : \mathbb{R}^3 \longrightarrow \mathbb{R}$  est une fonction réelle et les “restrictions” sont des inégalités dans les coordonnées.

**Proposition** – Le graphe d'une fonction  $f : \mathbb{R}^2 \rightarrow \mathbb{R}$  est une surface d'équation  $z = f(x, y)$ , avec  $(x, y) \in D_f$ .

**Exemple** –  $z = x^2$ ,  $x, y \in [0, 1]$  décrit un **cylindre parabolique**, d'axe  $\vec{Oy}$ .

Dans ce cas,  $S$  est non fermée et son bord  $\partial S$  est l'union de quatre courbes.



## Surfaces paramétrées

**Définition** – Une **surface paramétrée** est une surface où les points sont décrits par deux **paramètres** indépendants  $u$  et  $v$ :

$$S = \left\{ f(u, v) = \vec{x}(u, v) \mid u \in [u_0, u_1], v \in [v_0, v_1] \right\},$$

où  $f : [u_0, u_1] \times [v_0, v_1] \rightarrow \mathbb{R}^3$  est une fonction vectorielle différentiable qui s'appelle **paramétrisation** de la surface.

En coord. cartésiennes:  $f(u, v) = (x(u, v), y(u, v), z(u, v))$

**Exemples** –

- **Cylindre parabolique:**  $z = x^2, \quad x, y \in [0, 1]$

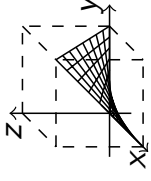
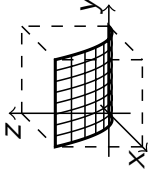
si on pose  $y = u, x = v$  et  $z = v^2$ , on a

$$f(u, v) = (v, u, v^2), \quad u, v \in [0, 1]$$

- **Hyperboloïde:**  $z = xy, \quad x, y \in [0, 1]$

si on pose  $x = u, y = v$  et  $z = uv$ , on a

$$f(u, v) = (u, v, uv), \quad u, v \in [0, 1]$$



## Surfaces régulières et vecteur normal

**Définition** – Une surface  $S$  paramétrée par  $f : U \times V \rightarrow \mathbb{R}^3$  est **régulière** au point  $f(u, v)$  si le

- **vecteur normal** 
$$\vec{n}(u, v) = \frac{\partial f(u, v)}{\partial u} \wedge \frac{\partial f(u, v)}{\partial v}$$

est bien défini et non nul. Dans ce cas,  $S$  est **orientée** par  $\vec{n}$ , et on appelle:

- **élément de surface**, le vecteur 
$$d\vec{S} = \vec{n}(u, v) du dv,$$

- **élément d'aire**, le scalaire 
$$dA = \|\vec{n}(u, v)\| du dv,$$

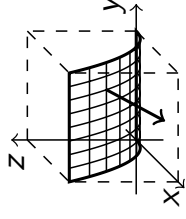
- **aire de la surface**, l'intégrale double

$$\text{Aire}(S) = \iint_{U \times V} \|\vec{n}(u, v)\| du dv = \iint_{U \times V} dA.$$

## Exemples de surfaces paramétrées

Exemples –

- **Cylindre parabolique:**  $z = x^2$ ,  $x, y \in [0, 1]$



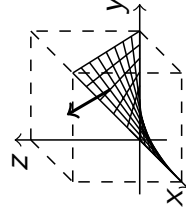
$$f(u, v) = (v, u, v^2), \quad u, v \in [0, 1]$$

$$\vec{n} = \begin{pmatrix} 0 \\ 1 \\ 0 \end{pmatrix} \wedge \begin{pmatrix} 1 \\ 0 \\ 2v \end{pmatrix} = \begin{pmatrix} 2v \\ 0 \\ -1 \end{pmatrix}$$

vecteur orienté vers le bas

$$d\vec{S} = 2v \, du \, dv \vec{i} - du \, dv \vec{k}$$

- **Hyperboloïde:**  $z = xy$ ,  $x, y \in [0, 1]$



$$f(u, v) = (u, v, uv), \quad u, v \in [0, 1]$$

$$\vec{n} = \begin{pmatrix} 1 \\ 0 \\ v \end{pmatrix} \wedge \begin{pmatrix} 0 \\ 1 \\ u \end{pmatrix} = \begin{pmatrix} -v \\ -u \\ 1 \end{pmatrix}$$

vecteur orienté vers le haut

$$d\vec{S} = -v \, du \, dv \vec{i} - u \, du \, dv \vec{j} + du \, dv \vec{k}$$

## Exemples de surfaces paramétrées

- **Cylindre circulaire:**  $x^2 + y^2 = R^2$ ,  $z \in [0, H]$

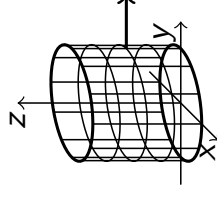
en coord. cylindriques:  $\rho = R$ , donc

$$f(\varphi, z) = (R \cos \varphi, R \sin \varphi, z)$$

avec  $\varphi \in [0, 2\pi[$  et  $z \in [0, H]$

$$\vec{n} = \begin{pmatrix} -R \sin \varphi \\ R \cos \varphi \\ 0 \end{pmatrix} \wedge \begin{pmatrix} 0 \\ 0 \\ 1 \end{pmatrix} = \begin{pmatrix} R \cos \varphi \\ R \sin \varphi \\ 0 \end{pmatrix}$$

vecteur sortant



- **Démi-sphère:**  $x^2 + y^2 + z^2 = 1$ ,  $z \geq 0$

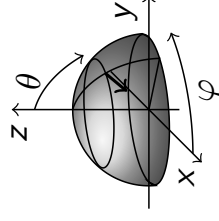
en coord. sphériques:  $r = 1$ , donc

$$f(\varphi, \theta) = (\cos \varphi \sin \theta, \sin \varphi \sin \theta, \cos \theta)$$

avec  $\varphi \in [0, 2\pi[$  et  $\theta \in [0, \pi/2]$

$$\vec{n} = \begin{pmatrix} -\sin \varphi \sin \theta \\ \cos \varphi \sin \theta \\ 0 \end{pmatrix} \wedge \begin{pmatrix} \cos \varphi \cos \theta \\ \sin \varphi \cos \theta \\ -\sin \theta \end{pmatrix} = \begin{pmatrix} -\cos \varphi \sin^2 \theta \\ -\sin \varphi \sin^2 \theta \\ -\sin \theta \cos \theta \end{pmatrix}$$

vecteur entrant



## 5.4 – Flux, Stokes et Gauss

Dans cette section:

- Flux d'un champ de vecteurs à travers une surface
- Théorème de Stokes-Ampère
- Cas particuliers, Théorème de Green-Riemann
- Théorème de Gauss

### Flux et intégrales de surface

**Définition** – Soit  $\vec{V}$  un champ de vecteurs de  $\mathbb{R}^3$  et  $S^+$  une surface contenue dans le domaine de  $\vec{V}$ , paramétrée par  $f : U \times V \longrightarrow \mathbb{R}^3$ , et orientée par le vecteur normal  $\vec{n}$ . On appelle **flux de  $\vec{V}$  à travers  $S^+$  l'intégrale de surface**

$$\iint_{S^+} \vec{V} \cdot d\vec{S} = \iint_{U \times V} \vec{V}(f(u, v)) \cdot \vec{n}(u, v) \, du \, dv$$

où  $\vec{V}(f(u, v))$  indique que le champ  $\vec{V}$  est évalué sur les points de la surface et  $\cdot$  est le produit scalaire de vecteurs.

**Notation** – Si  $S^+$  une surface fermée, le flux de  $\vec{V}$  à travers  $S^+$  s'écrit

$$\oiint_{S^+} \vec{V} \cdot d\vec{\ell}$$

**Proposition** – Si  $S^-$  est orientée dans le sens opposé à  $S^+$ , on a

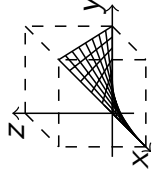
$$\iint_{S^-} \vec{V} \cdot d\vec{S} = - \iint_{S^+} \vec{V} \cdot d\vec{S}.$$

## Exercice

**Enoncé** – Calculer le flux des champs suivants, à travers les surfaces indiquées.

- Champ  $\vec{V}(x, y, z) = x\vec{i} + z\vec{j} + y\vec{k}$

Hyperboloïde  $f(u, v) = (u, v, uv)$ ,  $u, v \in [0, 1]$



**Réponse** – On a

$$\vec{V}(f(u, v)) = u\vec{i} + uv\vec{j} + v\vec{k}$$

$$\vec{n}(u, v) = -v\vec{i} - u\vec{j} + \vec{k}$$

donc le flux de  $\vec{V}$  à travers  $S^+$  vaut

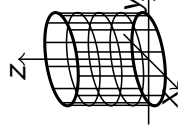
$$\begin{aligned} \iint_{S^+} \vec{V} \cdot d\vec{S} &= \iint_{[0,1] \times [0,1]} (-uv - u^2v + v) du dv \\ &= \int_0^1 (-u - u^2 + 1) du \int_0^1 v dv \\ &= \left[ -\frac{1}{2}u^2 - \frac{1}{3}u^3 + u \right]_0^1 \left[ \frac{1}{2}v^2 \right]_0^1 = \left( -\frac{1}{2} - \frac{1}{3} + 1 \right) \frac{1}{2} = \frac{1}{12} \end{aligned}$$

## Exercice

- Champ  $\vec{V}(x, y, z) = xz\vec{i} - yz\vec{j}$

Cylindre  $f(\varphi, z) = (R \cos \varphi, R \sin \varphi, z)$ ,

$$\varphi \in [0, 2\pi[, \quad z \in [0, H]$$



**Réponse** – On a

$$\vec{V}(f(\varphi, z)) = R \cos \varphi z \vec{i} - R \sin \varphi z \vec{j}$$

$$\vec{n}(\varphi, z) = R \cos \varphi \vec{i} + R \sin \varphi \vec{j}$$

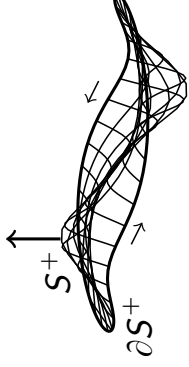
donc le flux de  $\vec{V}$  à travers  $S^+$  vaut

$$\begin{aligned} \iint_{S^+} \vec{V} \cdot d\vec{S} &= \iint_{[0, 2\pi[ \times [0, H]} R^2 (\cos^2 \varphi - \sin^2 \varphi) z d\varphi dz \\ &= R^2 \int_0^{2\pi} \cos(2\varphi) d\varphi \int_0^H z dz \\ &= R^2 \left[ \frac{1}{2} \sin(2\varphi) \right]_0^{2\pi} \left[ \frac{1}{2} z^2 \right]_0^H = 0 \end{aligned}$$

# Théorème de Stokes-Ampère

**Théorème** – Si  $\vec{V} = \text{rot } \vec{U}$  et  $S^+$  est une surface orientée qualconque, avec bord  $\partial S^+$ , on a:

$$\iint_{S^+} \text{rot } \vec{U} \cdot \vec{dS} = \oint_{\partial S^+} \vec{U} \cdot \vec{d\ell}$$



Autrement dit:

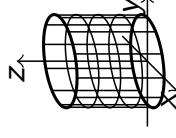
Le flux d'un champ  $\text{rot } \vec{U}$  à travers une surface  $S^+$  est égal à la circulation de  $\vec{U}$  le long de son bord  $\partial S^+$ .

## Exemple

**Exemple** – Champ  $\vec{V}(x, y, z) = xz \vec{i} - yz \vec{j}$

Cylindre  $f(\varphi, z) = (R \cos \varphi, R \sin \varphi, z)$ ,

$$\varphi \in [0, 2\pi[, \quad z \in [0, H]$$



- On remarque que  $\text{div } \vec{V}(x, y, z) = z - z = 0$ . Puisque  $D_{\vec{V}} = \mathbb{R}^3$  est contractile,  $\vec{V}$  a un potentiel vectoriel  $\vec{U}$ . Après calculs, on trouve:  $\vec{U}(x, y, z) = xyz \vec{k}$ .

- On applique alors le théorème de Stokes:

$$\iint_{S^+} \vec{V} \cdot \vec{dS} = \iint_{S^+} \text{rot } \vec{U} \cdot \vec{dS} = \oint_{\partial S^+} \vec{U} \cdot \vec{d\ell}.$$

- Le bord de  $S^+$  est composé de deux cercles orientés

$$\alpha(t) = (R \cos t, R \sin t, 0) \quad \text{et} \quad \beta(t) = (R \cos t, -R \sin t, H),$$

avec

$$\dot{\alpha}(t) = -R \sin t \vec{i} + R \cos t \vec{j} \quad \text{et} \quad \dot{\beta}(t) = -R \sin t \vec{i} - R \cos t \vec{j}.$$

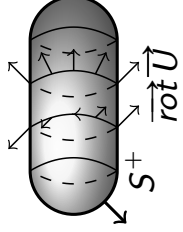
- On alors  $\vec{U} \cdot \dot{\alpha}(t) = 0$  et  $\vec{U} \cdot \dot{\beta}(t) = 0$ , donc  $\iint_{S^+} \vec{V} \cdot \vec{dS} = 0$ .

# Théorème de Green-Riemann

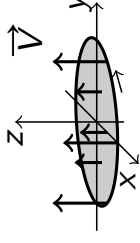
Cas particuliers du théorème de Stokes –

- Si  $S^+$  est une surface fermée, on a :

$$\oiint_{S^+} \vec{\text{rot}} \vec{U} \cdot d\vec{S} = 0$$



- Si  $S^+$  est une surface plane dans le plan  $xOy$ ,  
et  $\vec{V} = \vec{\text{rot}} \vec{U}$  est orthogonal à  $S$ ,  
le champ  $\vec{U}$  ne dépend pas de z et on a :



$$\vec{U}(x, y) = P(x, y) \vec{i} + Q(x, y) \vec{j} \quad \text{et} \quad \vec{V} = \left( \frac{\partial Q}{\partial x} - \frac{\partial P}{\partial y} \right) \vec{k}.$$

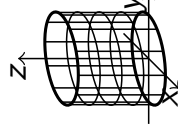
Dans ce cas: **Théorème de Green-Riemann:**

$$\iint_{S^+} \left( \frac{\partial Q}{\partial x} - \frac{\partial P}{\partial y} \right) dx dy = \oint_{\partial S^+} (P dx + Q dy).$$

## Exemple

**Exemple** – Champ  $\vec{V}(x, y, z) = xz \vec{i} - yz \vec{j}$

Cylindre précédemment fermé par les deux disques  
à hauteur  $z = 0$  et  $z = H$ .



- Puisque  $\vec{V} = \vec{\text{rot}} \vec{U}$  avec  $\vec{U}(x, y, z) = xyz \vec{k}$ ,  
et  $\partial S^+ = \emptyset$ , on a :

$$\begin{aligned} \oiint_{S^+} \vec{V} \cdot d\vec{S} &= \oiint_{S^+} \vec{\text{rot}} \vec{U} \cdot d\vec{S} \\ &= \int_{\partial S^+} \vec{U} \cdot d\vec{\ell} = 0. \end{aligned}$$

## Théorème de Gauss-Ostrogradski

**Théorème** – Si  $\vec{V}$  est un champ de vecteurs quelconque et  $S^+$  est une surface orientée fermée, qui delimité un espace borné  $\Omega$ , c'est-à-dire que  $\partial\Omega = S$ , on a :

$$\iint_{S^+} \vec{V} \cdot \vec{dS} = \iiint_{\Omega} \operatorname{div} \vec{V} \, dx \, dy \, dz .$$

**Exemple** – Si  $\vec{V}$  est un champ avec  $\operatorname{div} \vec{V} = 5$ , et  $S$  est la coquille d'un oeuf de volume 4, le flux de  $\vec{V}$  entrant dans l'oeuf est:

$$\begin{aligned} \oiint_{S^+} \vec{V} \cdot \vec{dS} &= \iiint_{\Omega} \operatorname{div} \vec{V} \, dx \, dy \, dz \\ &= 5 \iiint_{\Omega} dx \, dy \, dz = 5 \operatorname{Vol}(\Omega) = 20. \end{aligned}$$

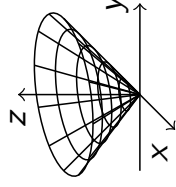
## Exercice

**Énoncé** – Calculer le flux du champ de vecteurs

$$\vec{V}(x, y, z) = x^2 \vec{i} + y^2 \vec{j} + z^2 \vec{k}$$

à travers le cône  $S^+$  d'équation  $z^2 = x^2 + y^2$ ,  $z \in [0, 3]$ , paramétré par

$$\begin{aligned} f(\rho, \varphi) &= (\rho \cos \varphi, \rho \sin \varphi, \rho) \\ \rho &\in [0, 3], \varphi \in [0, 2\pi]. \end{aligned}$$



**Réponse** –

- D'abord, on observe que la surface  $S$  n'est pas fermée, car son bord  $\partial S$  est le cercle  $x^2 + y^2 = 9$  et  $z = 3$ .
- Ensuite, on observe que  $\operatorname{div} \vec{V}(x, y, z) = 2x + 2y + 2z \neq 0$ .
- Alors on ne peut appliquer aucun théorème, il faut calculer le flux de  $\vec{V}$  à travers  $S^+$  en utilisant la définition.

## Exercice (suite)

- Pour:  $\vec{V}(x, y, z) = x^2 \vec{i} + y^2 \vec{j} + z^2 \vec{k}$
- et  $S^+$ :  $f(\rho, \varphi) = (\rho \cos \varphi, \rho \sin \varphi, \rho)$ ,  $\rho \in [0, 3]$ ,  $\varphi \in [0, 2\pi]$ ,

on a:

$$\begin{aligned}\vec{V}(f(\rho, \varphi)) &= \rho^2 \cos^2 \varphi \vec{i} + \rho^2 \sin^2 \varphi \vec{j} + \rho^2 \vec{k}, \\ \vec{n} &= \begin{pmatrix} \cos \varphi \\ \sin \varphi \\ 1 \end{pmatrix} \wedge \begin{pmatrix} -\rho \sin \varphi \\ \rho \cos \varphi \\ 0 \end{pmatrix} = \begin{pmatrix} -\rho \cos \varphi \\ -\rho \sin \varphi \\ \rho \end{pmatrix}.\end{aligned}$$

- Le flux est alors:

$$\begin{aligned}\iint_{S^+} \vec{V} \cdot \vec{dS} &= \iint_{[0,3] \times [0,2\pi]} (-\rho^3 \cos^3 \varphi - \rho^3 \sin^3 \varphi + \rho^3) d\rho d\varphi \\ &= \int_0^3 \rho^3 d\rho \int_0^{2\pi} (1 - \cos^3 \varphi - \sin^3 \varphi) d\varphi \\ &= \frac{1}{4} 3^4 2\pi = \frac{81\pi}{2},\end{aligned}$$

parce que  $\int_0^{2\pi} \cos^3 \varphi d\varphi = \int_0^{2\pi} \sin^3 \varphi d\varphi = 0$ .

## Exercice

**Exercice** – Calculer le flux du même champ de vecteurs

$$\vec{V}(x, y, z) = x^2 \vec{i} + y^2 \vec{j} + z^2 \vec{k}$$

à travers la surface fermée  $S^+$  formée du cône précédent  $z^2 = x^2 + y^2$ ,  $z \in [0, 3]$  et du disque  $x^2 + y^2 \leq 9$ ,  $z = 3$ , orientée par les vecteurs normaux sortants.

**Réponse** – Puisque la surface est fermée, on peut utiliser le théorème de Gauss:

$$\oiint_{S^+} \vec{V} \cdot \vec{dS} = \iiint_{\Omega} \operatorname{div} \vec{V} dx dy dz,$$

où  $\Omega$  est le solide entouré par  $S$ , donc

$$\Omega = \{(x, y, z) \in \mathbb{R}^3 \mid x^2 + y^2 \leq z^2, 0 \leq z \leq 3\},$$

et

$$\operatorname{div} \vec{V}(x, y, z) = 2x + 2y + 2z.$$

## Exercice (suite)

On a alors, en coordonnées cylindriques,

$$\begin{aligned}\iint_{S^+} \vec{V} \cdot \vec{dS} &= 2 \iiint_{\Omega} (x + y + z) \, dx \, dy \, dz \\ &= 2 \int_0^3 dz \int_0^{2\pi} d\varphi \int_0^z \left( \rho^2 (\cos \varphi + \sin \varphi) + \rho z \right) d\rho \\ &= 2 \int_0^3 dz \int_0^{2\pi} \left[ \frac{1}{3} \rho^3 (\cos \varphi + \sin \varphi) + \frac{1}{2} \rho^2 z \right]_{\rho=0}^{\rho=z} d\varphi \\ &= 2 \int_0^3 dz \int_0^{2\pi} \left( \frac{1}{3} z^3 (\cos \varphi + \sin \varphi) + \frac{1}{2} z^3 \right) d\varphi \\ &= 2 \int_0^3 dz \left[ \frac{1}{3} z^3 (\sin \varphi - \cos \varphi) + \frac{1}{2} z^3 \varphi \right]_0^{2\pi} \\ &= 2 \int_0^3 \frac{1}{2} z^3 \, 2\pi \, dz \\ &= 2\pi \frac{1}{4} 3^4 = \frac{81\pi}{2}\end{aligned}$$

## Exercice

**Exercice** – Calculer le flux du rotationnel de

$$\vec{V}(x, y, z) = x^2 \vec{i} + y^2 \vec{j} + z^2 \vec{k}$$

à travers le cône  $S^+$  d'équation  $z^2 = x^2 + y^2$ ,  $z \in [0, 3]$ , paramétré par

$$f(\rho, \varphi) = (\rho \cos \varphi, \rho \sin \varphi, \rho), \quad \rho \in [0, 3], \varphi \in [0, 2\pi].$$

**Réponse** – Pour trouver ce flux on utilise le théorème de Stokes:

$$\iint_{S^+} \text{rot } \vec{V} \cdot \vec{dS} = \oint_{\partial S^+} \vec{V} \cdot \vec{d\ell}$$

et on n'a pas besoin de calculer  $\text{rot } \vec{V}$ .

Le bord  $\partial S^+$  est le cercle d'équation  $x^2 + y^2 = 9$ ,  $z = 3$ , orienté dans le sens horaire, qu'on paramétrise par

$$\gamma(t) = (3 \cos t, -3 \sin t, 3), \quad t \in [0, 2\pi[.$$

## Exercice (suite)

On a alors:  $\gamma'(t) = -3 \sin t \vec{i} - 3 \cos t \vec{j}$  et

$$\vec{V}(\gamma(t)) = 9 \cos^2 t \vec{i} + 9 \sin^2 t \vec{j} + 9 \vec{k}.$$

Le flux de  $\text{rot } \vec{V}$  à travers le cône  $S^+$  est donc:

$$\begin{aligned} \iint_{S^+} \text{rot } \vec{V} \cdot d\vec{S} &= \oint_{\partial S^+} \vec{V} \cdot d\vec{\ell} \\ &= \int_0^{2\pi} \vec{V}(\gamma(t)) \cdot \gamma'(t) dt \\ &= \int_0^{2\pi} (-27 \cos^2 t \sin t - 27 \sin^2 t \cos t + 0) dt \\ &= 27 \left[ \frac{1}{3} \cos^3 t - \frac{1}{3} \sin^3 t \right]_0^{2\pi} \\ &= 0. \end{aligned}$$

FIN DU COURS !

BONNE CONTINUATION !